

Ocean a klimat: wczoraj, dziś i jutro

Wykład 6:

Tropiki a zmienność klimatu
(*ENSO, huragany, monsuny*)

Jacek Piskozub

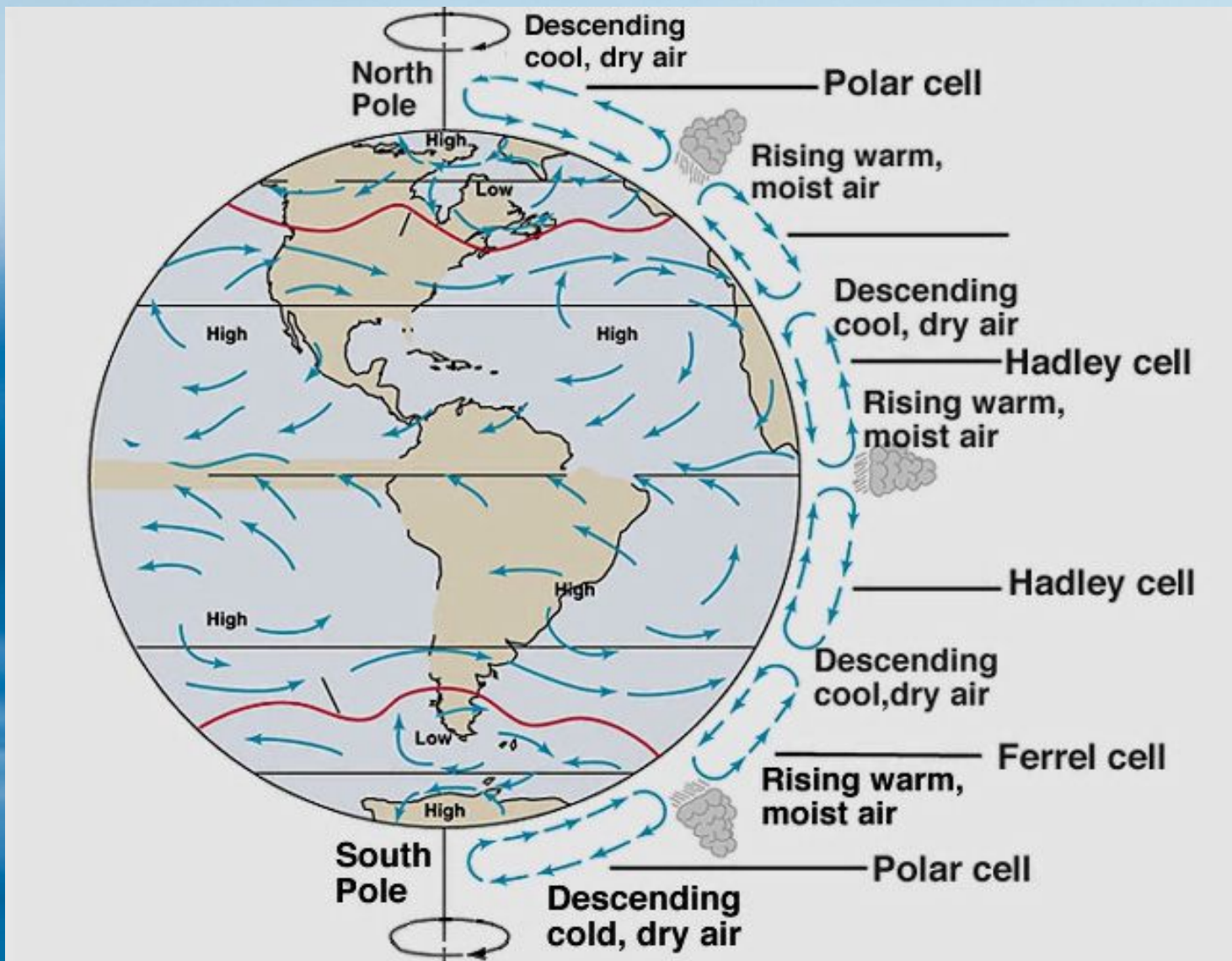
Studium Doktoranckie IOPAN, semestr zimowy 20010/11 r.

<http://www.iopan.gda.pl/~piskozub/klimat/>

Jacek Piskozub “Klimat a ocean: wczoraj, dziś i jutro”, kurs wykładów dla doktorantów 11.10.2010 -?? .02.2011

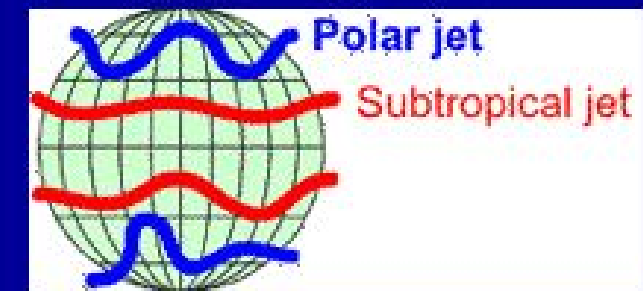
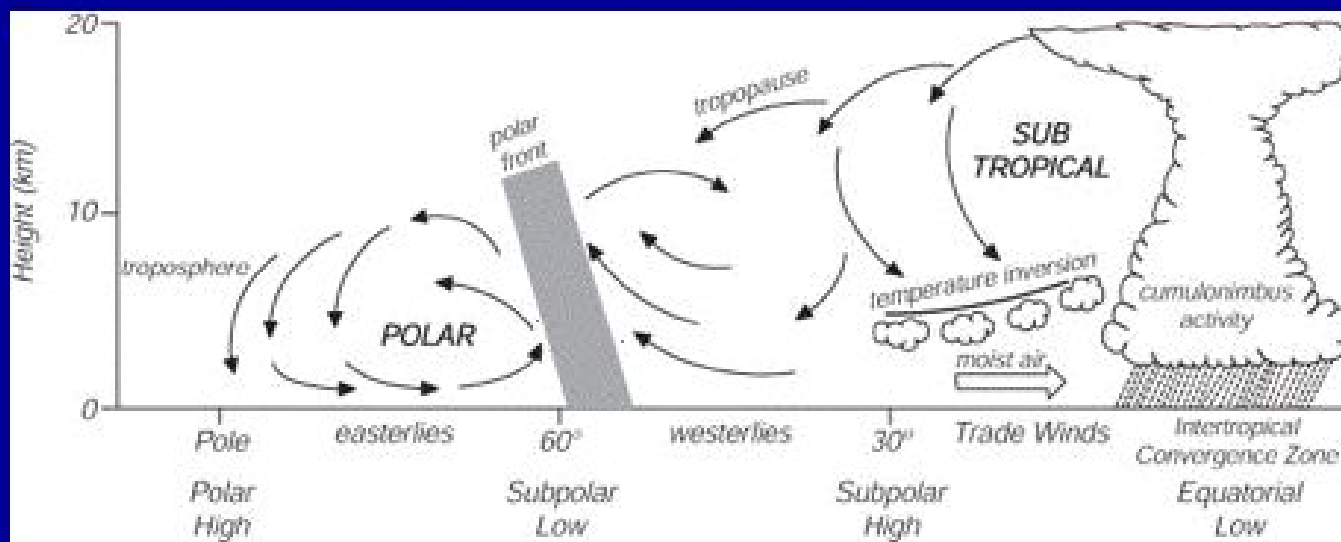
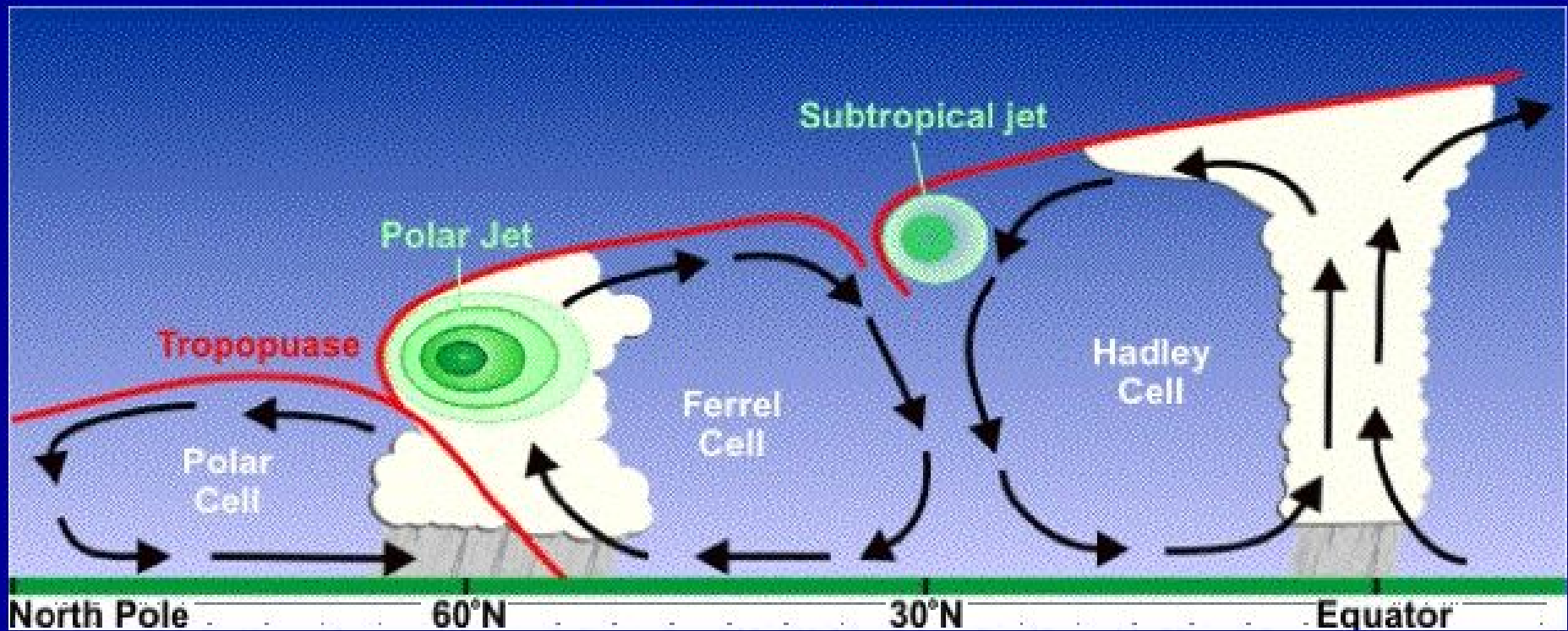
- ✓ Maszyna klimatyczna Ziemia (*zmienność w skali geologicznej*)
- ✓ Epoka lodowa w której żyjemy (*zmienność w skali astronomicznej*)
- ✓ Gwałtowne zmiany klimatu (*deglacjacja, zmienność “suborbitalna”*)
- ✓ Holocen: klimat, ocean a cywilizacja, (*stała słońeczna i wulkanizm*)
- ✓ Północny Atlantyk – kuźnia klimatu (*cyrkulacja termohalinowa, NAO*)
- ✓ Zmienność klimatu w skali dekadalnej (*AMO, NAO, PDO*)
- ✓ Tropiki a zmienność klimatu (*ENSO, huragany, monsuny*)
- ✓ Aerozol: wielka niewiadoma klimatyczna
- ✓ Gazy o znaczeniu klimatycznym (*cykl węgla, CO₂, metan, DMS*)
- ✓ Globalne ocieplenie a ocean (*zmienność antropogeniczna*)
- ✓ Zmiany klimatyczne w rejonach polarnych

Przypomnienie: cyrkulacja atmosfery ziemskiej



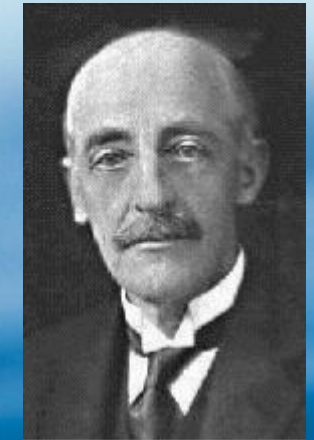
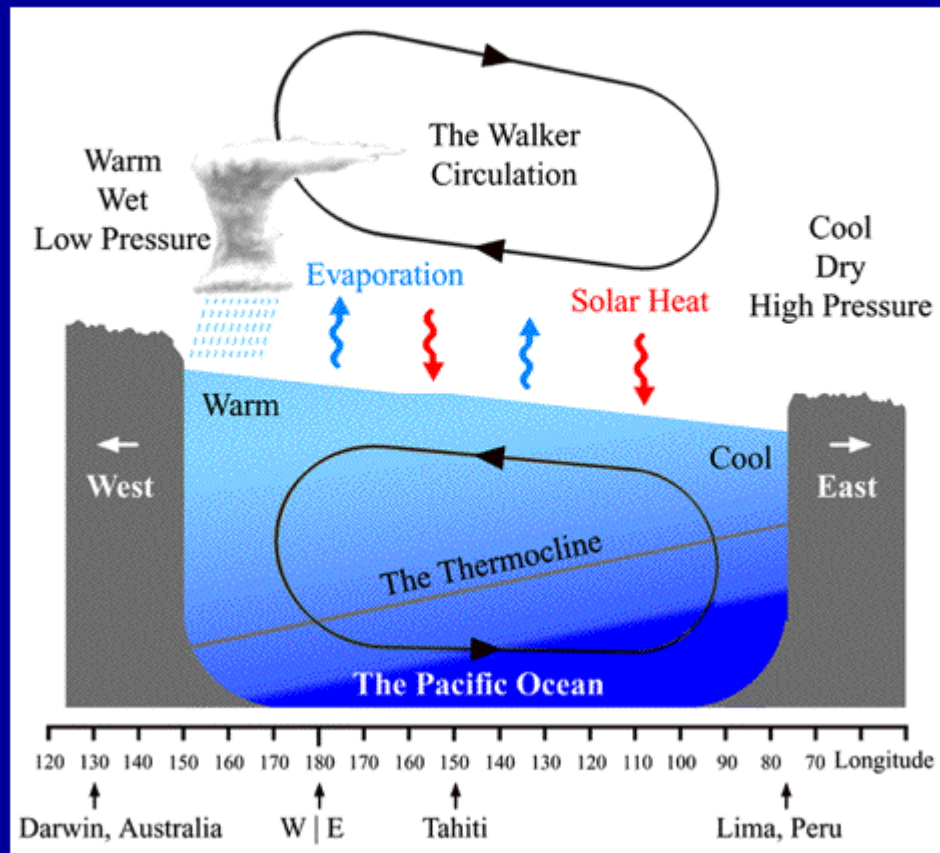
Klimatem tropików rządzi Tropikalna Strefa Konwergencji, pomiędzy dwoma komórkami Hadleya objawiającymi się na powierzchni jako pasaty...

The three cells and the jet streams: Polar and Subtropical Jets



Cyrkulacja Walkera nad równikowym Pacyfikiem

Walker circulation: equatorial direct circulation (Coriolis not important)

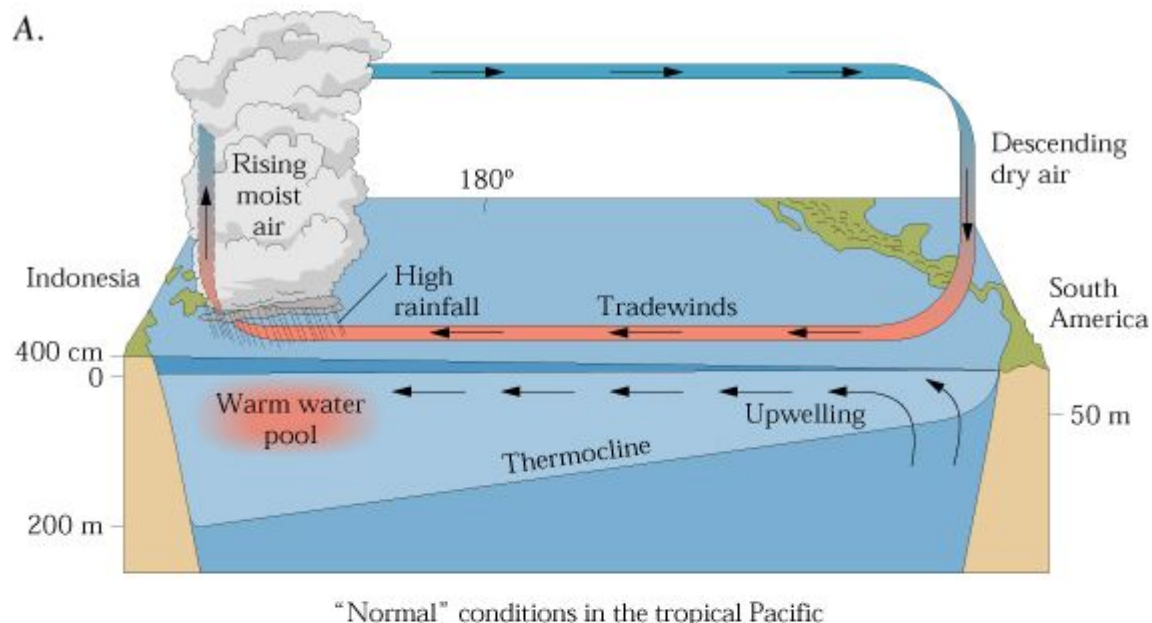


Sir Gilbert Thomas
Walker (1868 - 1958)

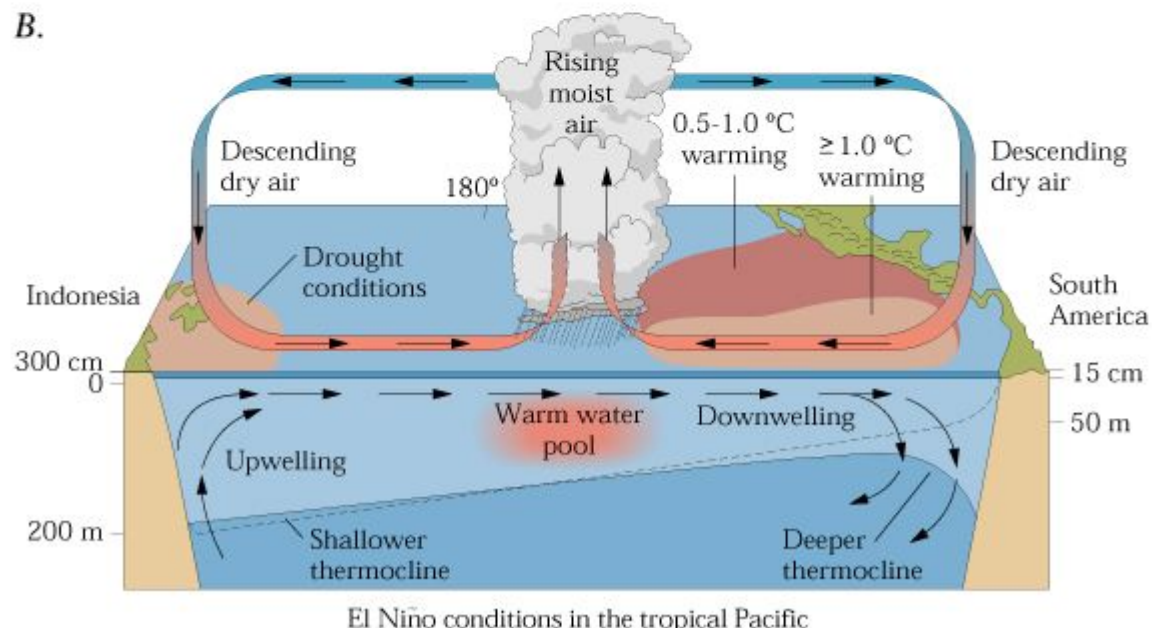
Ogólny obraz cyrkulacji komplikuje się nad Pacyfikiem gdzie istnieje komórka konwekcyjna (komórka Hadleya) wzdłuż równika pomiędzy niżem na zachodzie (w pobliżu Indonezji i Filipin) i wyżem na wschodzie (w pobliżu Ameryki Południowej).

Dwie fazy cyrkulacji Walkera: „El Niño-Southern Oscillation” (ENSO)

A.



B.



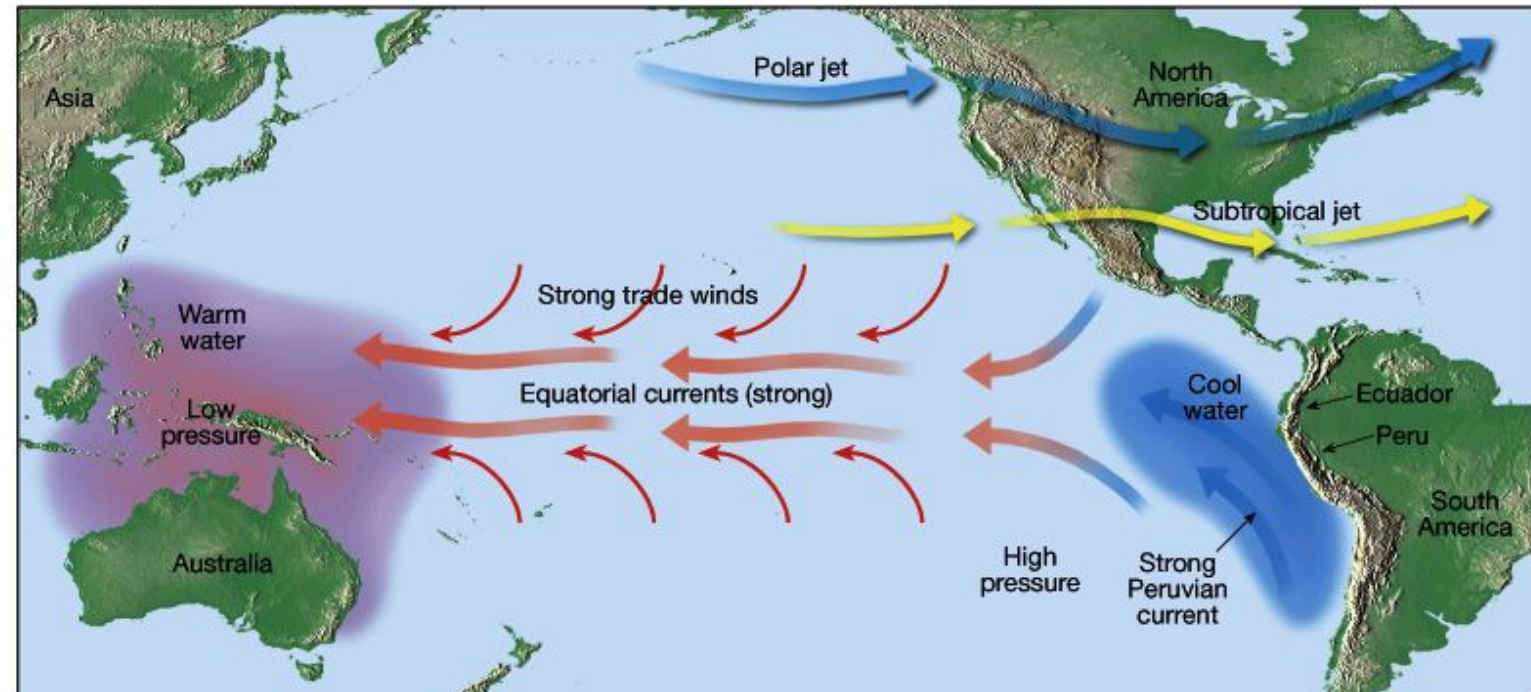
Tradycyjny obraz ENSO: na tle "normalnej" cyrkulacji Walkera tworzy się ciepła anomalia na Wschodnim Pacyfiku. Od daty częstego pojawiania się przy brzegach Peru zwana "Dzieciątkiem" (El Niño).

Obecnie przeważa pogląd, że ENSO jest cyklem dwóch stanach metastabilnych: El Niño oraz La Niña, z który żaden nie jest bardziej normalny.

Cykł ENSO trwający 3-7 lat jest głównym źródłem zmienności klimatu Ziemi o cyklu dłuższym niż rok.

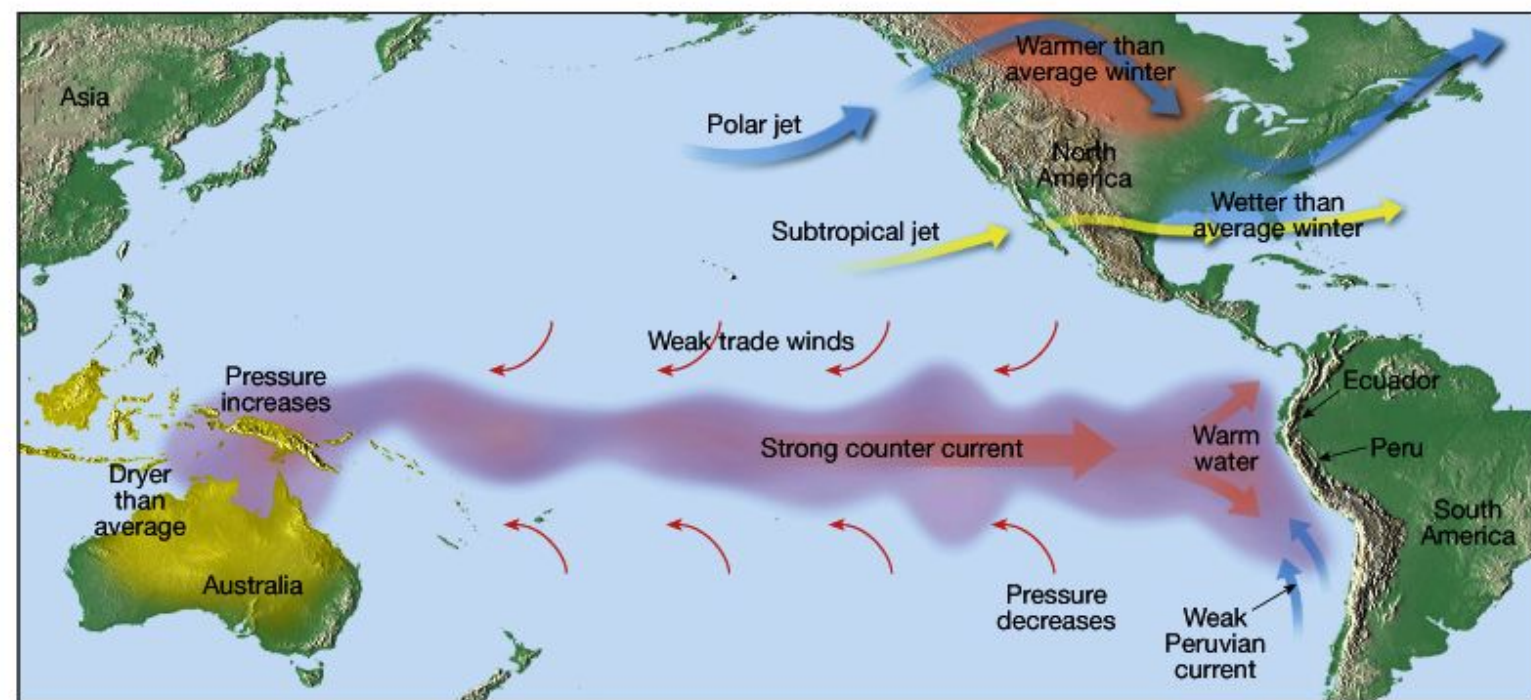
Dwie fazy ENSO

La Niña



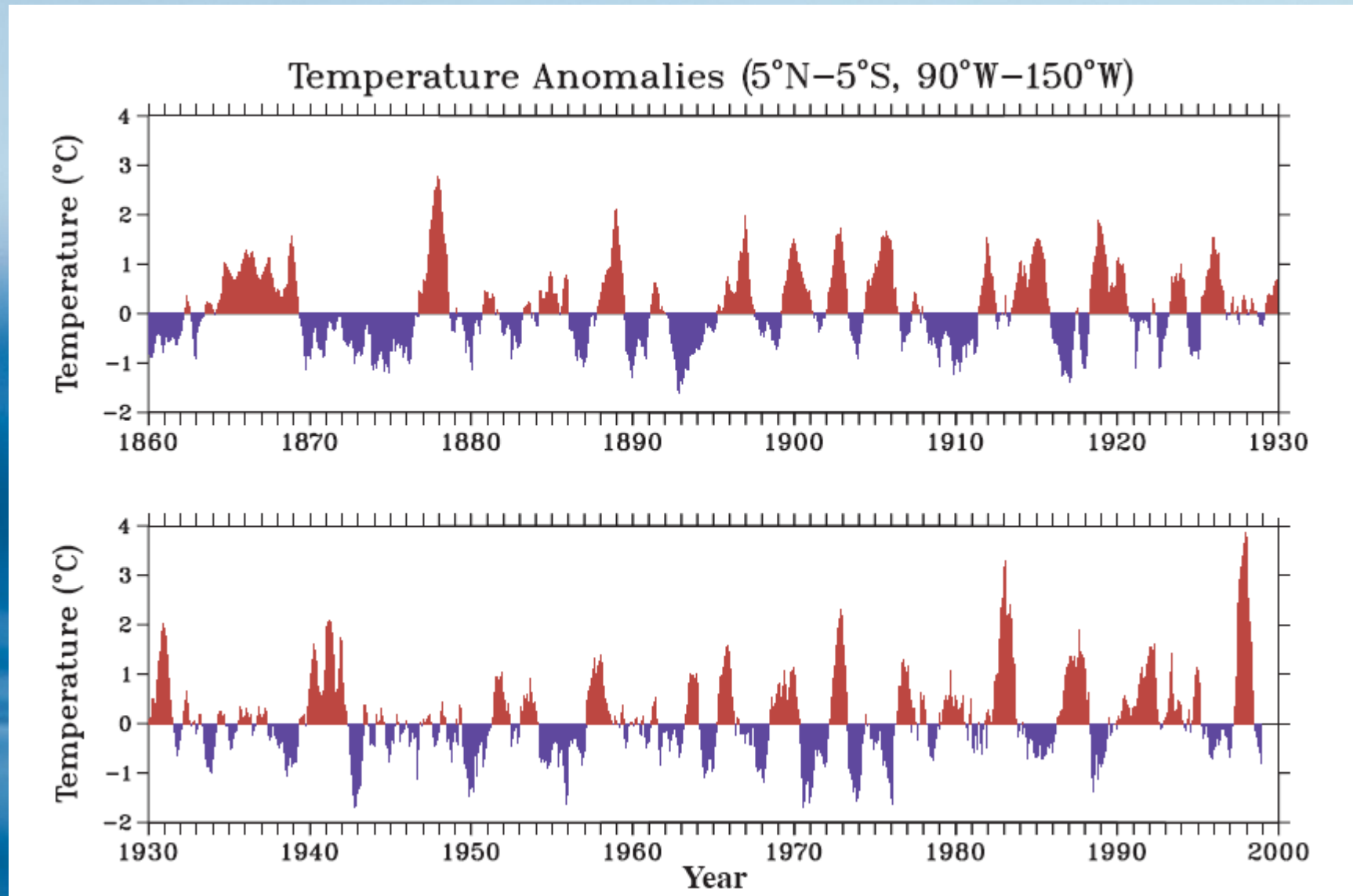
A. Normal conditions

El Niño



B. El Niño

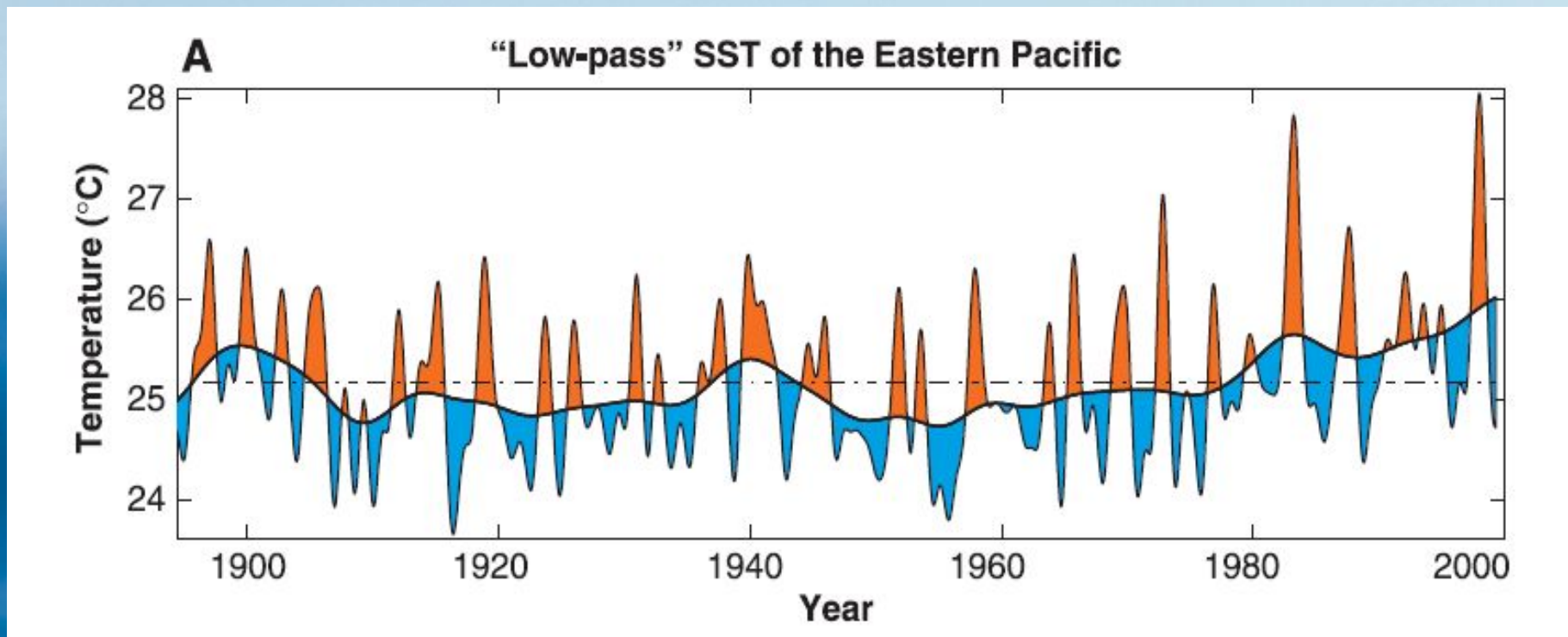
Indeks ENSO-3



Dodatnie wartości odchylenia temperatury Wschodniego Pacyfiku od średniej to El Niño, ujemne to La Niña. Zmienność z okresem rocznym i krótszym została odfiltrowana.

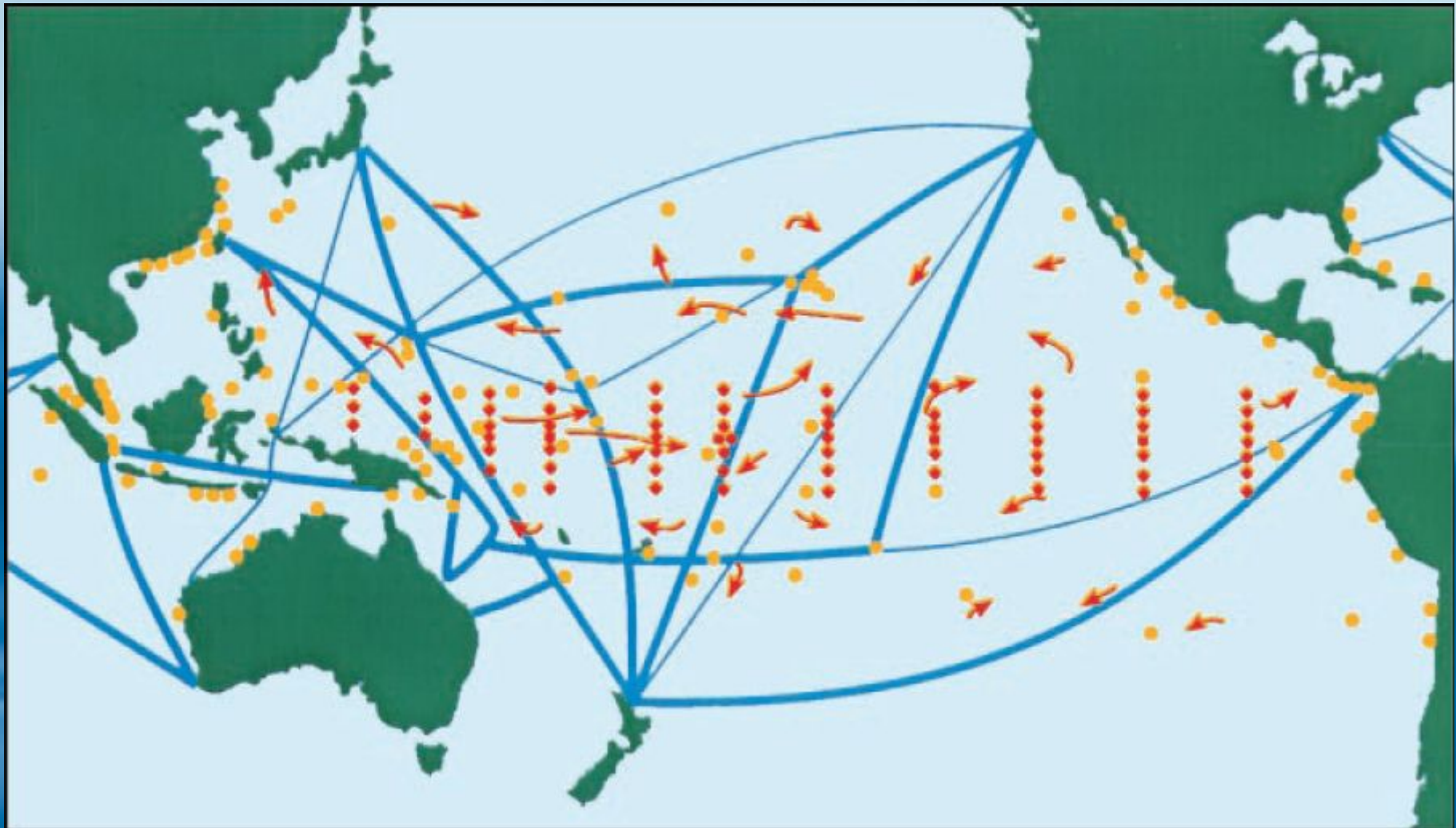
McPhaden 1999 (Science)

Indeks ENSO w XX wieku



Alternatywny sposób definiowania faz ENSO, względem wieloletniej średniej kroczącej temperatury Wschodniego Pacyfiku. Przy tym podejściu obie fazy (La Niña oraz El Niño) występują równie często nieomal z definicji.

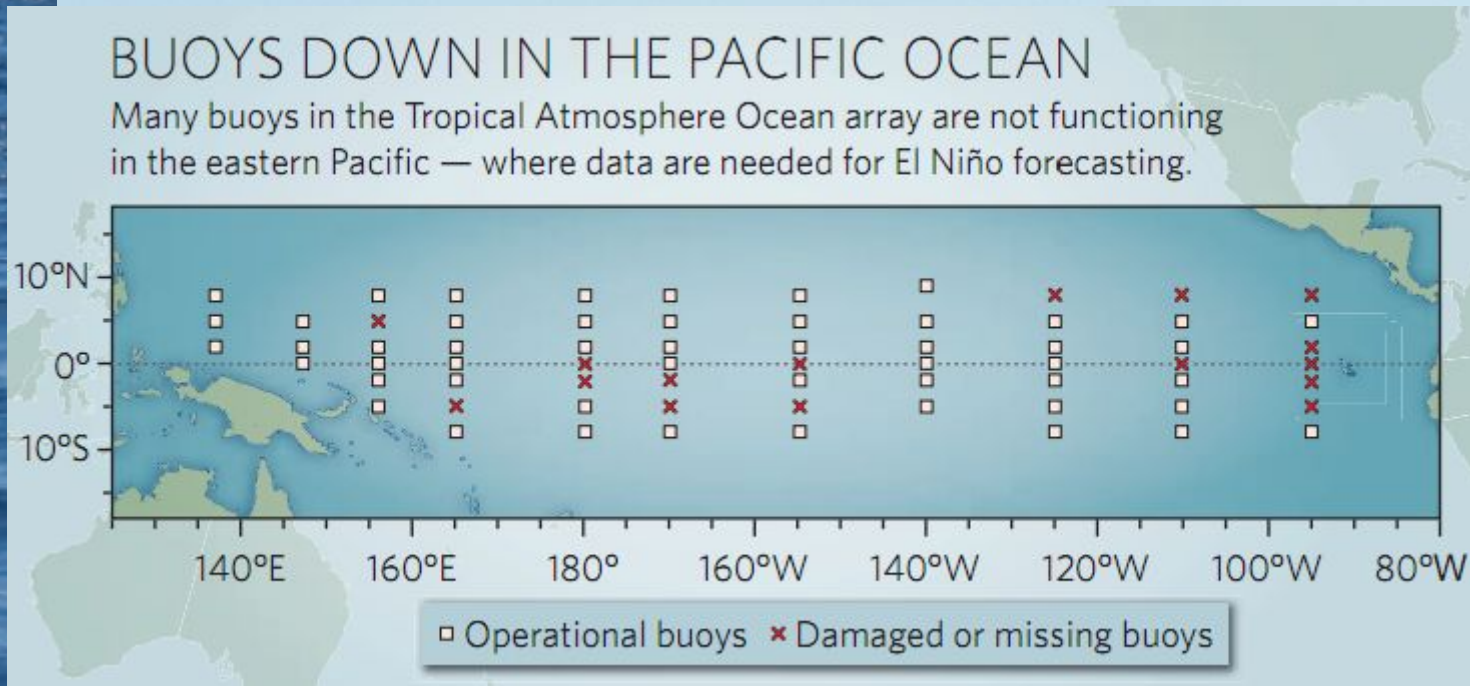
Skąd o tym wiemy?



Sieć pomiarów oceanograficznych na Pacyfiku. Wśród nich: statki handlowe z instrumentami oceanograficznymi (niebieskie linie), mierniki poziomu morza (żółte kropki), boje dryfujące (czerwone strzałki) i mooringi oceanograficzne (czerwone kropki).

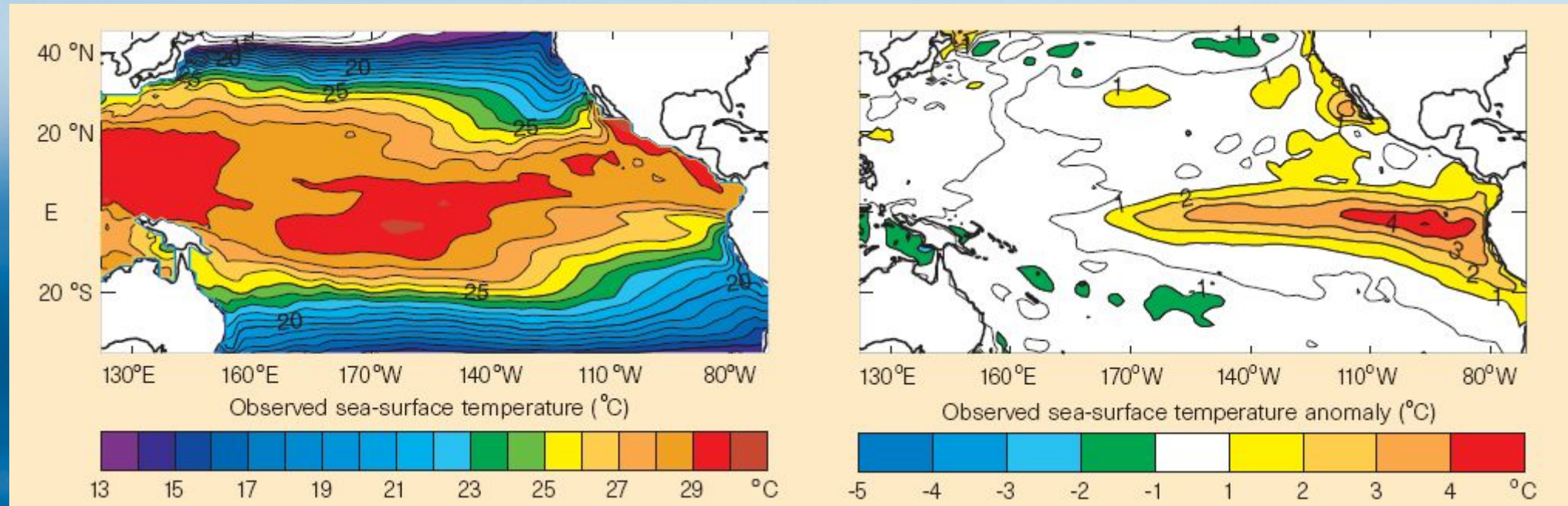
Fedorov & Philander 2000 (Science)

I czy dostatecznie dbamy o sieć pomiarową?



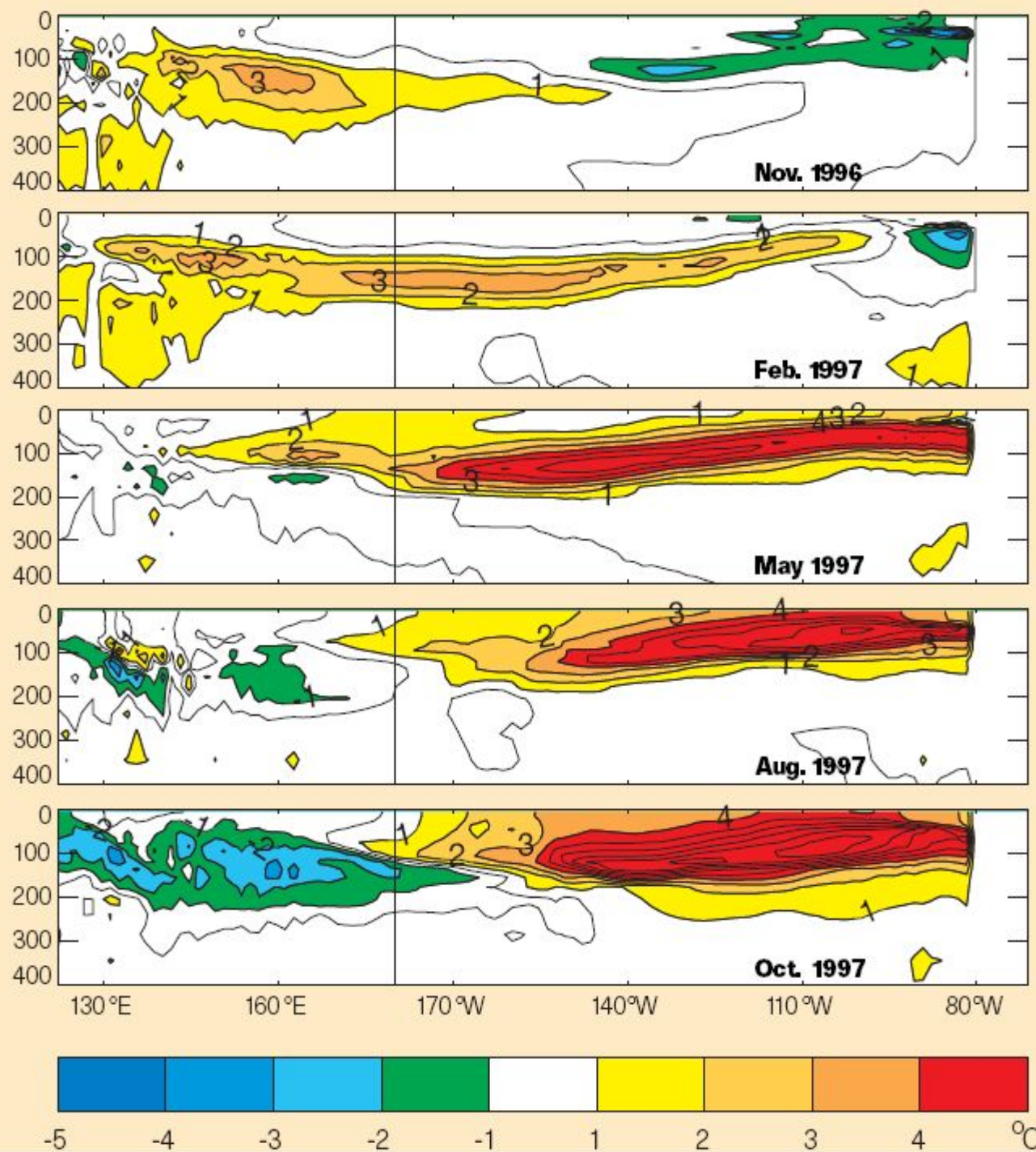
Sieć pomiarów oceanograficznych na Pacyfiku wymaga jednak kosztownego utrzymania. Na rysunku stan sieci boi na początku El Niño w roku 2009. Czerwone krzyżyki to niedziałające albo zaginione boje.

Powstawanie El Niño: październik 1997



Temperatura wód powierzchniowych (SST) w październiku 1997 oraz jej zmiana względem długoterminowej średniej dla tego miesiąca. Charakterystyczny ciepły klin w pobliżu Ameryki Południowej jest prawie 5 stopni cieplejszy od średniej wieloletniej.

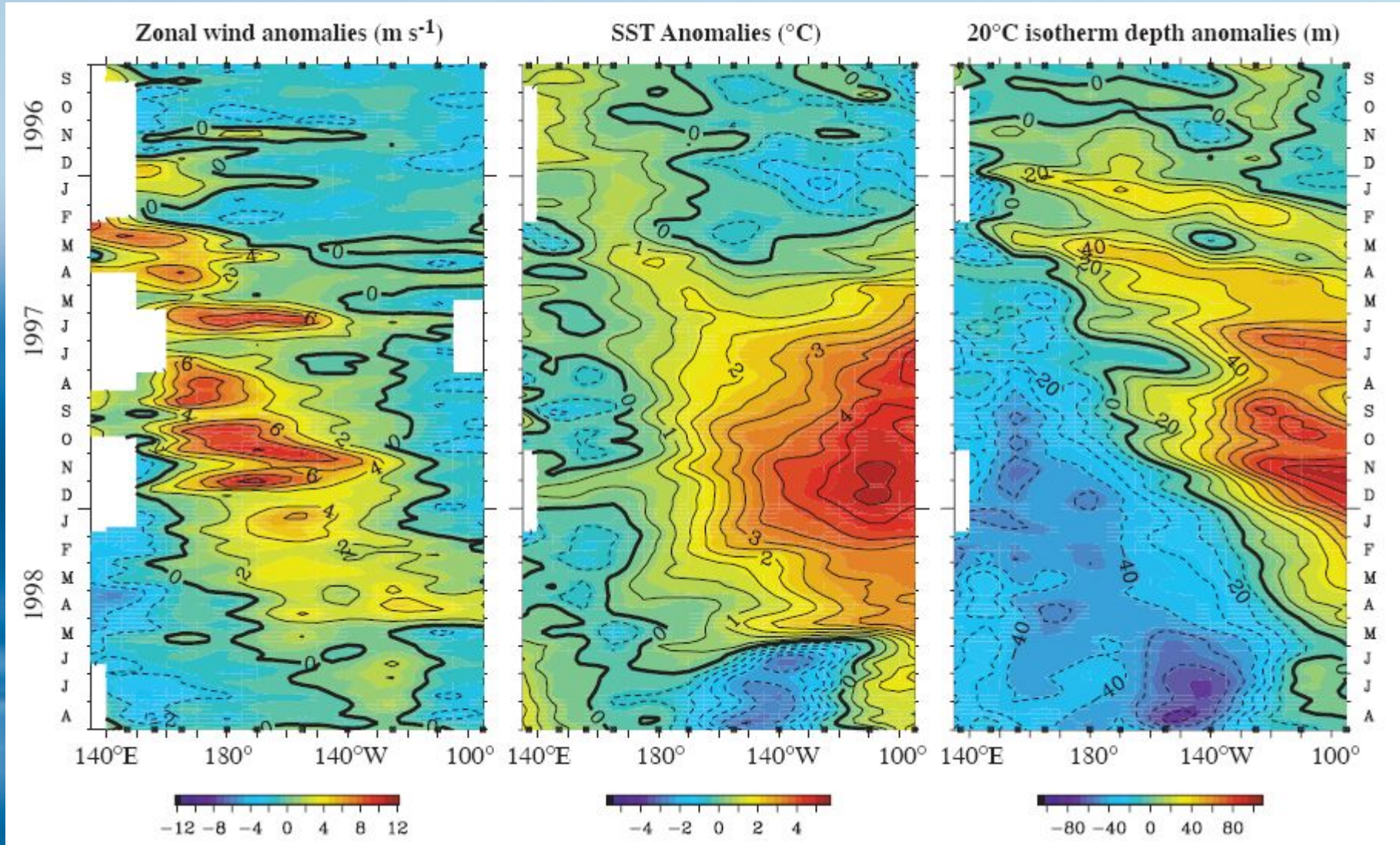
Początki El Niño: 11.1996 - 10.1997



Odchylenia od wieloletniej średniej miesięcznej SST
Pacyfiku podczas rozwoju
El Niño 1997/1998.

Webster & Palmer 1997 (Nature)

Rozwój El Niño: jeszcze inny obraz



Ewolucja w czasie anomalii wiatrów (czerwone to bardziej zachodnie), temperatury powierzchni morza i głębokości izotermy 20° C (czerwona to bardziej głęboka).

McPhaden 1999 (Science)

Teoria ENSO: dwa dominujące mody oscylacji

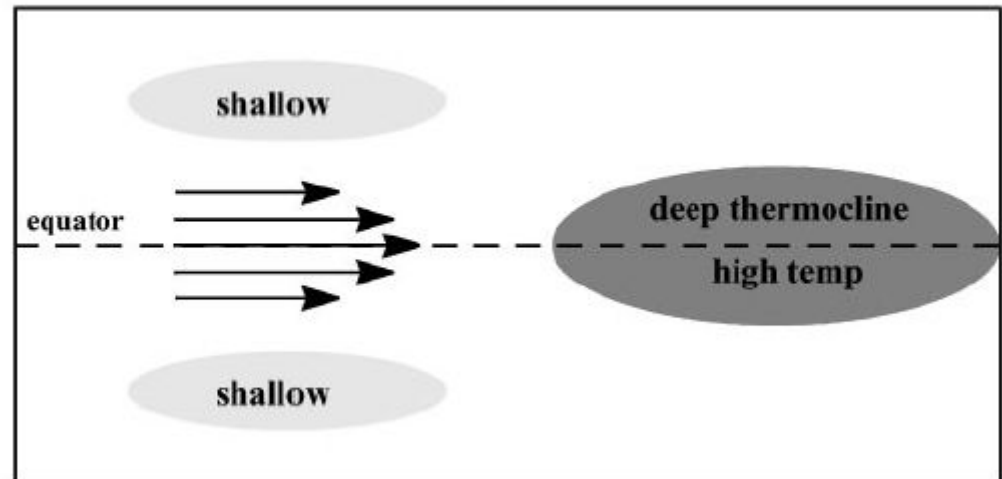
Dwa wyidealizowane mody El Niño:

- (a) “opóźniony oscylator”: zmiany głębokości termokliny na wschodzie związane z siłą i kierunkiem wiatrów na zachodzie.
- (b) “mod lokalny”: przesuwanie się gorącego obszaru Pacyfiku pod wpływem niesymetrycznej adwekcji wód powierzchniowych (nie występują w nim zmiany głębokości termokliny)

Oba mody występują jednocześnie, lecz nie muszą być jednakowo silne. Uważa się, że przed rokiem 1980 dominował mod (b) a obecnie przeważa mod (a).

(a)

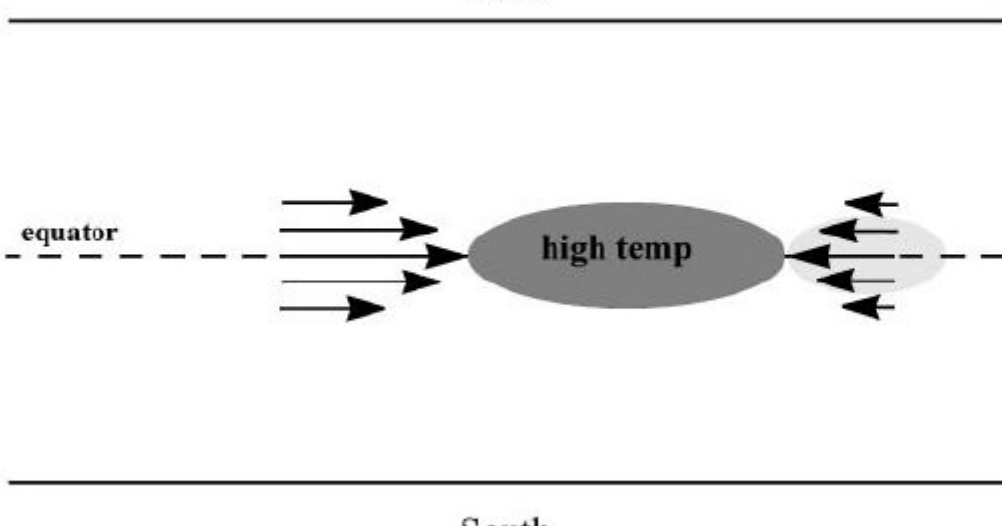
North



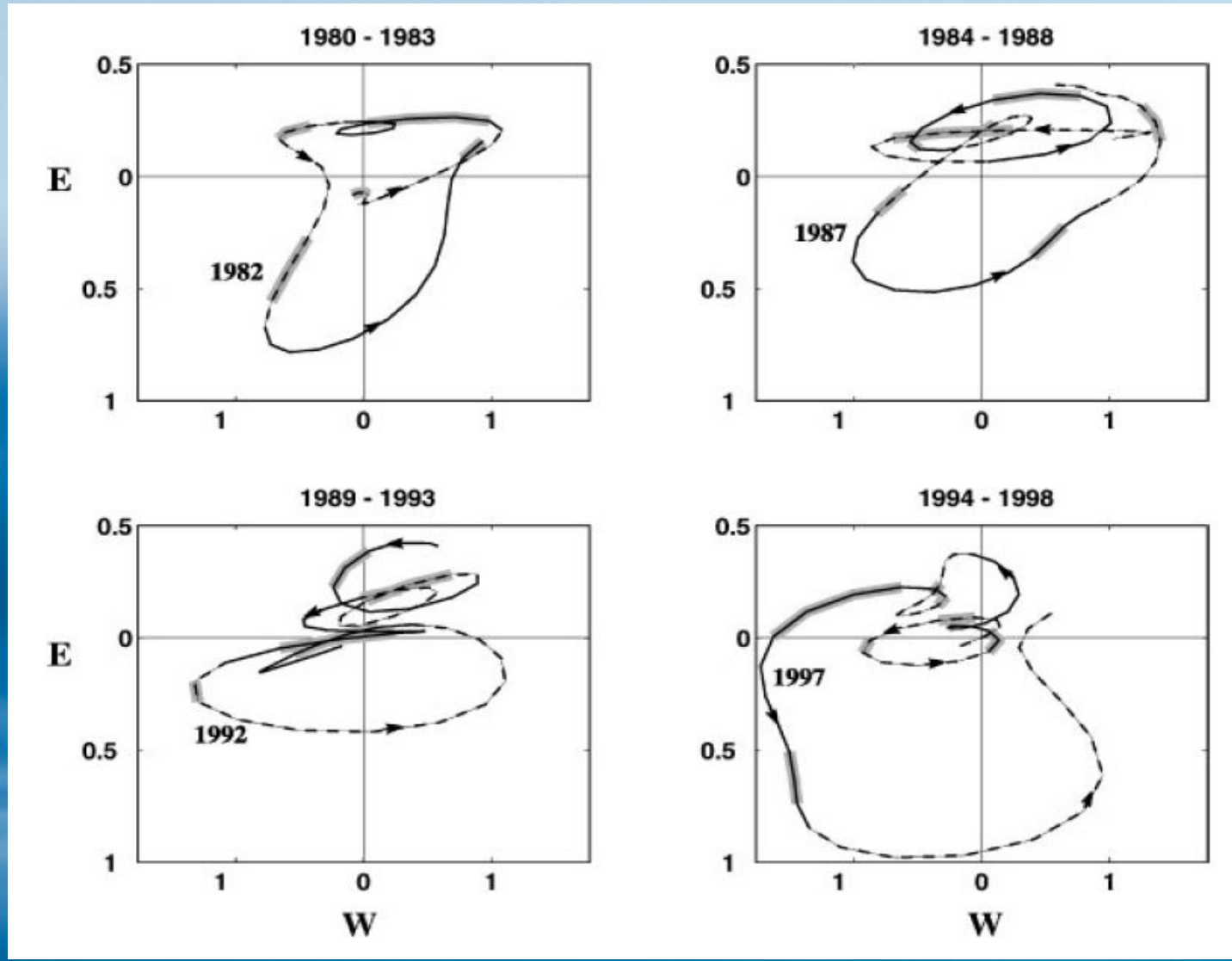
(b)

South

North

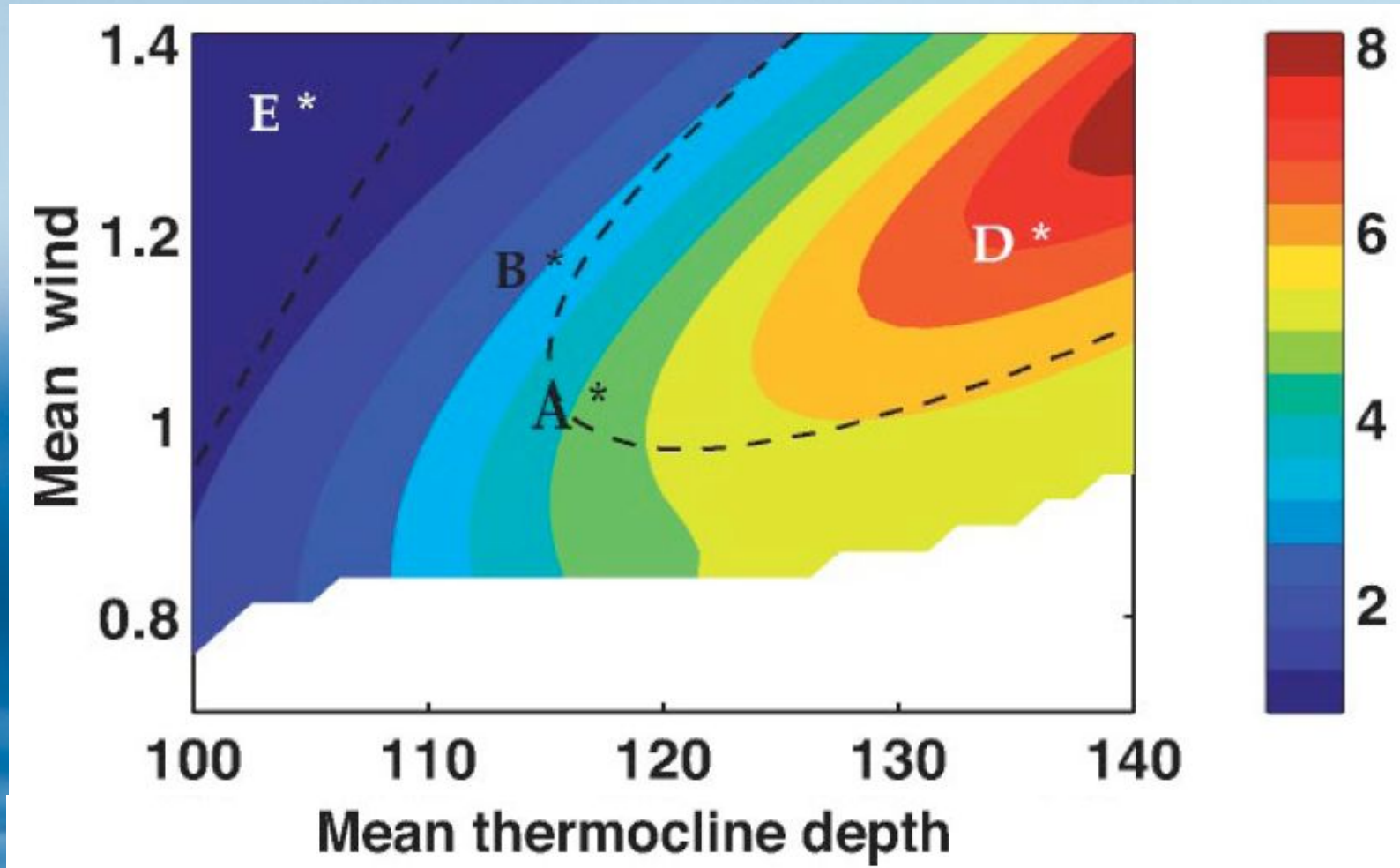


Dowód na cykliczność ENSO



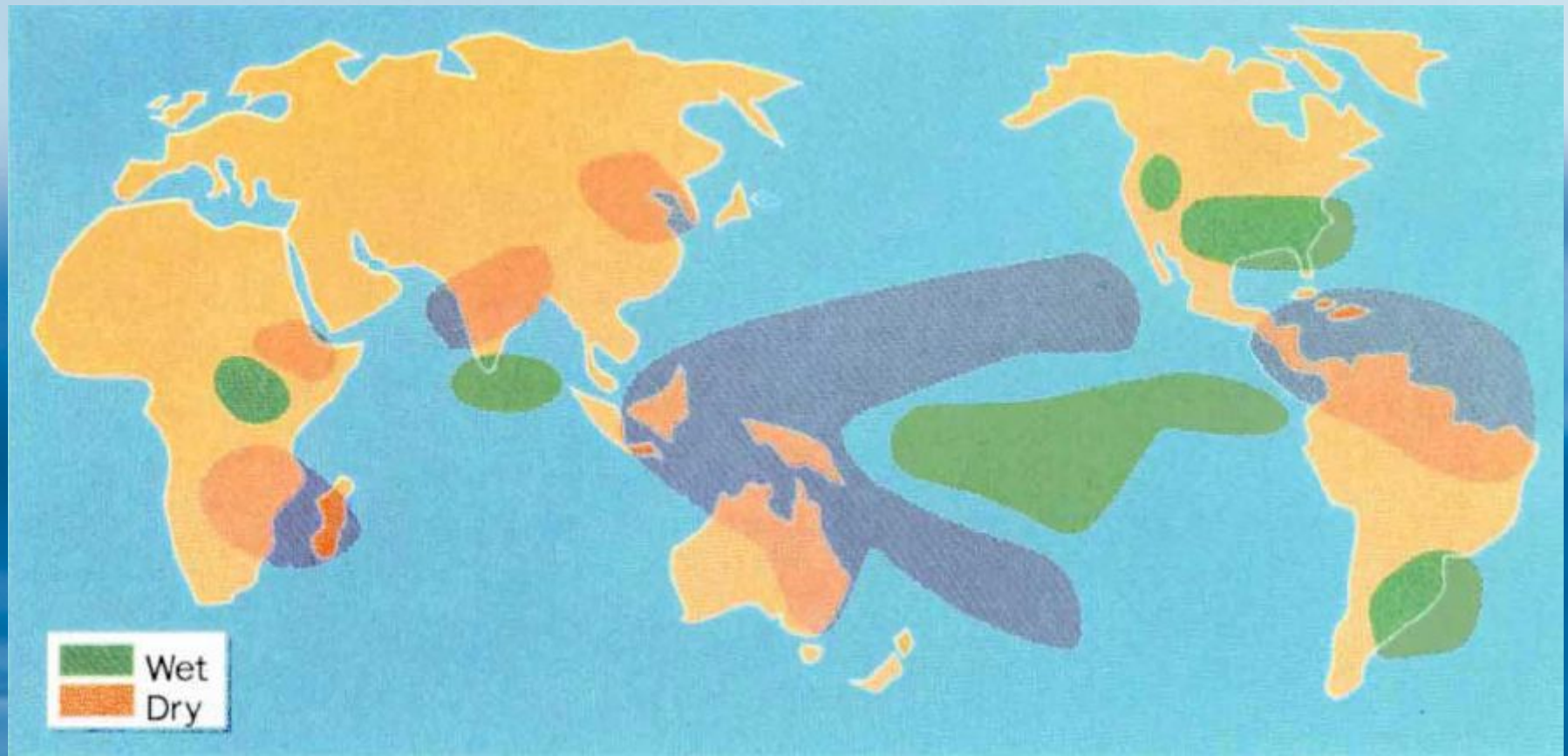
Trajektoria w czasie energii potencjalnej związanej z przeszyleniem termokliny (E) i mocy przekazywanej oceanowi przez wiatr (W) wskazuje na cykliczność zjawiska (ruch odwrotny do wskazówek zegara). Odcinki "poszarzone" to okresy zachodnich wiatrów. Góra część rysunku to La Niña a dolna El Niño.

Teoria ENSO: wyniki modelowania



Okres dominującej oscylacji ENSO w funkcji prędkości średnich wiatrów (właściwie jej kwadratu) i głębokości termokliny na Wschodnim Pacyfiku. Przerywana linia oznacza neutralna stabilność. Okolice punktu D to obszar opóźnionego oscylatora, a E modu lokalnego. Około roku 1980 stan ENSO przeszedł z punktu B do A pod wpływem ogrzania wód powierzchniowych co zmieniło średni okres ENSO z 3 do 5 lat.

Światowy zasięg efektów El Niño (stary i prosty obraz)

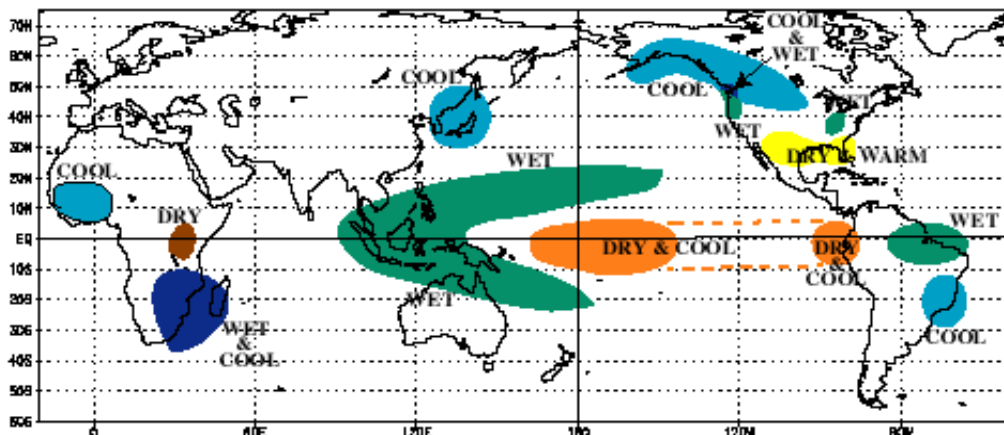


Faza El Niño powoduje zauważalne zmiany w opadach na dużej części kuli ziemskiej: susze w Indonezji, Australii, Ameryce Środkowej (stąd mniej huraganów w latach El Niño) i Afryce Wschodniej i Indiach (słaby monsun) oraz zwiększone opady np. w części Stanów Zjednoczonych i w Argentynie.

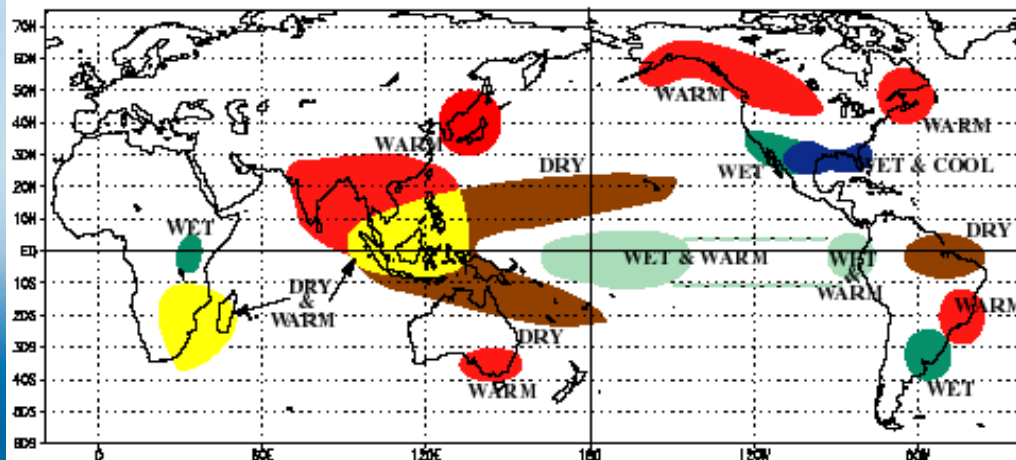
Rosenzweig 1994 (Nature) after Nicholls 1993

Bardziej współczesny obraz wpływu ENSO na klimat

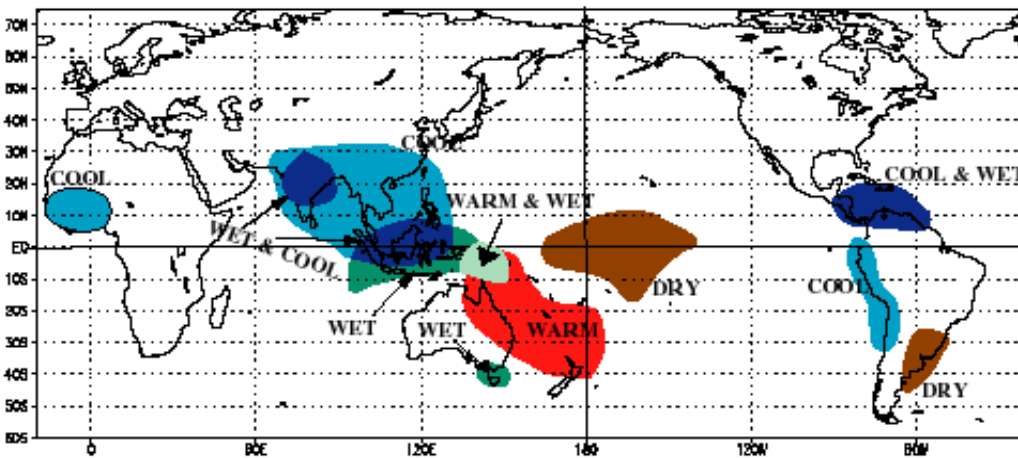
COLD EPISODE RELATIONSHIPS DECEMBER - FEBRUARY



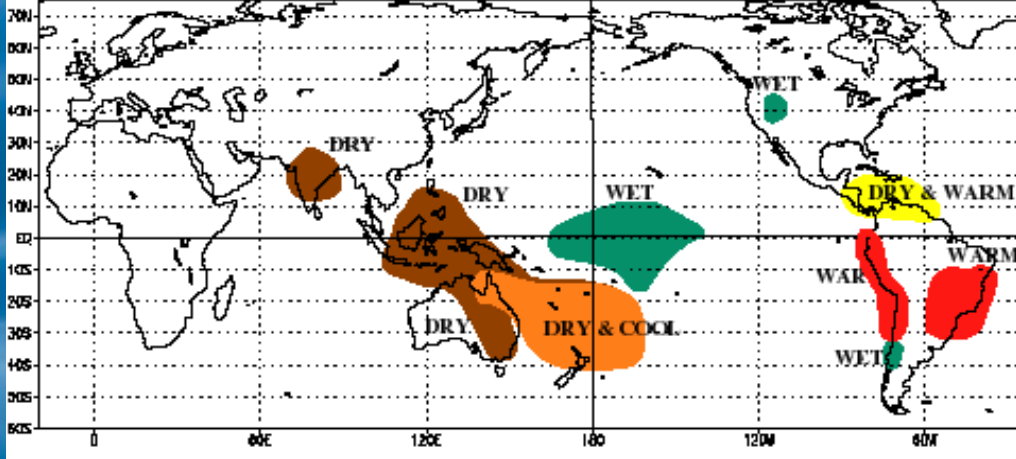
WARM EPISODE RELATIONSHIPS DECEMBER - FEBRUARY



COLD EPISODE RELATIONSHIPS JUNE - AUGUST

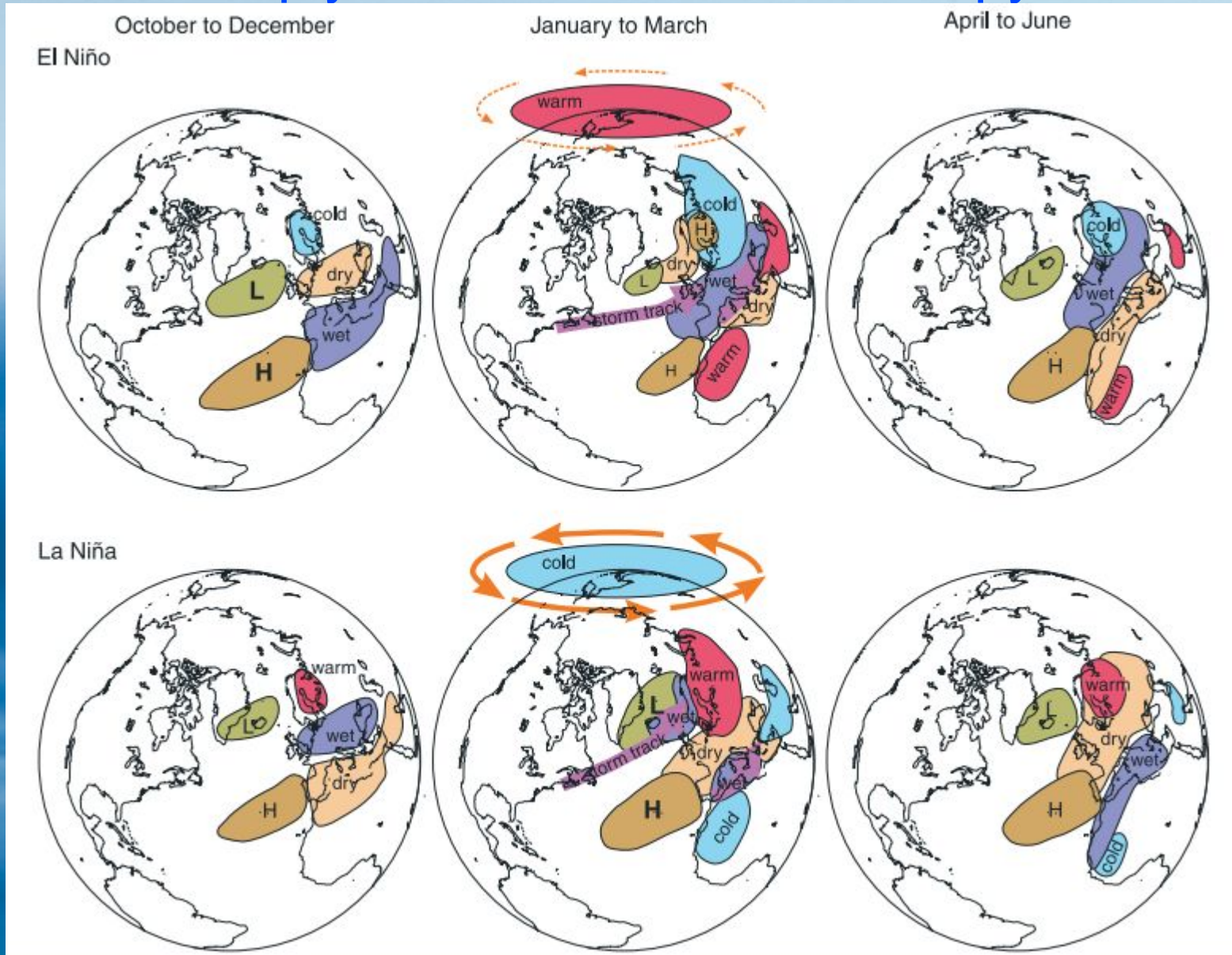


WARM EPISODE RELATIONSHIPS JUNE - AUGUST



Wpływ zimnej (La Niña) oraz ciepłej (El Niño) fazy ENSO na klimat zimą DJF (na górze) i latem JJA (na dole). W tym obrazie aktualnym do 2009 r. Nie wykrywano jeszcze wpływu ENSO na klimat Europy.

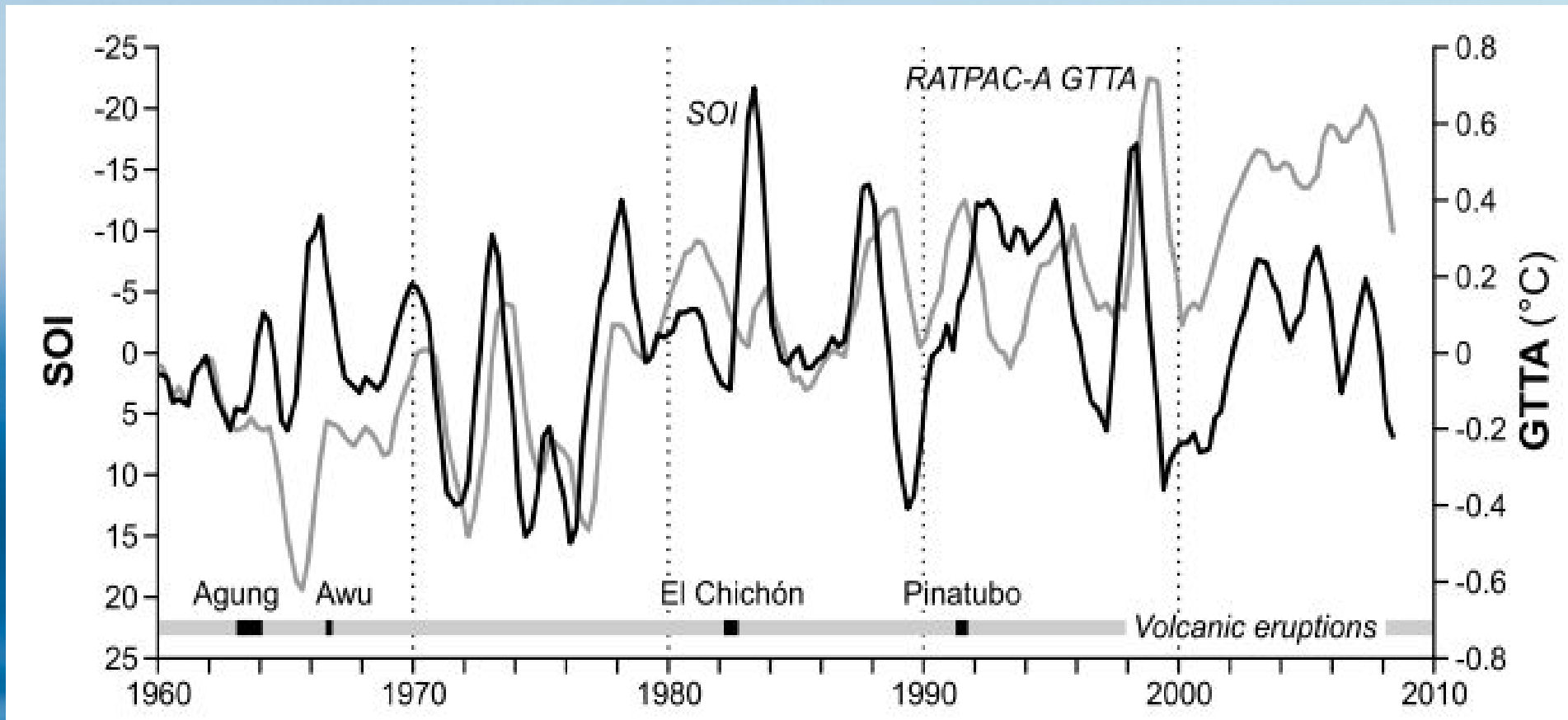
Wpływ ENSO na klimat Europy



Wpływ ciepłej (El Niño) oraz zimnej (La Niña) fazy ENSO na klimat Europy od października do czerwca. Zwracają uwagę zmiany NAO pomiędzy styczniem a marcem.

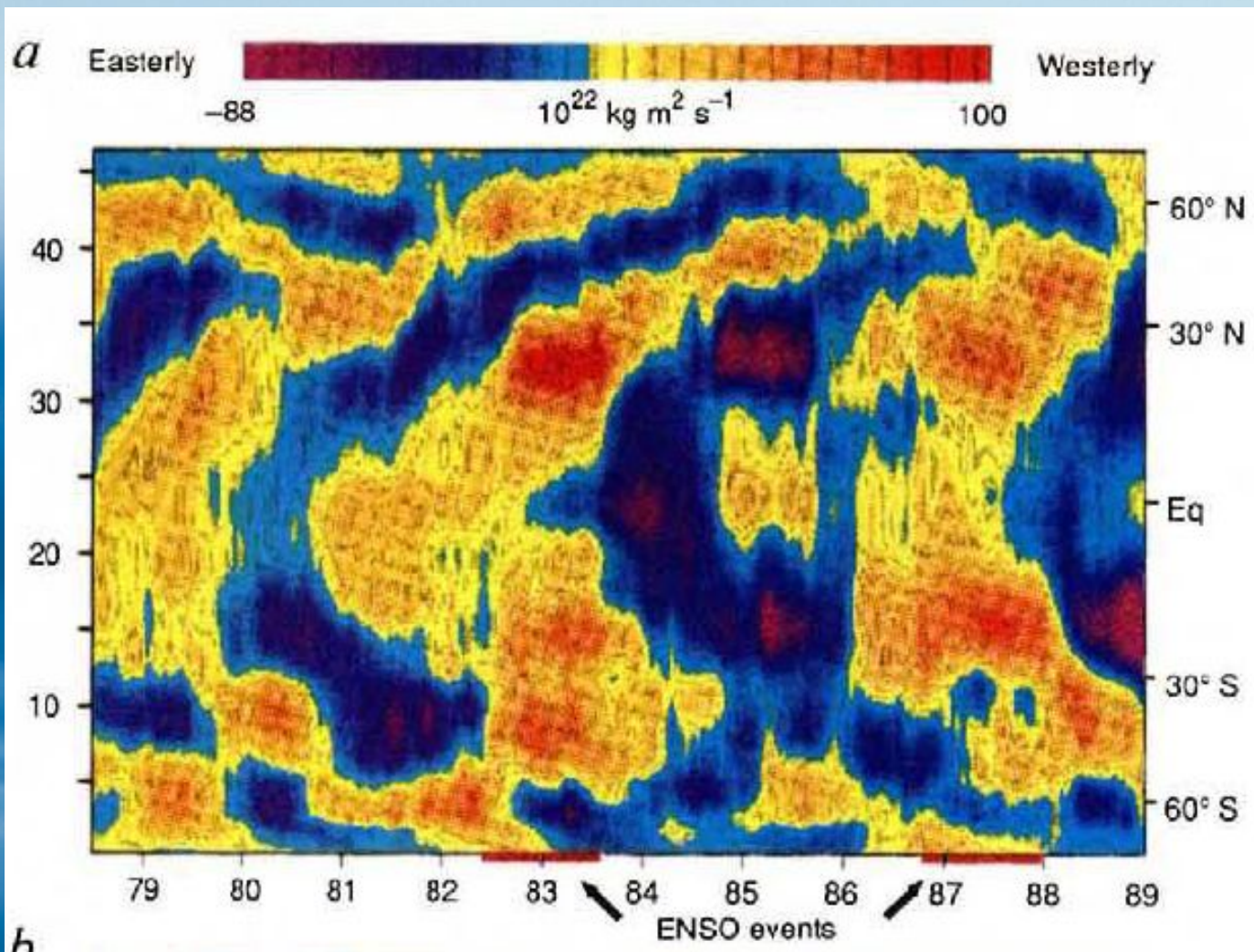
Bronnimann 2007 (*Reviews of Geophysics*)

Wpływ ENSO na klimat globalny



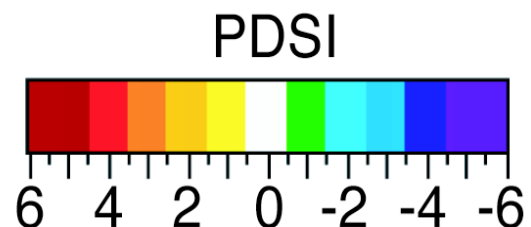
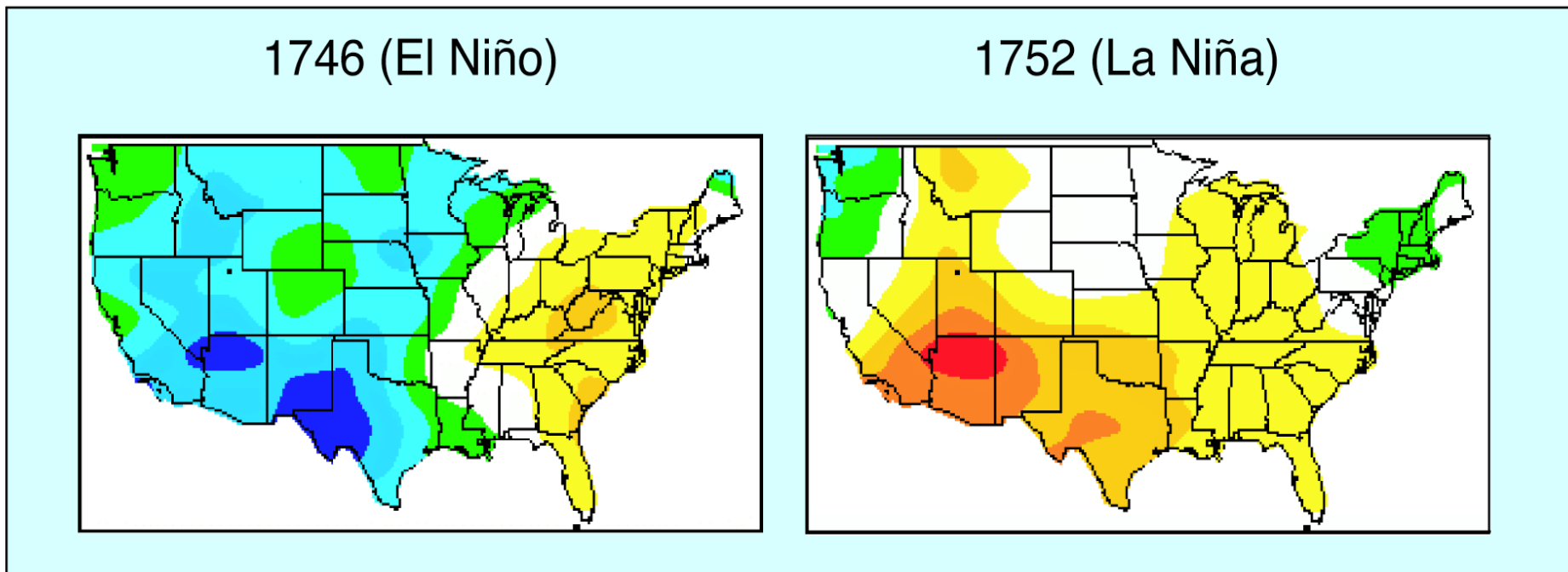
Wpływ cyklu ENSO (tu reprezentowanego przez indeks SOI) na temperaturę globalną (Global Tropospheric Temperature Anomaly) dochodzi do ponad 0.5 stopnia. Na rysunku zaznaczono też większe wybuchy wulkanów. Zwraca uwagę występowanie El Niño po tropikalnych wybuchach wulkanów i nałożony na cykl El Niño stały wzrost temperatury (tzw. globalne ocieplenie).

Mechanizm rozprzestrzeniania się efektów klimatycznych ENSO: cyrkulacja atmosferyczna

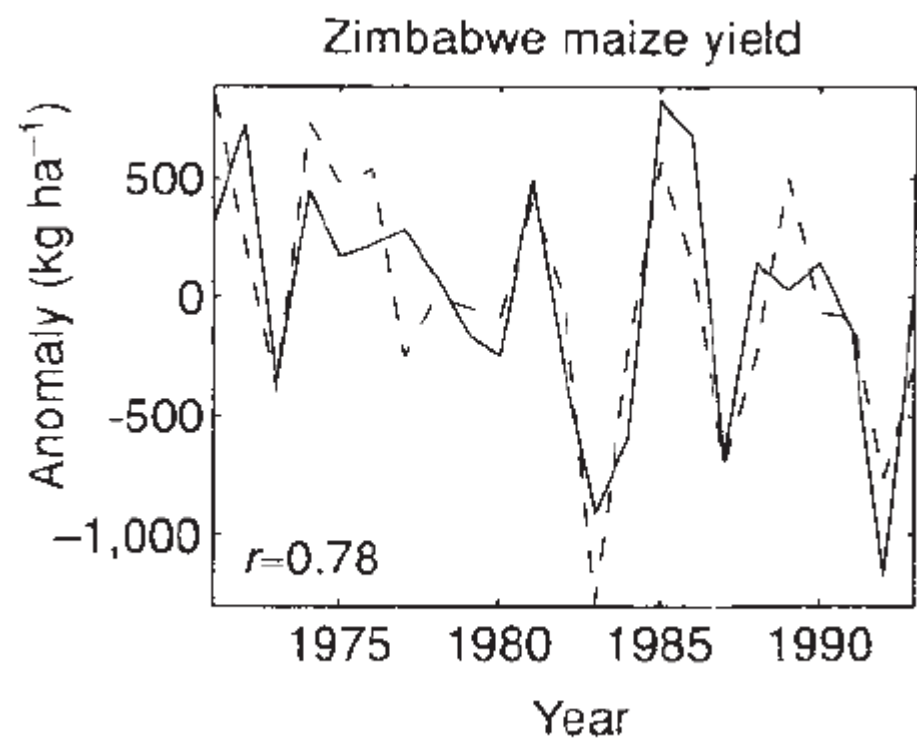
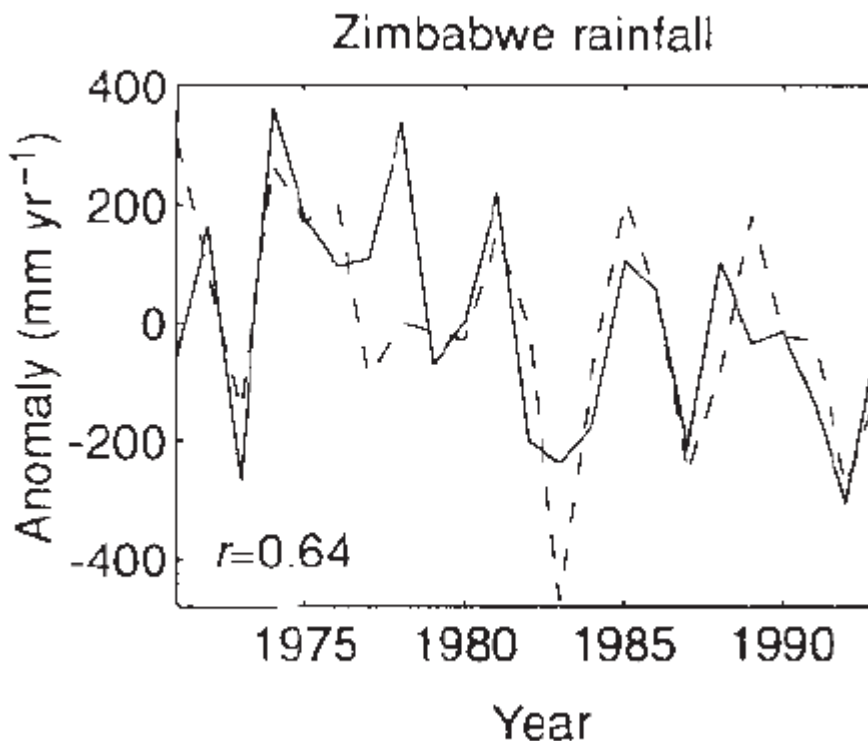


Zmiany cyrkulacji atmosferycznej w funkcji czasu i szerokości geograficznej. Widać rozchodzenie się momentu pędu zachodnich wiatrów (czerwone) w kierunku biegunów po każdym El Niño.

Summer Palmer Drought Severity Index (PDSI) Reconstructed from a Continental Network of Drought-Sensitive Tree Ring Records

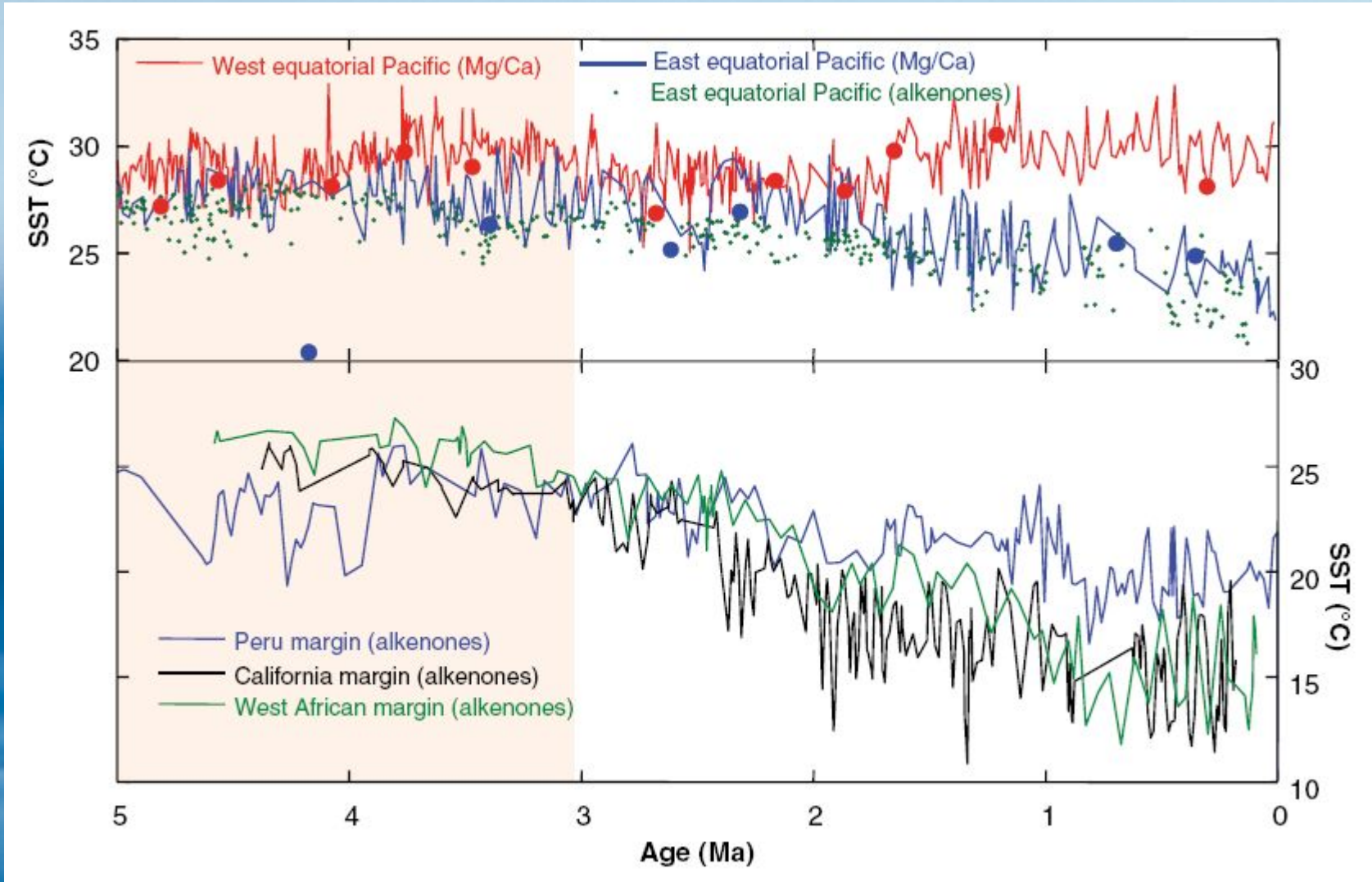


Wpływ El Niño na opady i zbiory kukurydzy z Zimbabwe



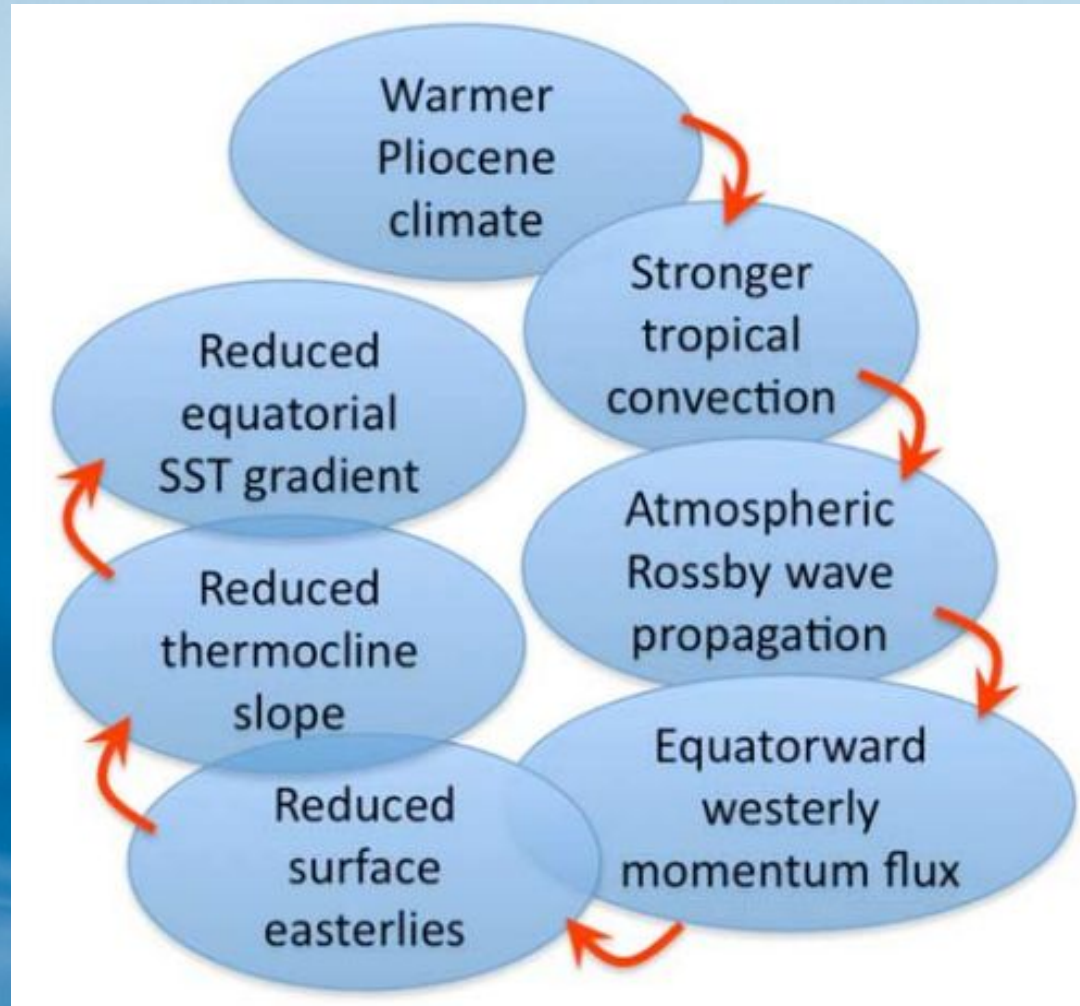
Indeks ENSO-3 (linie przerywane) jest silnie skorelowany z opadami i planami kukurydzy w Zimbabwe. Co ciekawe korelacja ze zbiorami jest nawet wyższa (co świadczy prawdopodobnie o wpływie ENSO również na temperaturę w Zimbabwe).

ENSO w Pliocenie: nieustające El Niño?

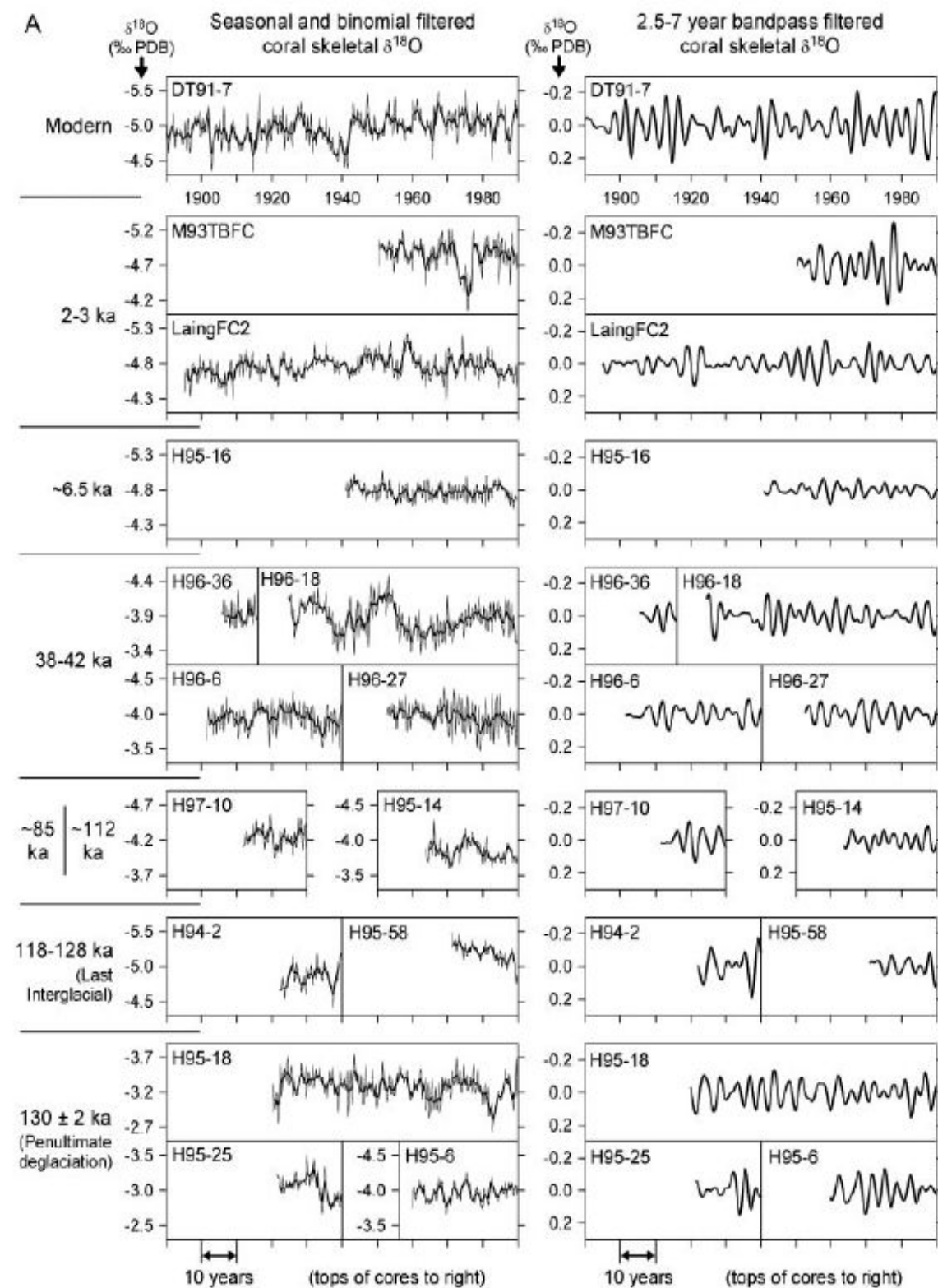


Zrekonstruowana temperatura **Zachodniego** i **Wschodniego** Pacyfiku (na górze) oraz wód zdominowanych obecnie przez upwelling (na dole) świadczy, że przed nastaniem Plejstocenu (epoki lodowej) termoklina była zbyt głęboko aby mogła występować faza zimna ENSO.

Możliwy mechanizm nieustającego ENSO w Pliocenie



Możliwy mechanizm nieustającego El Niño w pliocenie. Ale czy musi to być takie skomplikowane? Czy nie ma prostszego mechanizmu?



ENSO w epoce lodowej

Zmienność sezonowa (po lewej) i wartości przefiltrowane filtrem przepuszczającym okres 2.5-7 lat dla korali współczesnych (na górze) i kopalnych (w dół coraz starsze).

Widoczne jest, że ENSO występowało również w epoce lodowej. Wyjątkowo słabe było jedynie w maksimum klimatycznym holocenu (8-6ka).

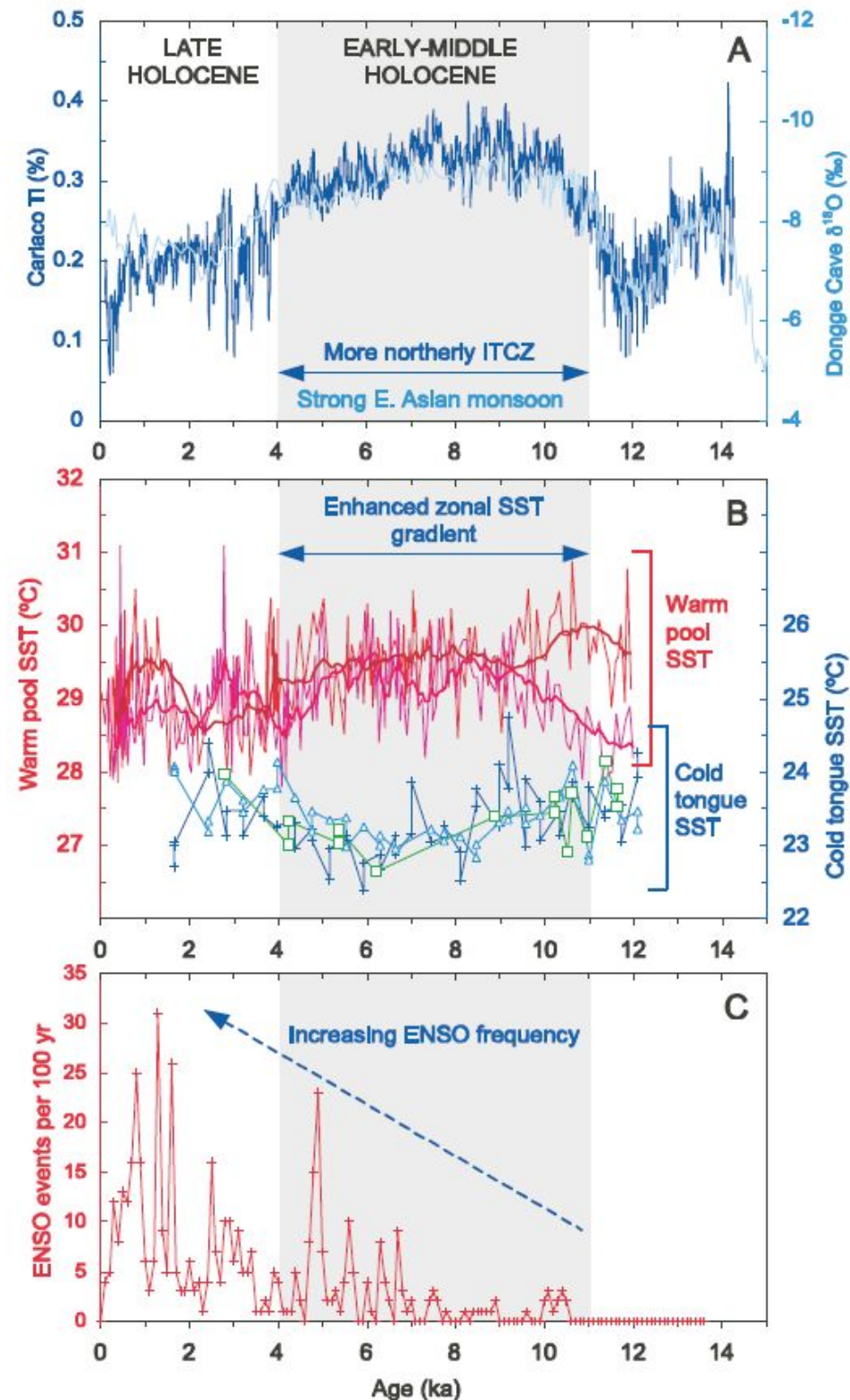
ENSO w holocenie

Pozycja ITCZ (na podstawie siły monsunu), temperatury Zachodniego i Wschodniego Pacyfiku oraz częstotliwość zjawisk ENSO w ciągu ostatnich 14ka.

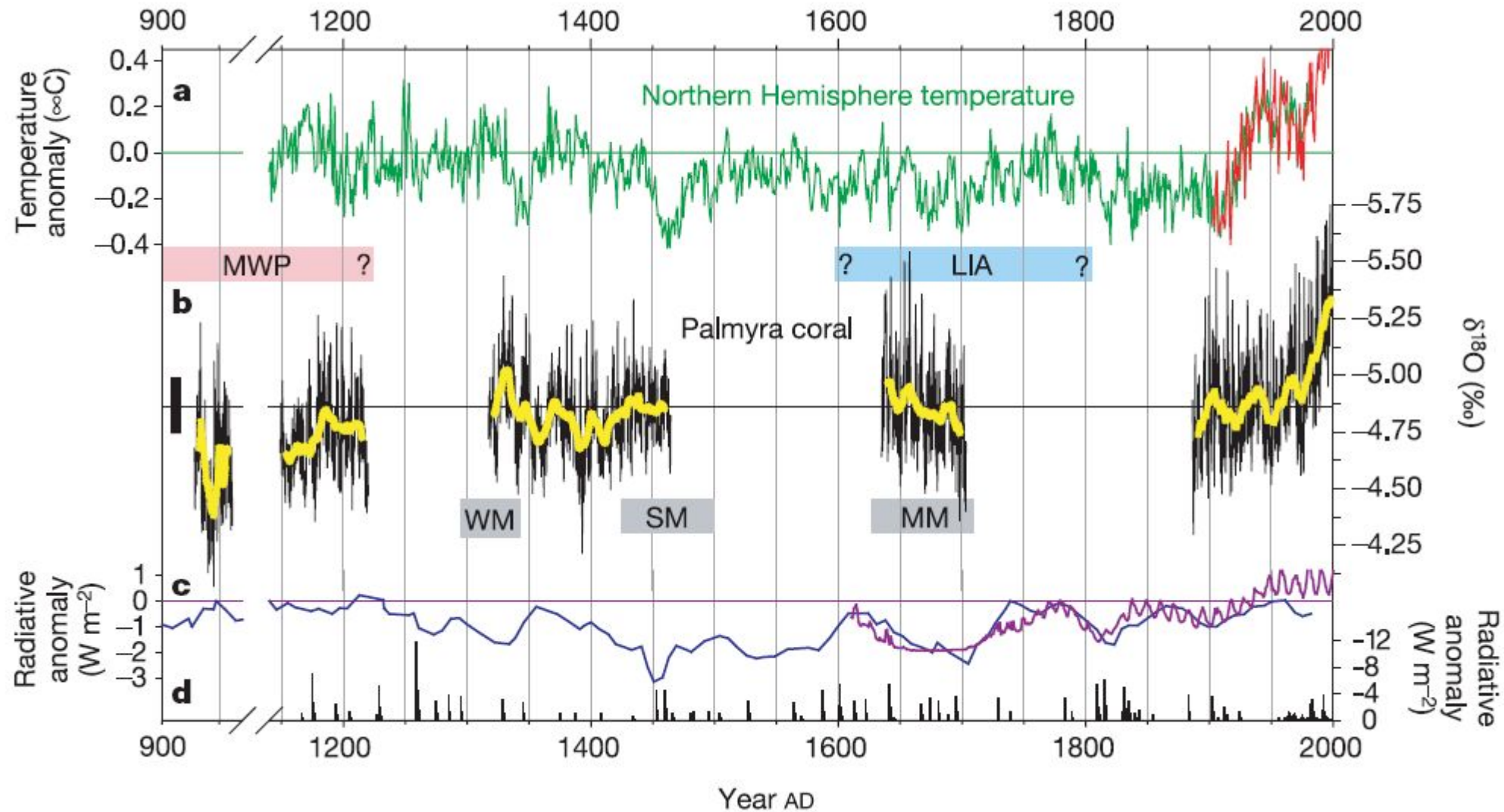
Widoczne jest minimum aktywności ENSO w okresie optimum klimatycznego holocenu.

Uwaga: *Niska aktywność w epoce lodowej nie jest zgodna z przedstawionymi wynikami Tudhope et al 2001. Autorzy mimo przedstawienia jej na rysunku w artykule nie wyciągają wniosków co do epoki lodowej*

Koutavas et al. 2006 (Geology)



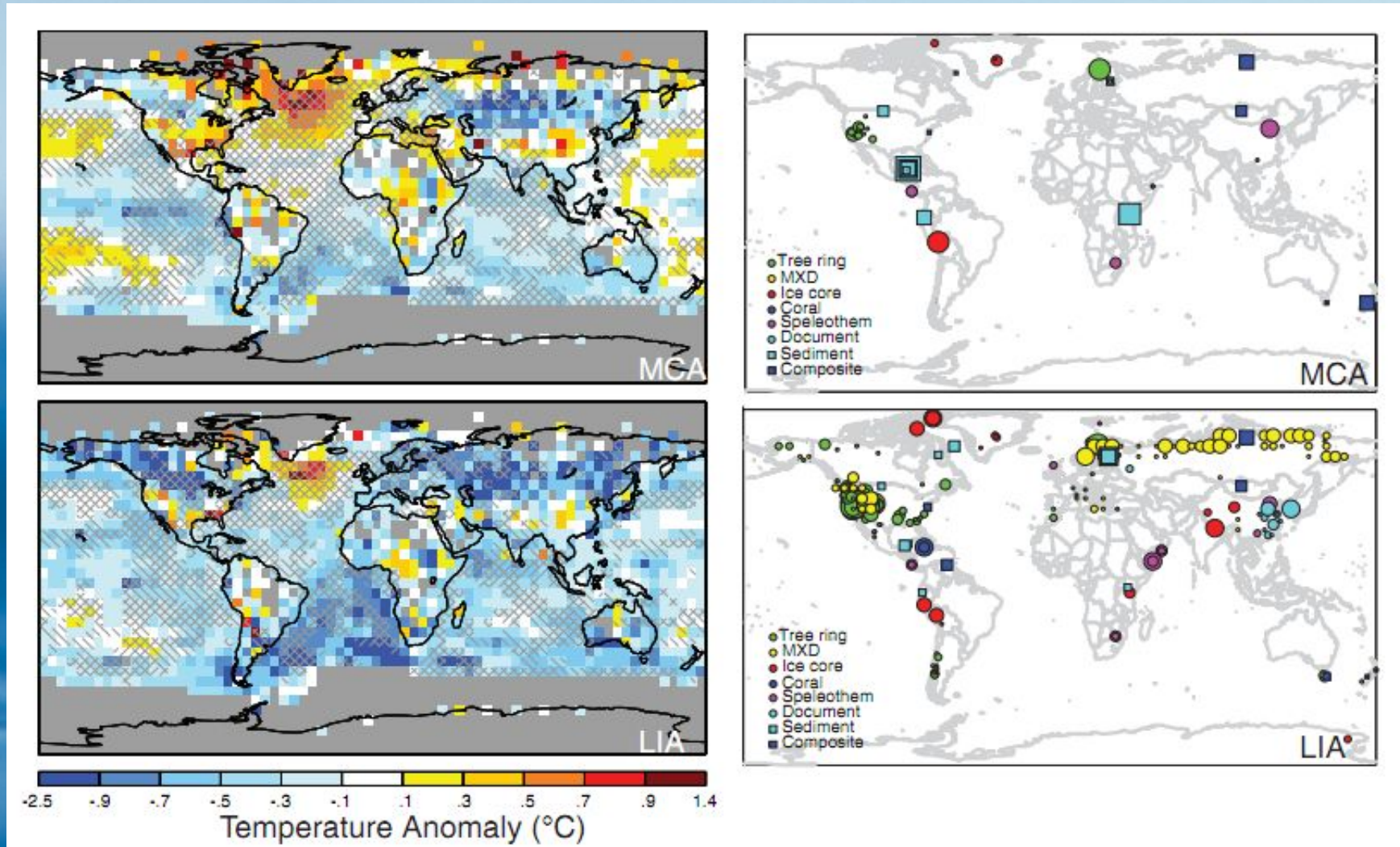
ENSO w ostatnim tysiącleciu



Zmienność sezonowa temperatur ($\delta^{18}\text{O}$) korali kopalnych z Palmyry wskazuje na występowanie ENSO praktycznie niezależnie od zmienności temperatury i oświetlenia.

Cobb et al. 2003 (Nature)

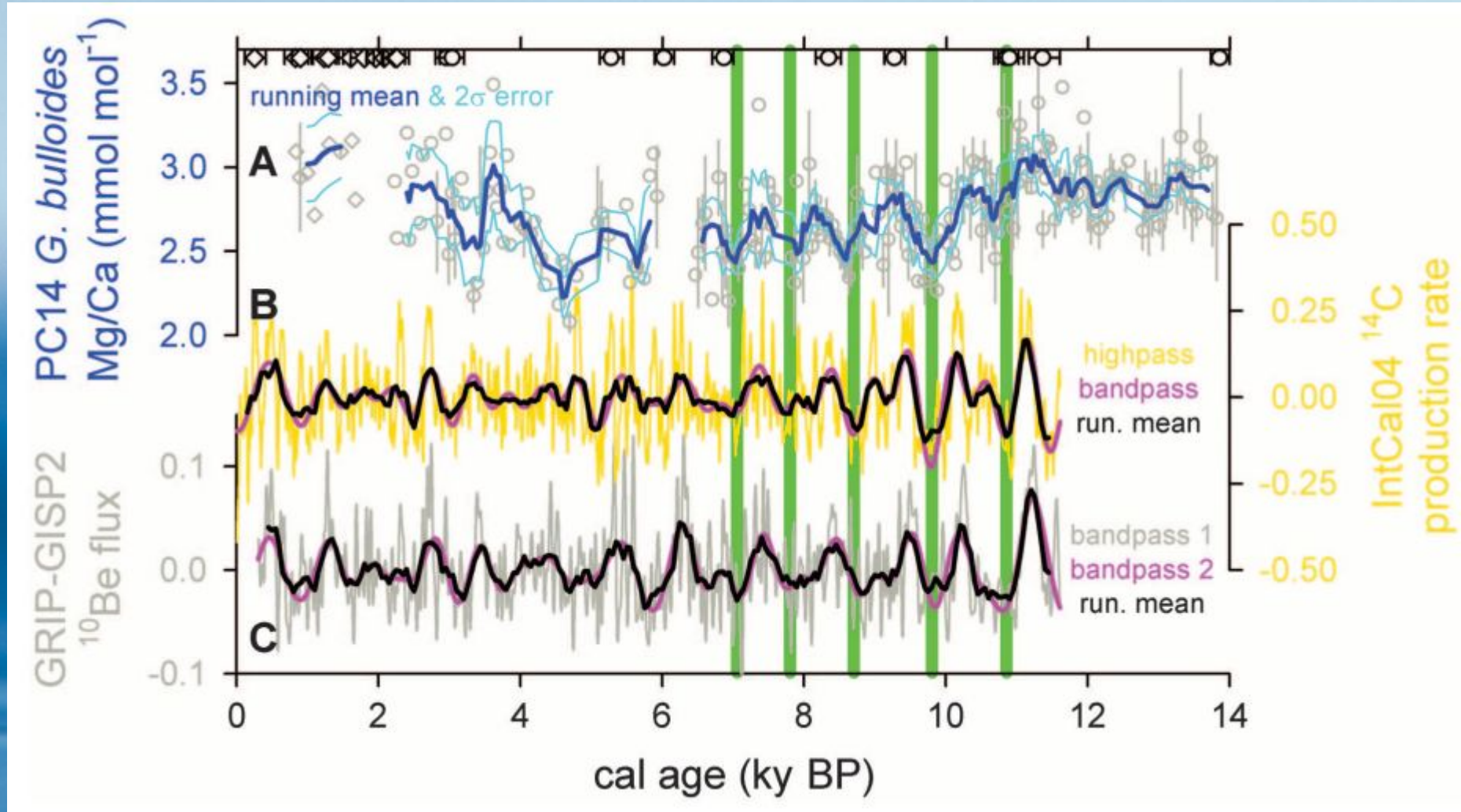
Przypomnienie: anomalia średniowieczna i mała epoka lodowa



Na podstawie istniejących proxy (po prawej) Mann i inni 2009 odważyli się zrekonstruować globalnie MCA (na górze) i LIA (na dole). Rekonstrukcja wskazuje na silny element zmian THC oraz na zimny wschodni tropikalny Pacyfik (permanentna La Niña) w średniowieczu oraz na ogólne oziębienie (szczególnie kontynentów) w XVII-XIX wieku.

Mann et al 2009 (Science)

Związek ENSO z aktywnością Słońca



Wykres pokazuje związek stosunku koncentracji Mg/Ca w skorupkach otwornic (proxy temperatury wody morskiej) koło Baja California (o zmienności zdominowanej współcześnie przez ENSO) z ^{14}C ze słoi drzew i ^{10}Ba z rdzeni lodowych Grenlandii (oba proxy aktywności słońca – o odwróconym znaku!). Zatem większej aktywności słońca odpowiada zimniejsze ENSO (przewaga La Ninii nad El Nino). *Marchitto et al 2010 (Science)*

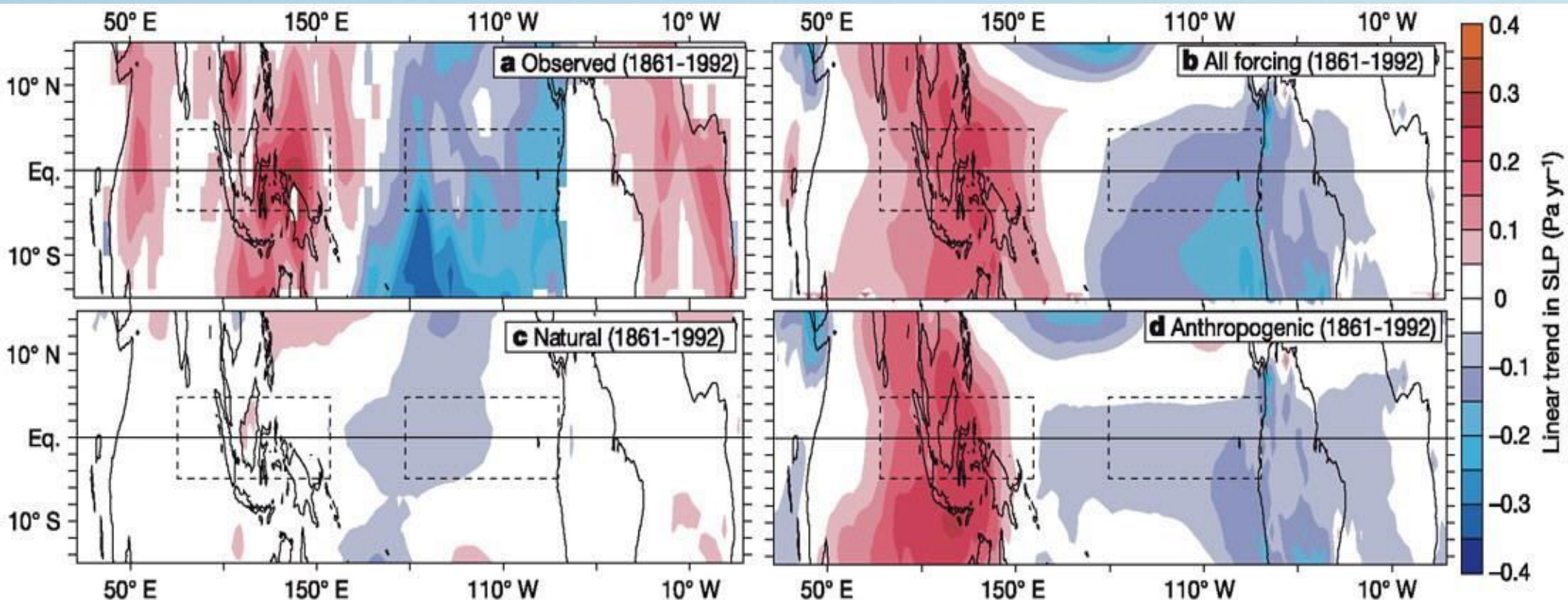
Czy jest jakiś schemat ogólny przewagi El Nino lub La Ninii w historii klimatu?

Wydaje się, że oprócz nieustanego El Nino w znacznie cieplejszym pliocenie, widać wyraźny schemat w tej zmienności:

Cieplejsza półkula północna odpowiada zimniejszemu ENSO (przewadze La Ninii) i odwrotnie. Pasuje tu także odwrotna zależność tego cyklu od aktywności słońca półkula północna bardziej zmienia swoją temperaturę przy zmianach temperatury rzędu dziesiątek (a nawet setek lat) gdyż zawiera więcej kontynentów szybciej zmieniających temperaturę niż oceany.

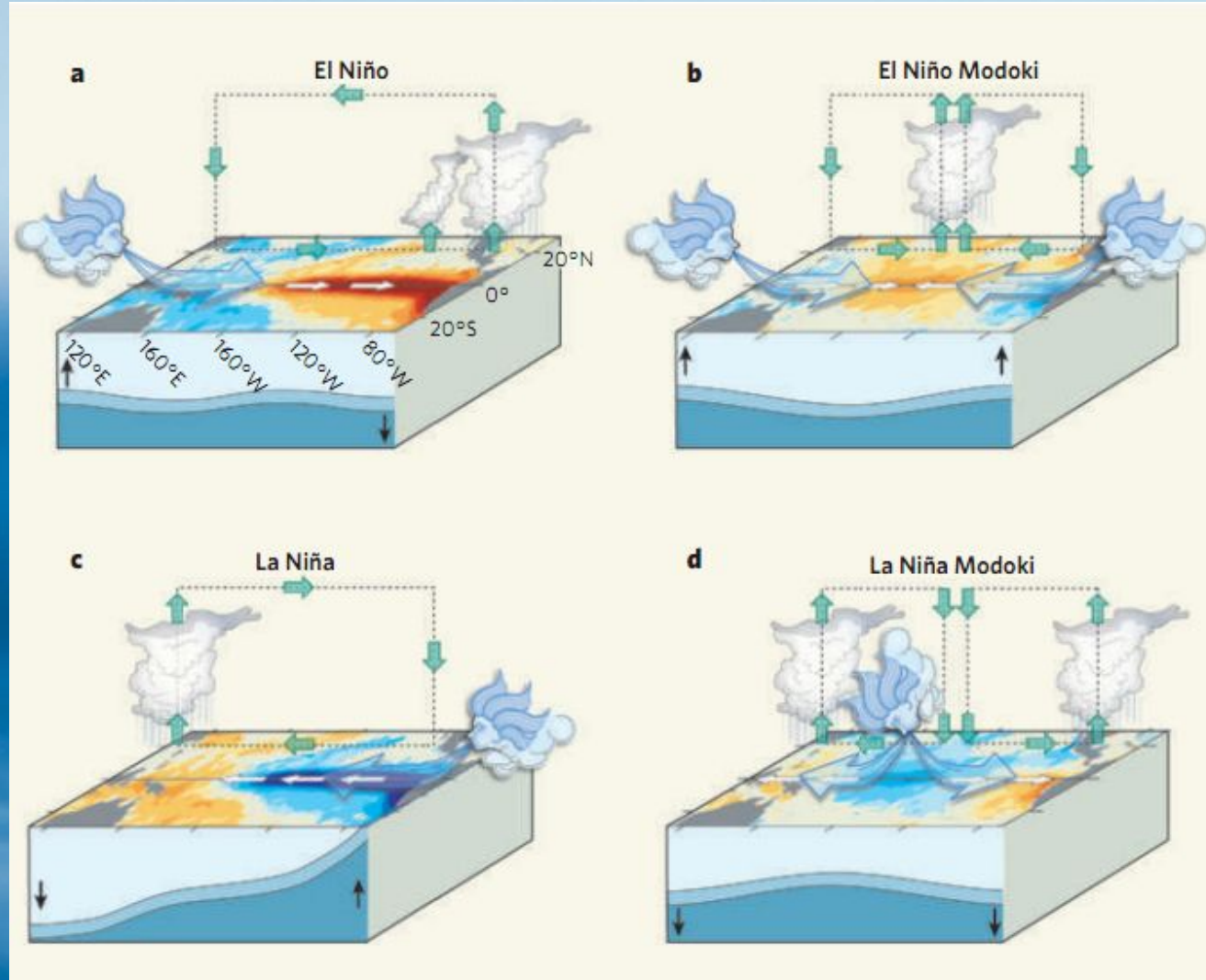
Jeśli tak to mechanizmem tłumaczącym te zmiany byłoby (aj zwykle!) przesuwanie się konwergencji międzylatwrotnikowej (ITCZ) w stron cieplejszej półkuli i spowodowanej tym zmiany położenia pasatów. Niestety nie ma jeszcze w literaturze artykułów na ten temat...

Zmiany cyrkulacji tropikalnej



W ciągu ostatnich 100+ lat różnice ciśnienia napędzające cyrkulację Walkera zmalały o 2.5 – 3 % (panel a). Zmianę tę daje się wymodelować (b). Widoczne jest że nie naturalne wymuszania (c) ale wpływ antropogeniczny (d) odpowiedzialny jest za zmiany cyrkulacji w troposferze.

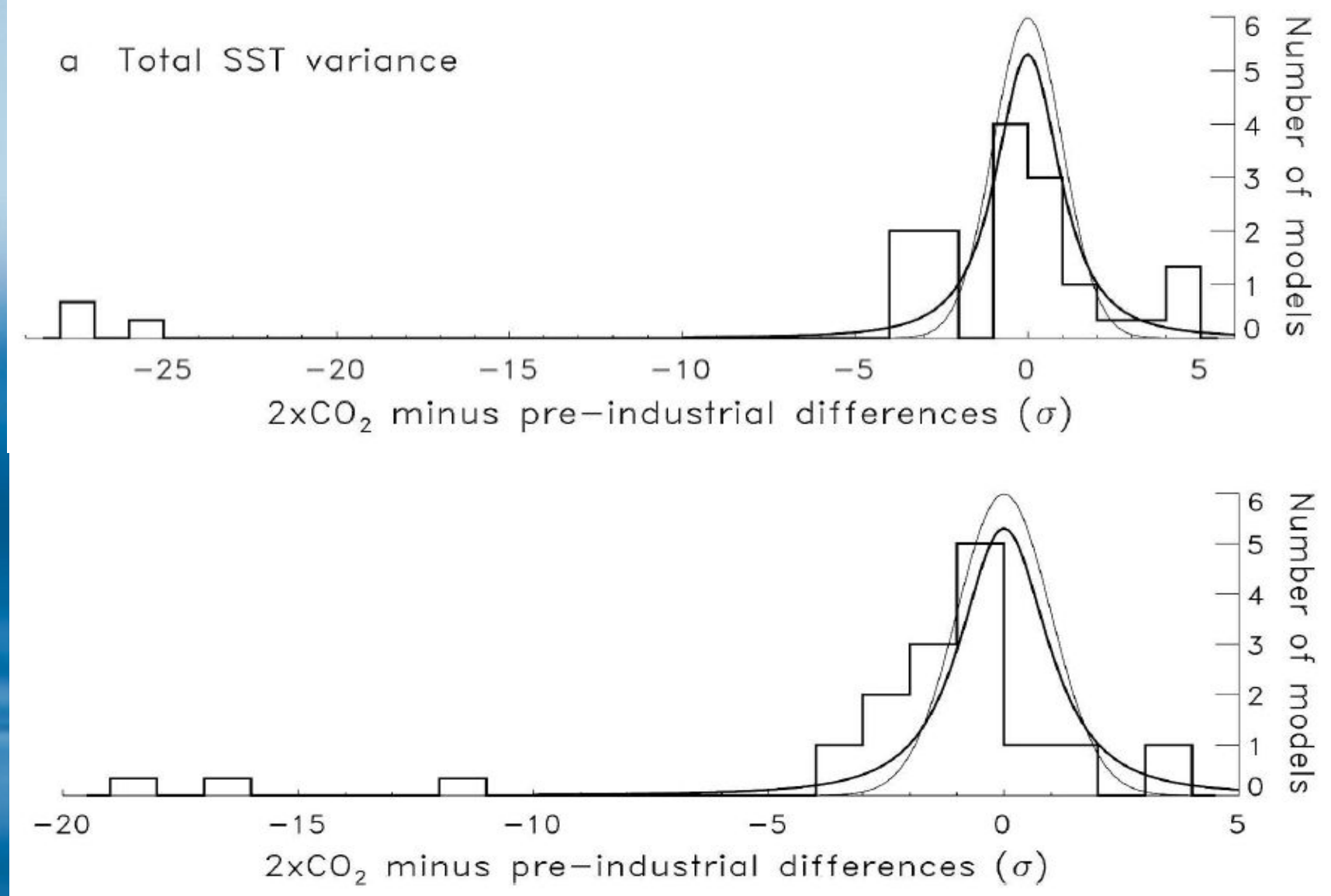
Nowa forma ENSO: El Niño (i La Niña) Modoki



Ashok (2007) wykrył w danych historycznych odmienny cykl, którego ciepła faza wiąże się z ociepleniem Centralnego (zamiast Wschodniego) Pacyfiku. Nazwał ją El Niño Modoki a odwrotna fazę La Niña Modoki. Modoki znaczy po japońsku “podobny ale inny”. Najnowsze El Niño Modoki wystąpiły w 2002 i 2004

Ashok & Yamagata 2009 (Nature)

Jak zatem zachowa się ENSO w świecie cieplarnianym?



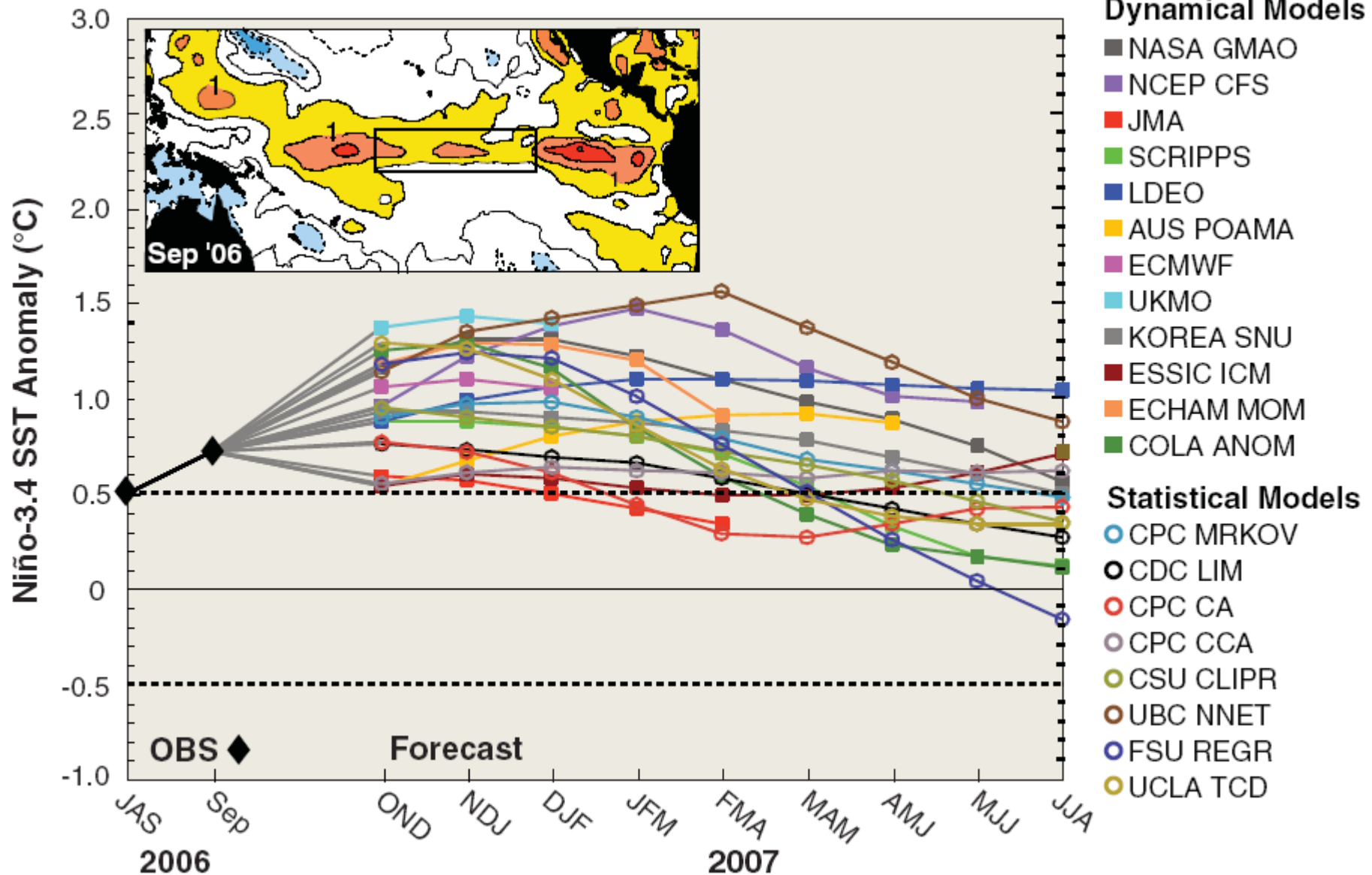
Zmienność (na górze) i okres ENSO (na dole) nie ulega zmianie w świecie podwojonego CO₂: uśredniony wynik z 15 modeli klimatycznych.

Na ile jednak możemy im wierzyć?

Merryfield 2006 (Journal of Climate)

Prognozowanie ENSO

Model Forecasts of ENSO



Prognoza ENSO na rok 2007 przy pomocy 20 modeli klimatycznych.
Czy się sprawdzi w marcu?

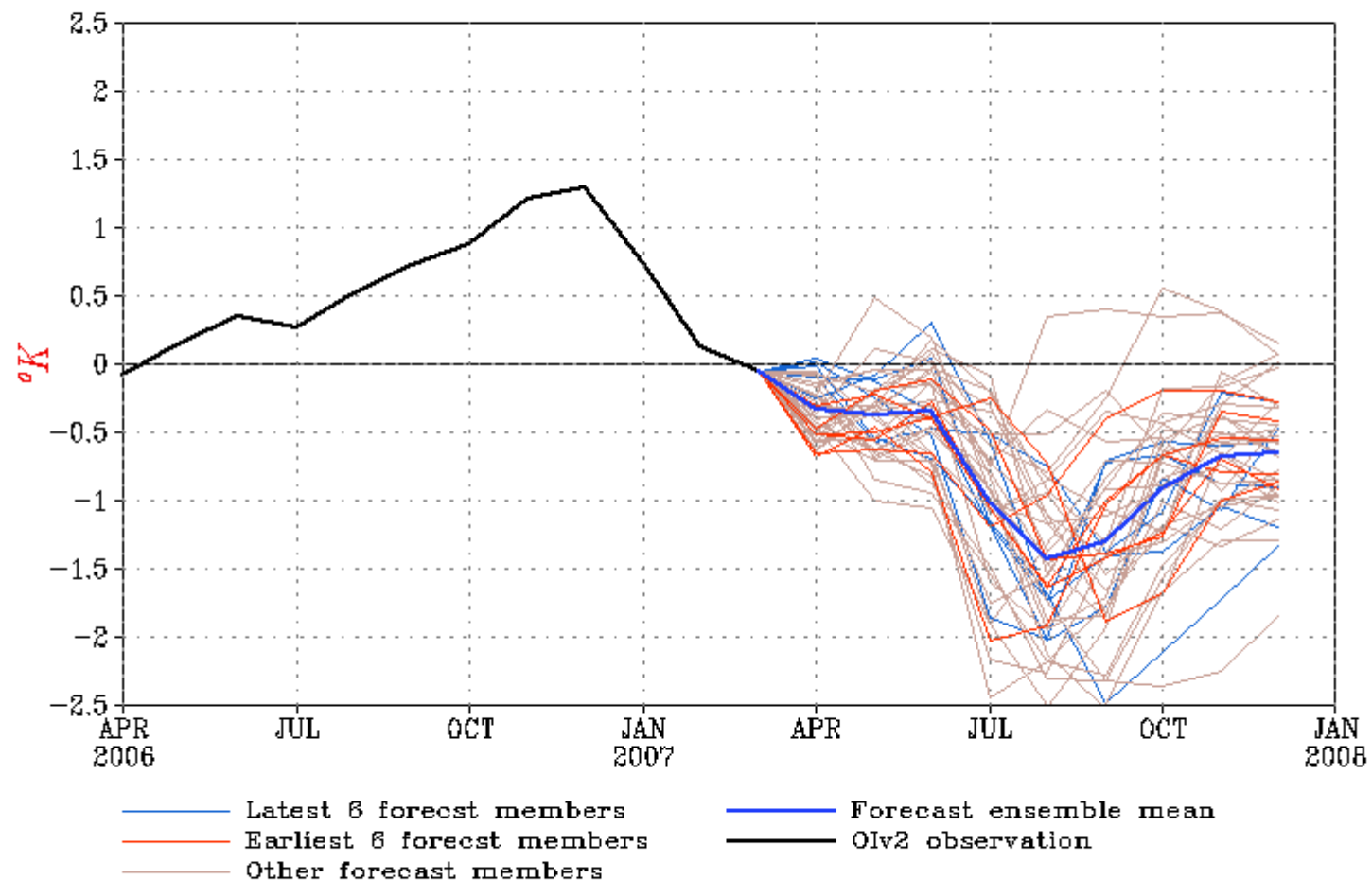
McPhaden, Zebiak & Glantz 2006 (Science)



NWS/NCEP

Last update: Fri Mar 30 2007
Initial conditions: 3Mar2007–22Mar2007

Forecast Niño3.4 SST anomalies from CFS



Jak widać jest dobrze, chociaż nie beznadziejnie.
Zerowej wartości w marcu nie przewidział żaden z 20 modeli.

Podsumowanie 1/3

- ENSO (El Niño Southern Oscillation) jest oscylacją systemu ocean-atmosfera tropikalnego Pacyfiku o okresie 2-7 lat
- Faza ciepła (El Niño) wiąże się z osłabieniem cyrkulacji Walkera, pasatów, upwellingu zimnej wody przy wybrzeżach Ameryki Południowej, monsunu azjatyckiego, huraganów na Atlantyku i Pacyfiku, natomiast zimna (La Niña) przywraca stan dawniej uważany za „normalny”.
- Wpływ ENSO wyczuwalny jest na dużej części planety i stanowi największe źródło zmienności o okresie dłuższym niż rok.
- W plejstocenie ($>3\text{Ma}$) panowało nieustające El Niño. Pozostałych okresach zwykle cieplejsza półkula północna odpowiadała przewadze La Ninii (zimnej fazy) i na odwrót.
- Nie da się na razie przewidzieć czy ENSO zmieni swoją aktywność w przyszłym świecie cieplarnianym.

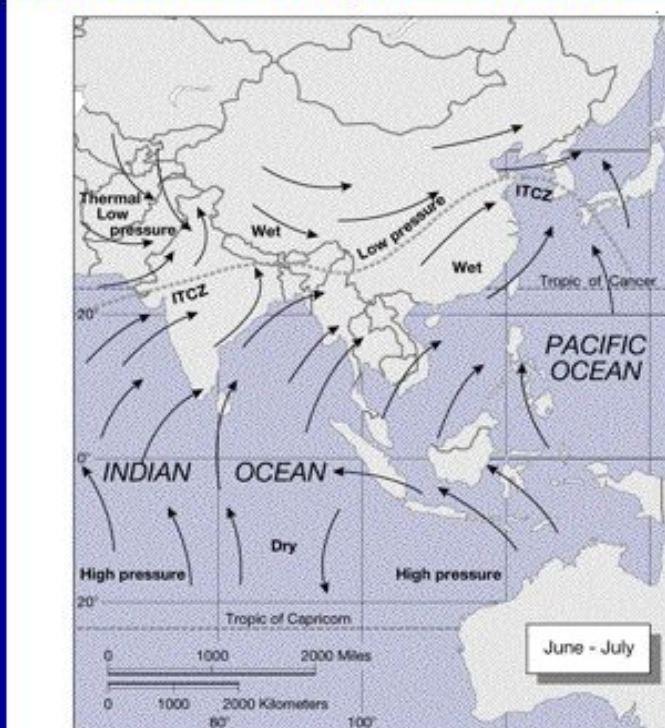


Wylew San Diego River podczas El Niño Modoki w 2005 roku

Monsuny: bryza o cyklu rocznym

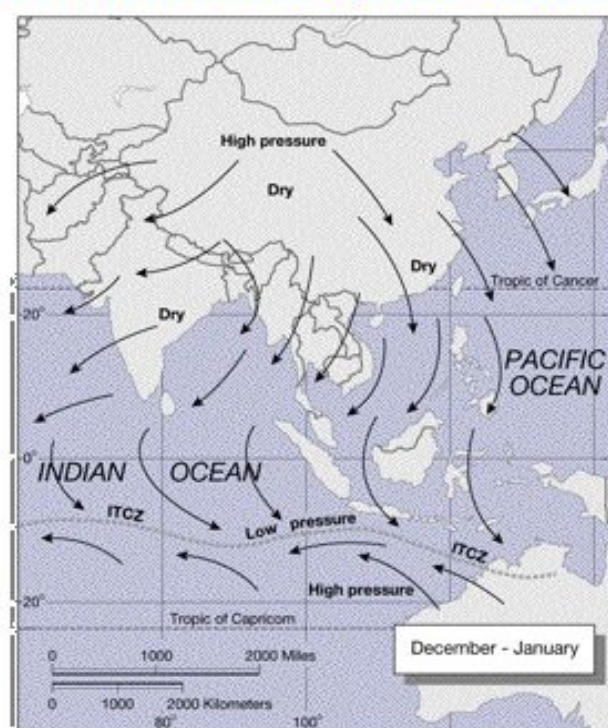
Monsoons - the ultimate in seasonal variability

Northern hemisphere summer



(a)

Northern hemisphere winter

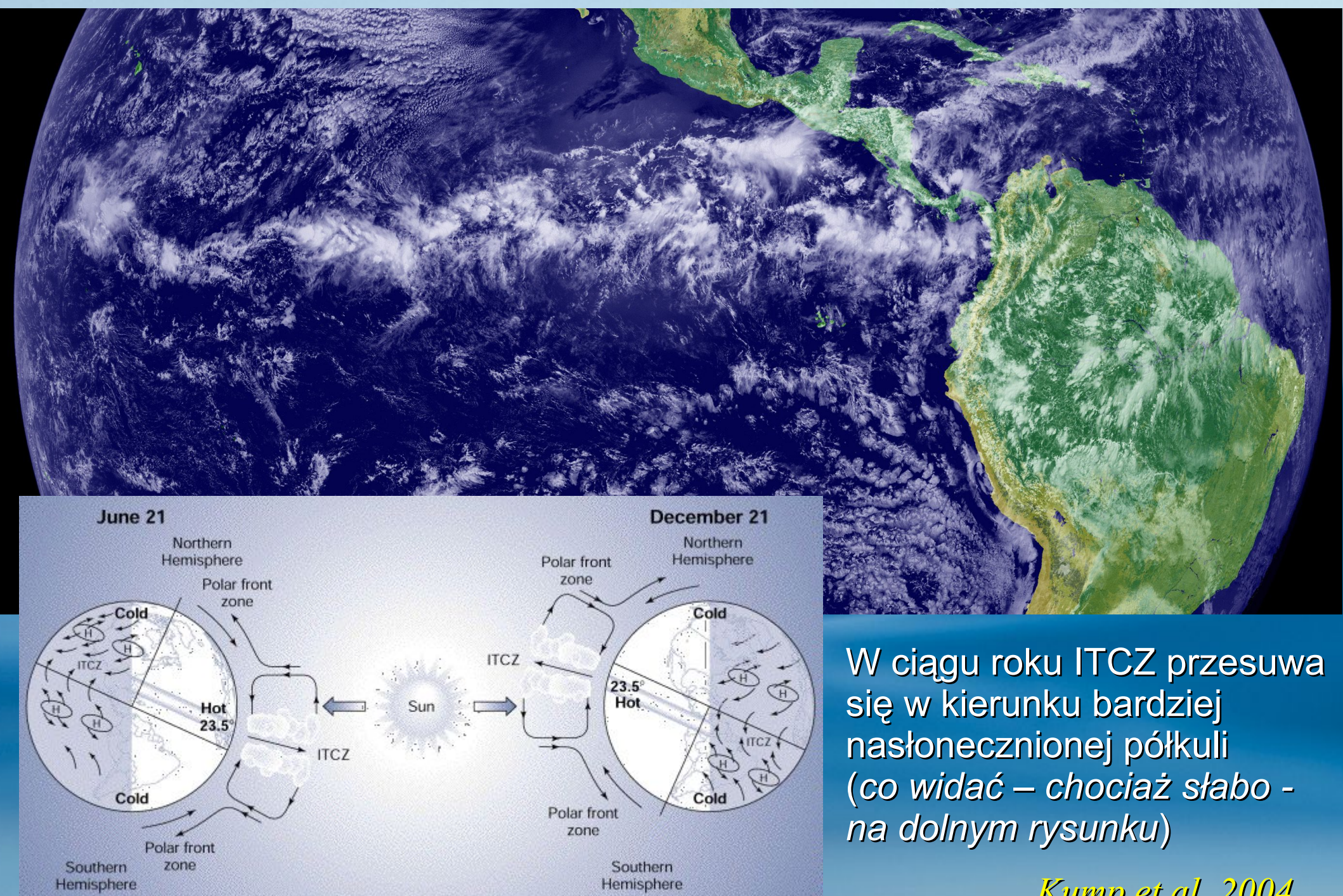


(b)

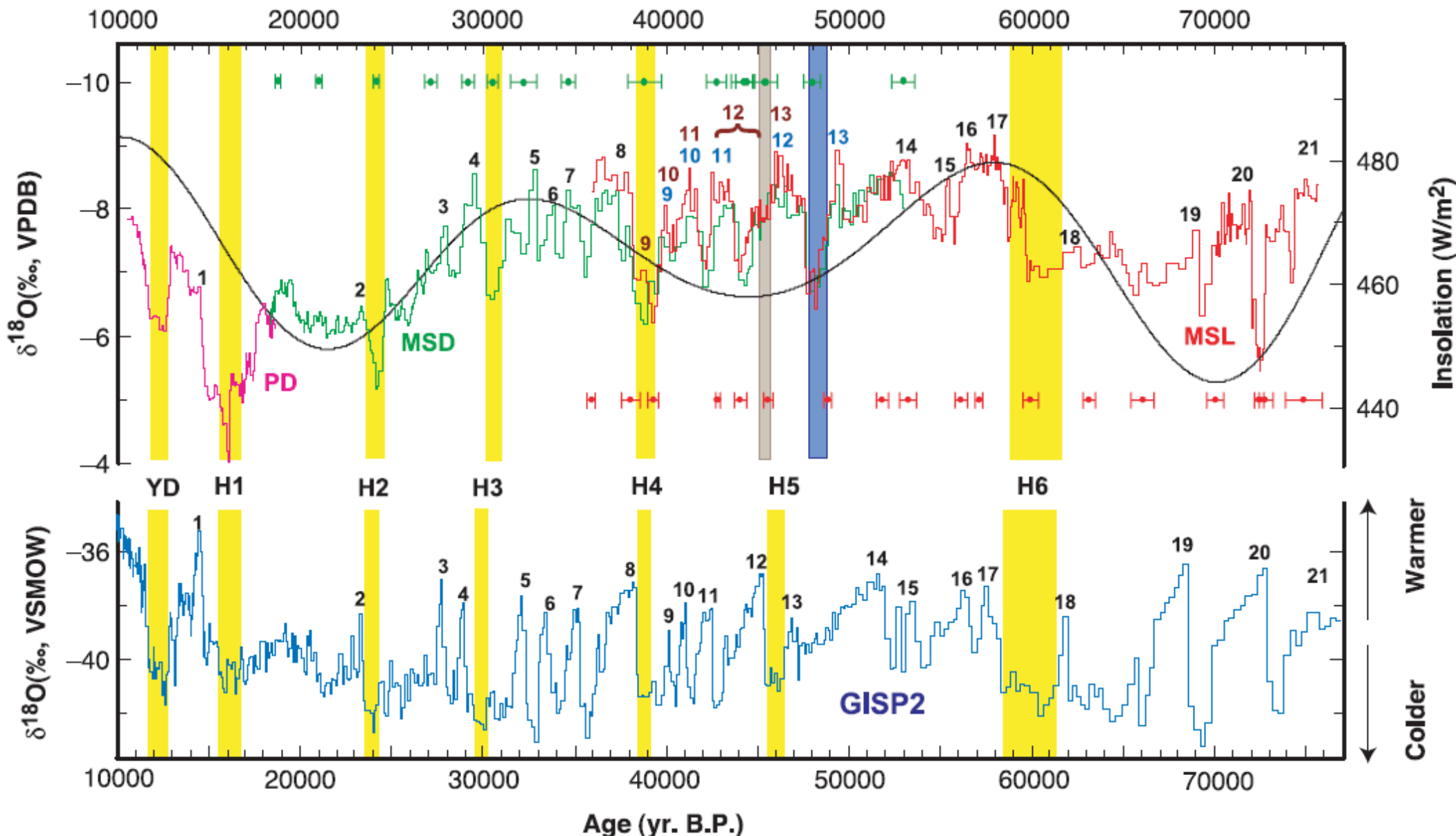
Copyright © 2004 Pearson Prentice Hall, Inc.

Monsuny działają jak bryza: wieją w kierunku gorącego lądu latem i od wyzieńbionego zimą. Stanowią drugi obok cyrkulacji termohalinowej łącznik klimatyczny między półkulą północną i południową.

Tropikalna Strefa Konwergencji



Od czego zależy siła monsunu?



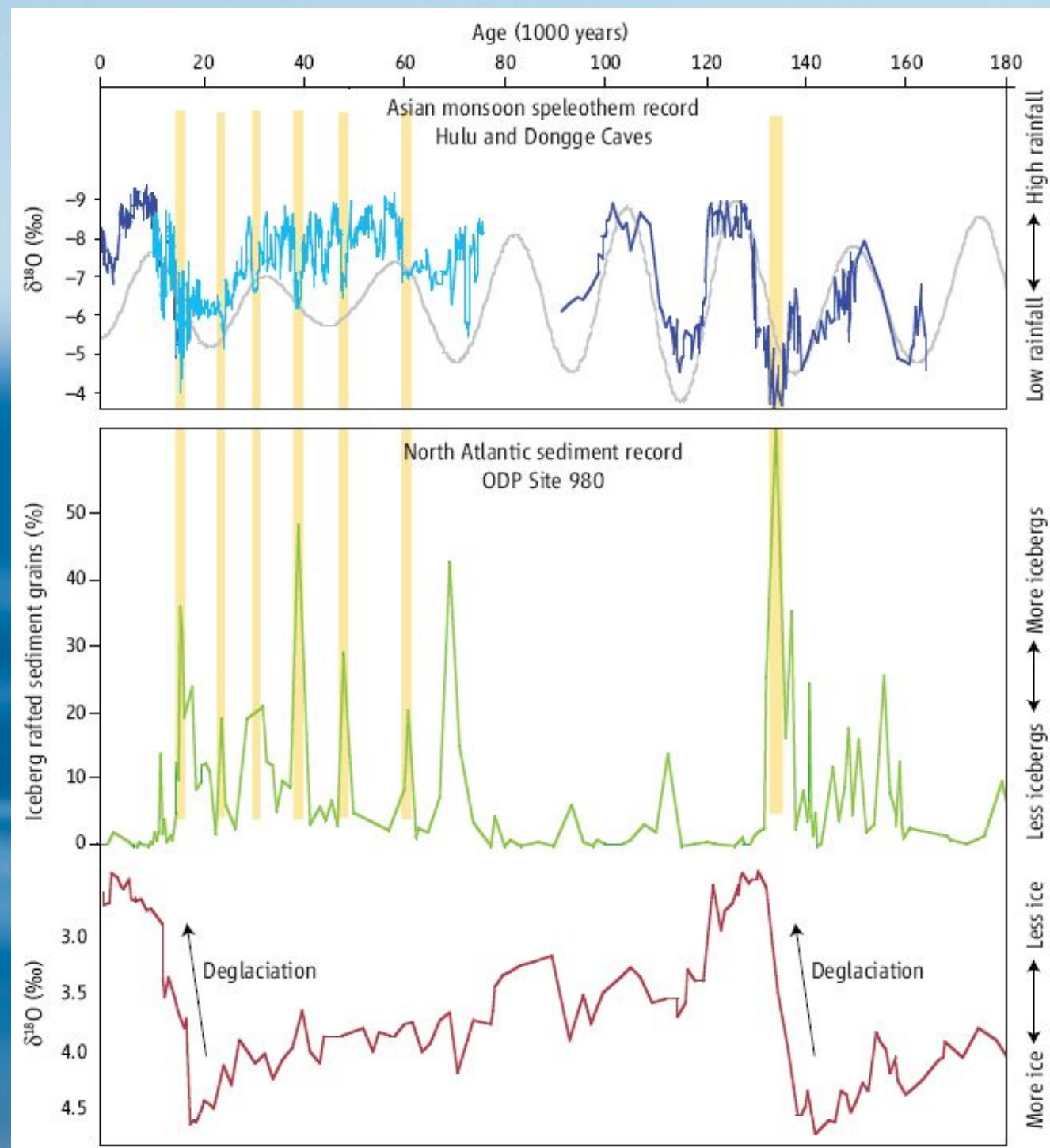
Izotopy tlenu stalagmitów z jaskini Hulu (Chiny) pokazują, że siła monsunu zależy jednocześnie od THC i nasłonecznienia półkuli północnej.

Wang et al. 2001 (Science)

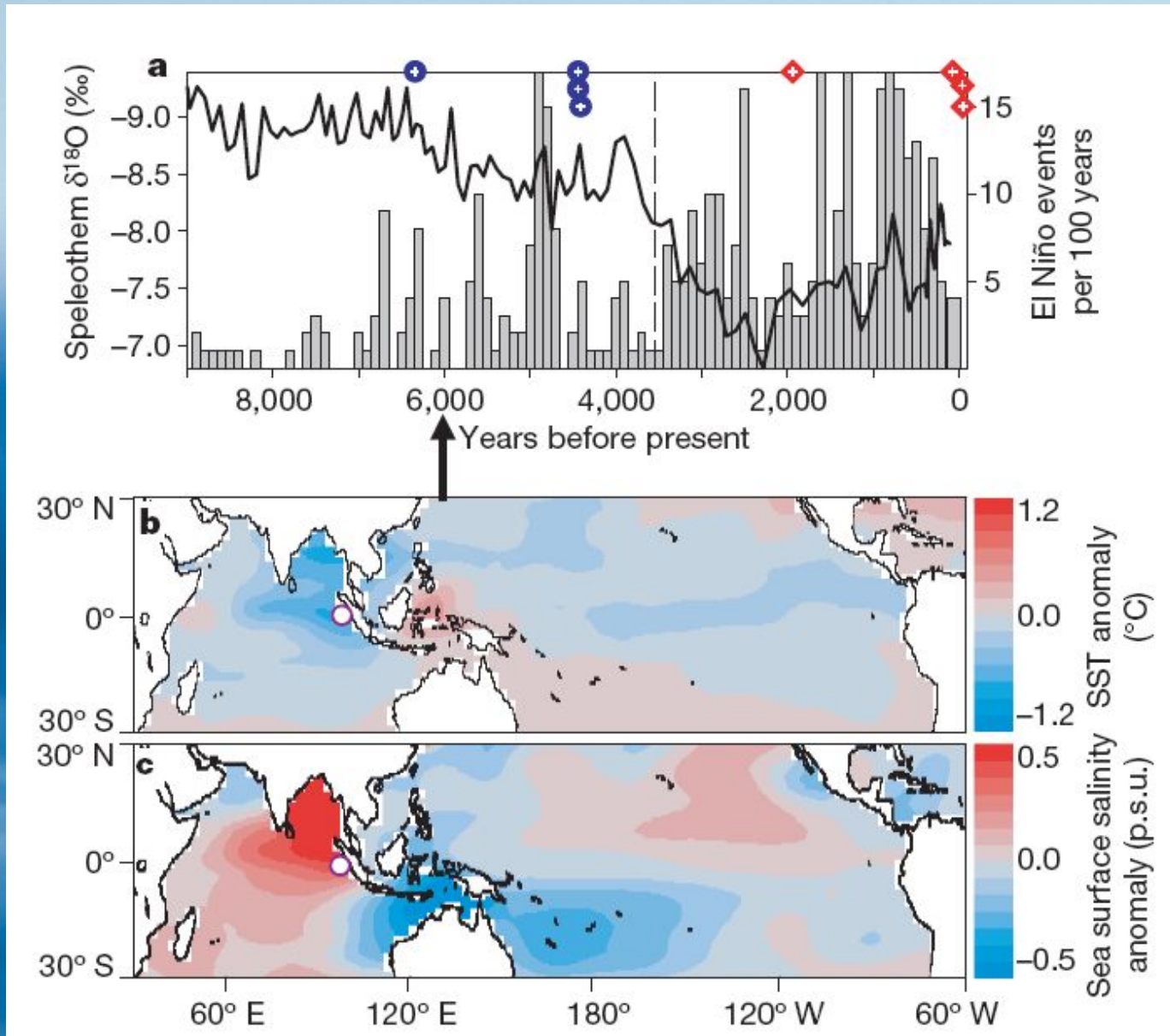
THC i słońce...

Nieco dłuższa skala czasowa, ale te same wnioski:

Intensywność monsunu zależy jednocześnie od nasłonecznienia półkuli północnej o od intensywności cyrkulacji termohalinowej (THC).



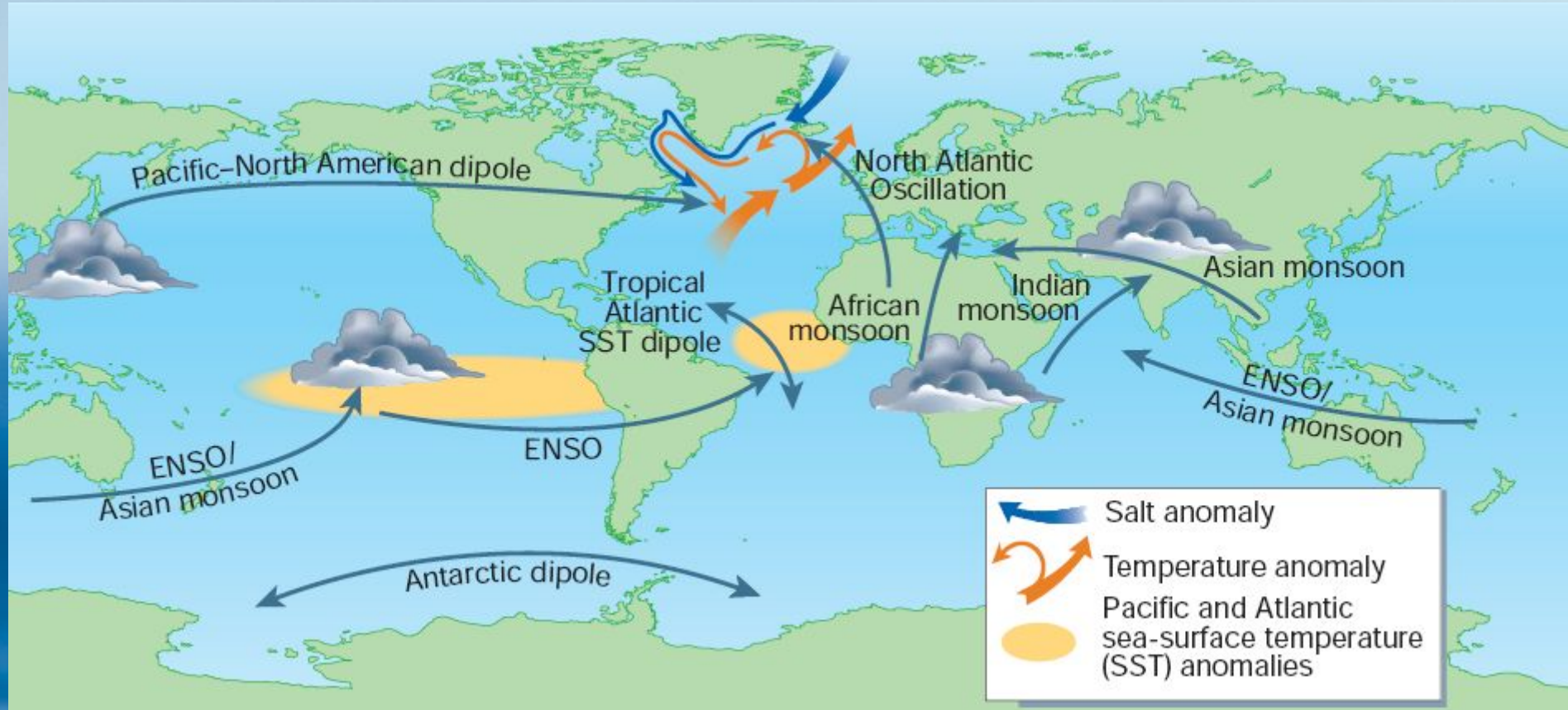
Monsun (i ENSO) w holocenie



Intensywność monsunów i ENSO ewoluowała w holocenie w przeciwnych kierunkach. Na dole: rekonstrukcja temperatury i zasolenia 6000 lat temu (zmiany w stosunku do stanu dzisiejszego).

Abram et al. 2007 (Nature)

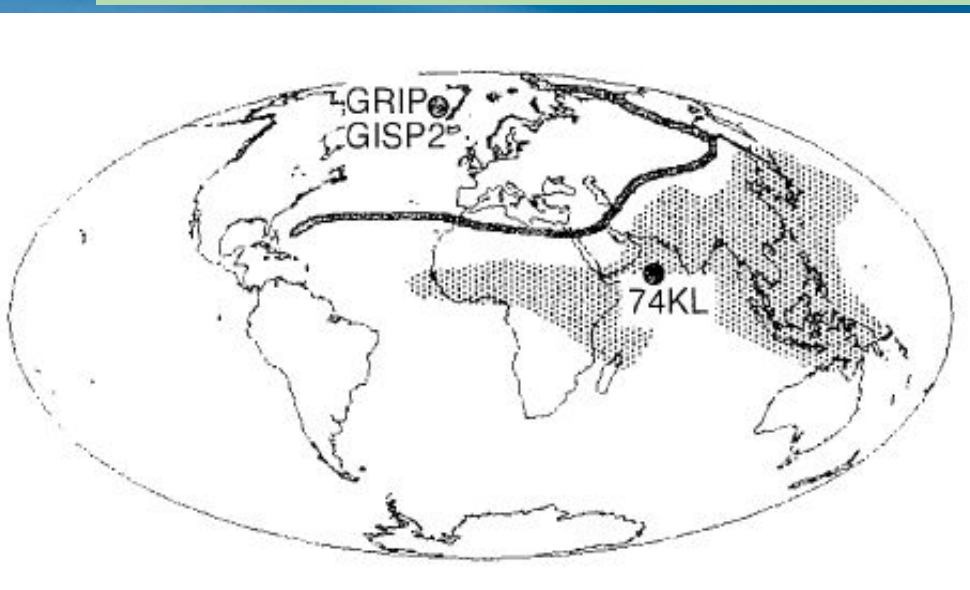
“Telekonekcje” klimatyczne



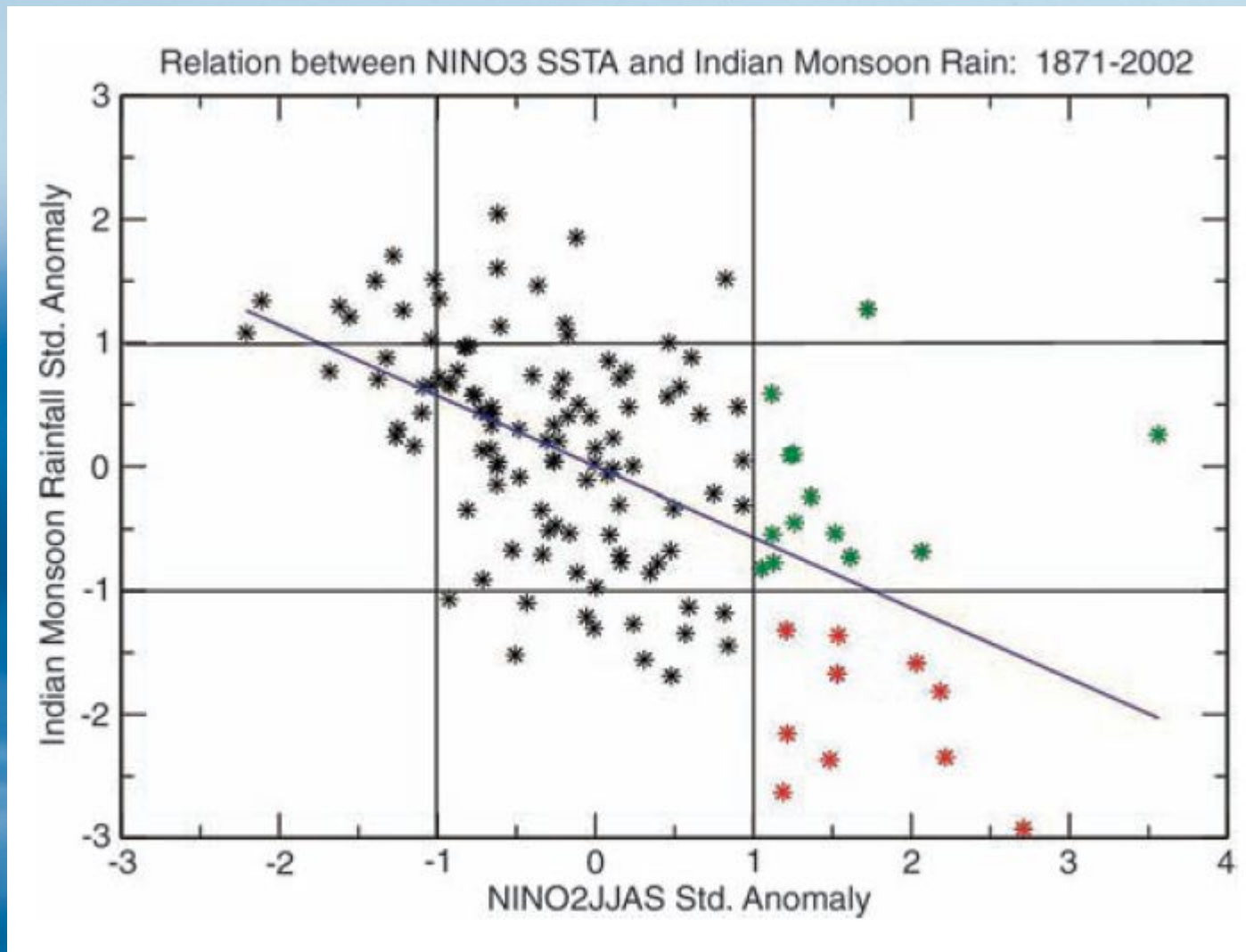
Wpływ THC na monsun łatwo wyjaśnić
(THC wpływa na temperaturę Eurazji).

Inne “telekonekcje” (powyżej) nie są już takie oczywiste: nie zawsze wiemy co jest przyczyną a co skutkiem.

Zahn 2003 (*Nature*); Sirocko et al. 1996 (*Nature*)

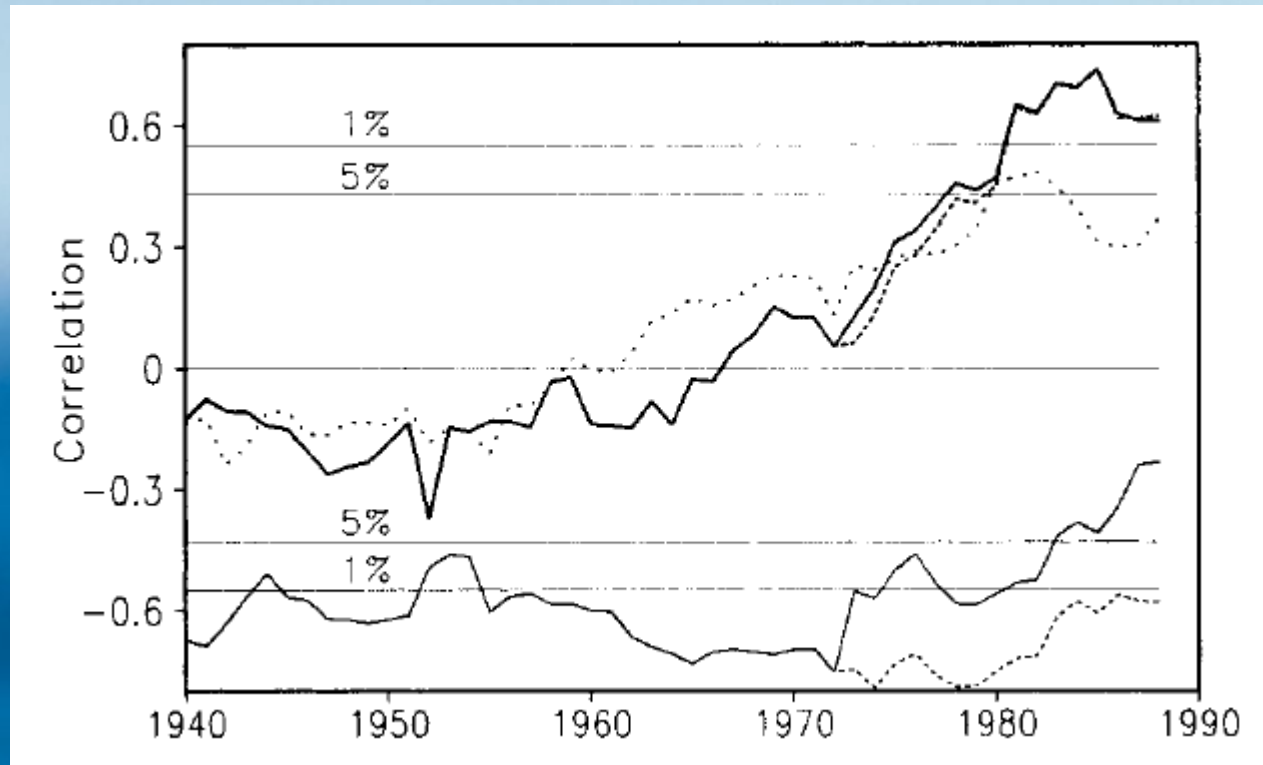


Monsun a ENSO



Wykres intensywności deszczów monsunowych w Indiach w funkcji ENSO-3 wskazuje na silną antykorelację. Duże susze (<-2) zdarzają się wyłącznie podczas fazy El Niño.

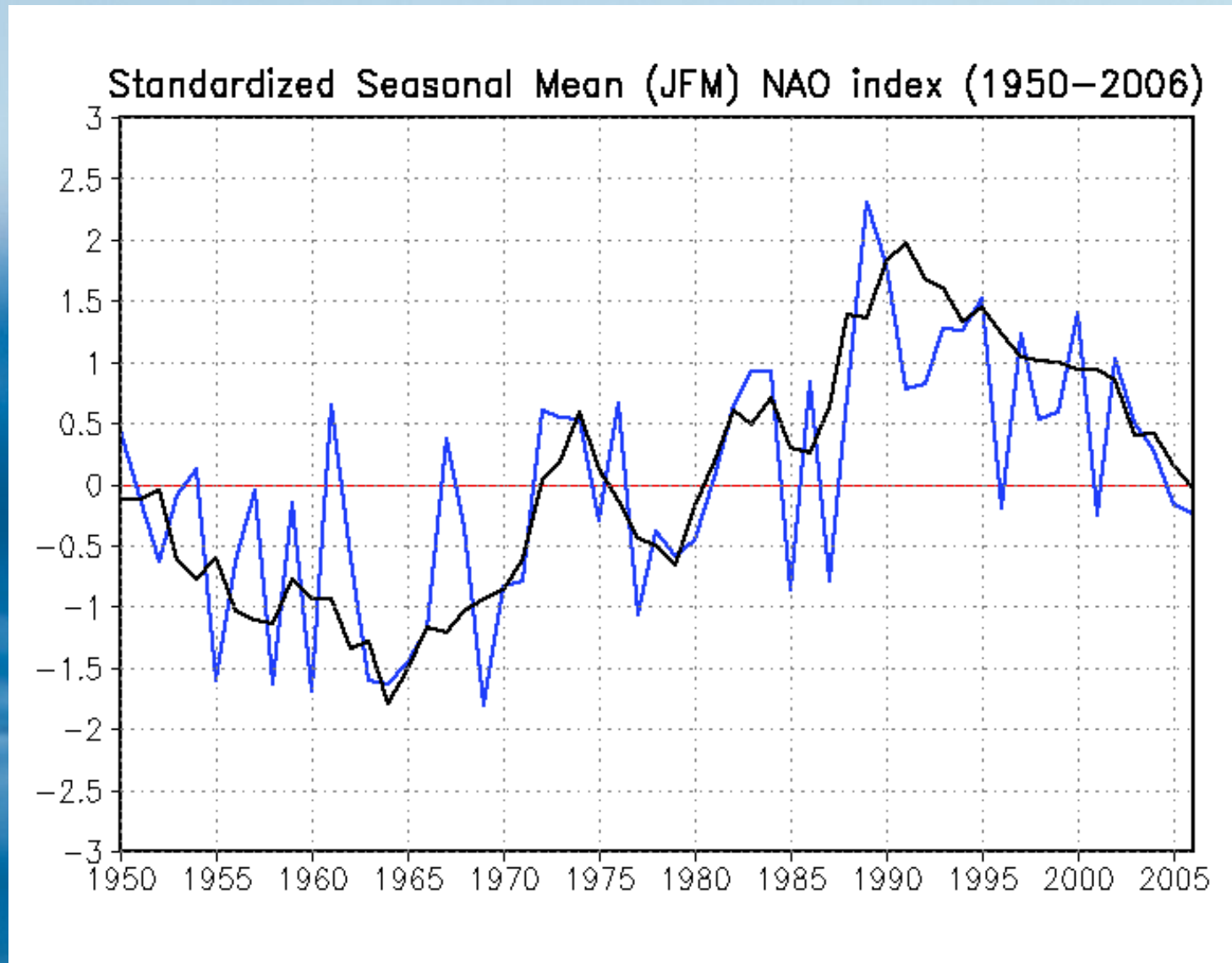
ENSO i NAO a monsun



Korelacja między opadami monsunowymi w Indiach a Nino-3 (ciemka linia i gęsto kropkowana: po odrzuceniu dwóch wyjątkowych lat 1983 i 1997), zimową temperaturą powietrza w Europie zachodniej (gruba linia) i Środkowej (kropkowana linia). Widać silną antykorelację monsunu z ENSO. Temperatura zimy w Europie koreluje w sposób statystycznie istotny (poziome linie) tylko przy dodatnim NAO. Nie jest to dziwne bo oznacza to silną cyrkulację zachodnią powodującą wpływ temperatury Europy na środkową Eurazję.

Chang, Harr & Ju 2001 (Journal of Climate)

Przypomnienie: Zimowe wartości indeksu NAO od 1950



Zwraca uwagę okres niskich wartości w latach 60-tych i wysokich w 90-tych.

10 cm

Podsumowanie 2/3

- W holocenie siła monsunu antykorelowała ze zmiennością ENSO.
- Intensywność monsunu azjatyckiego zależy od oświetlenia półkuli północnej oraz (w krótszej skali czasowej) od zmian intensywności THC (korelacje dodatnie). Spowodowane jest to wpływem obu zjawisk na letnią temperaturę kontynentalnej Euroazji.
- W jeszcze krótszej skali czasowej monsun antykoreluje z ENSO (susza podczas El Niño i silne deszcze podczas La Niña).
- Przyczyny tej (jak i innych) “telekonekcji” (zdalnych oddziaływań) klimatycznych nie są jeszcze do końca wyjaśnione. Nawet silna korelacja nie tłumaczy przyczynowości.

*Stalagmit z jaskini Dongge
(Pd. Chiny) - zapis 9000 lat
historii monsunów*



Huragany

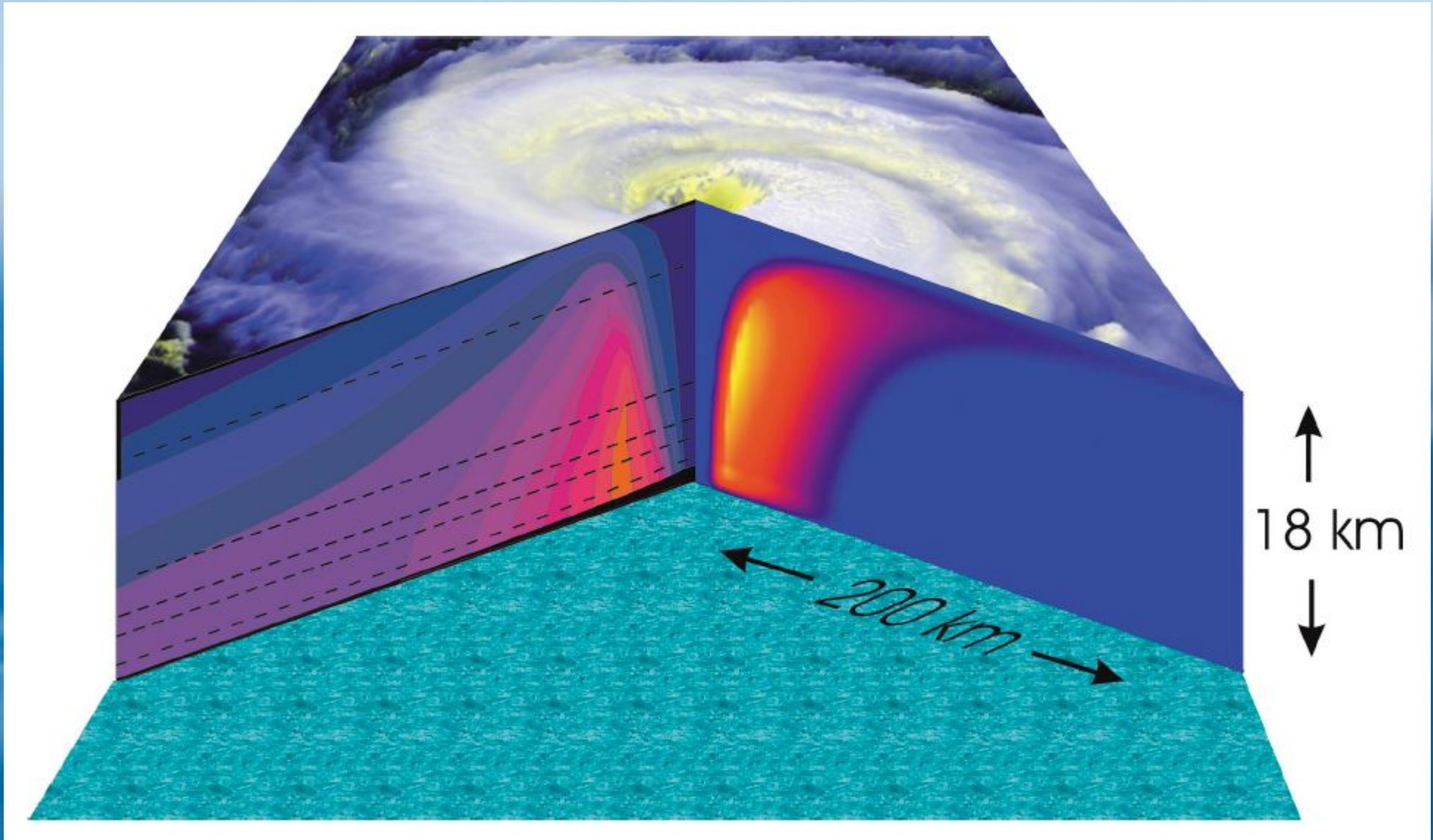
A photograph taken from the International Space Station showing a large, well-defined eye of a hurricane against a backdrop of swirling white and grey clouds. The horizon line is visible in the distance.

Skala Saffira-Simpsona:

- Sztorm tropik.: 17.5 -32 m/s
- Kategoria 1: 33–42 m/s
- Kategoria 2: 43–49 m/s
- Kategoria 3: 50–58 m/s
- Kategoria 4: 59–69 m/s
- Kategoria 5: ≥ 70 m/s

Huragany (cyklony, tajfuny), niż tropikalne o długotrwałej prędkości wiatru powyżej 33 m/s tworzą się nad tropikalnymi oceanami o temperaturze powierzchni powyżej 28° C. Nad lądem szybko zanikają. Na Atlantyku sezon huraganów to (umownie) 1 czerwca - 30 listopada.

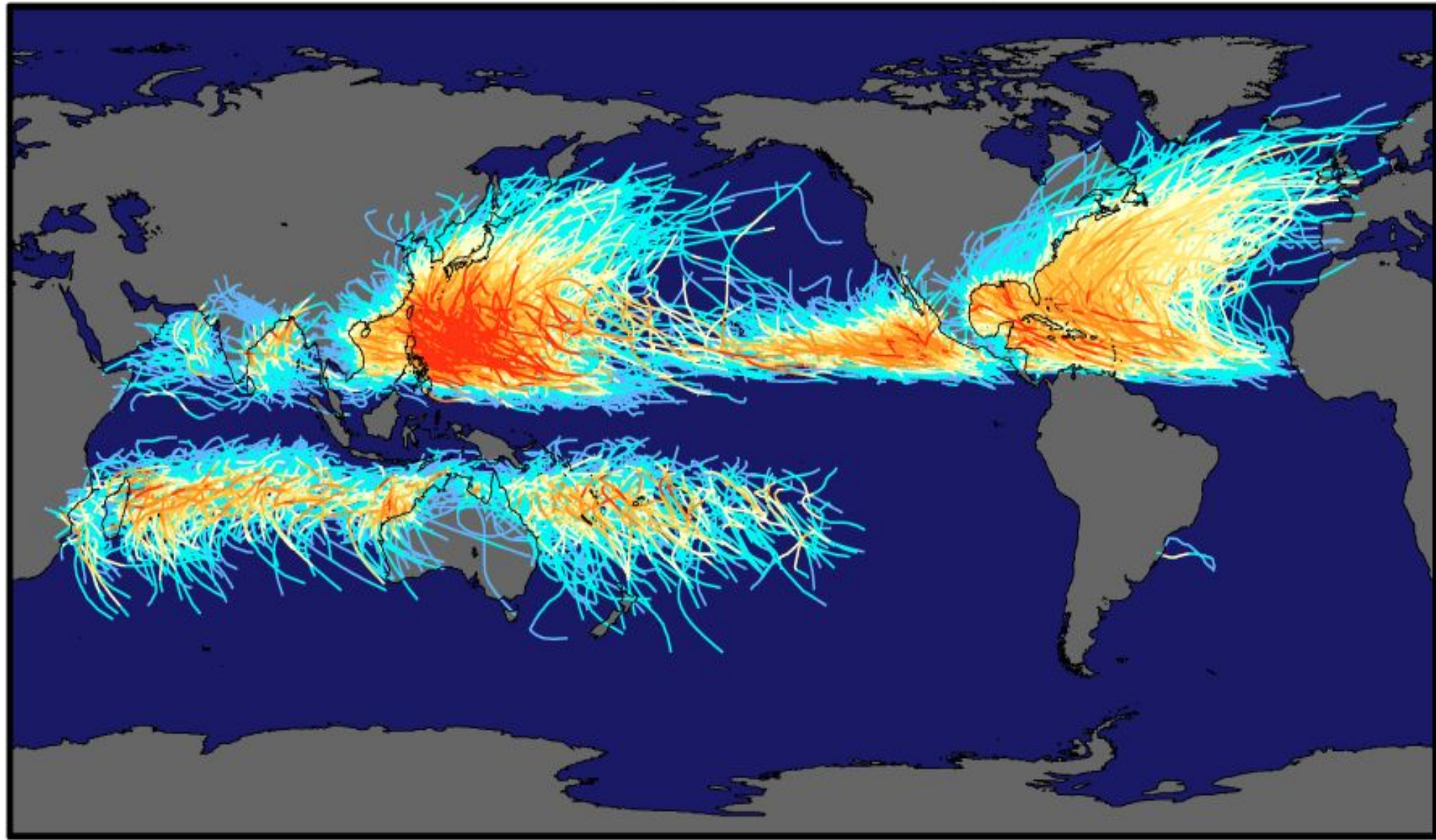
Przekrój przez huragan



Po lewej prędkości poziome (skala do 50 m/s), po prawej prędkości pionowe (czerwone do góry, niebieskie w dół)

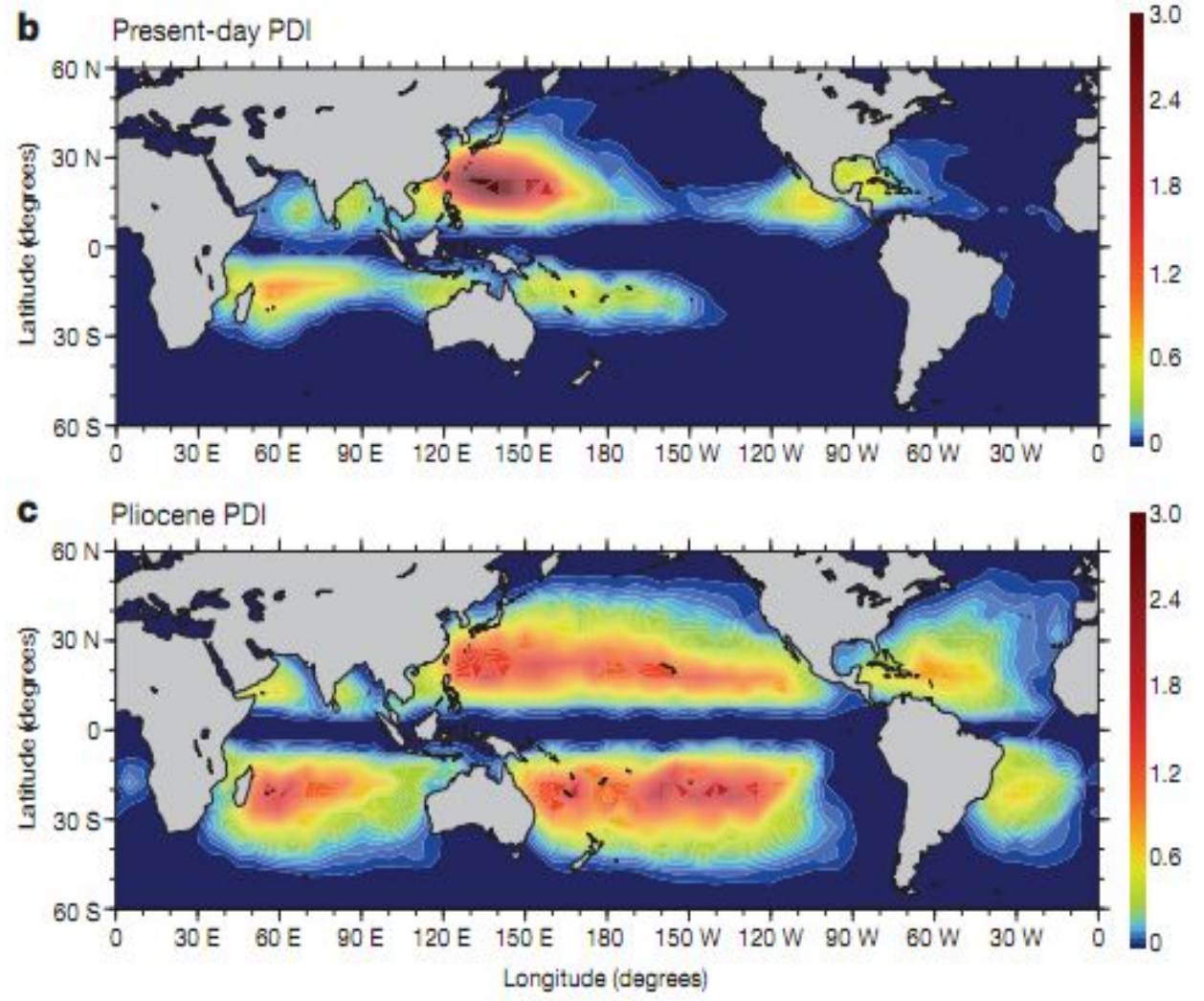
Emmanuel 2003 (Ann. Rev. Earth Planet Sci.)

Tracks and Intensity of All Tropical Storms



Saffir-Simpson Hurricane Intensity Scale

Huragany przyczyną nieustającego El Nino w plejstocenie?



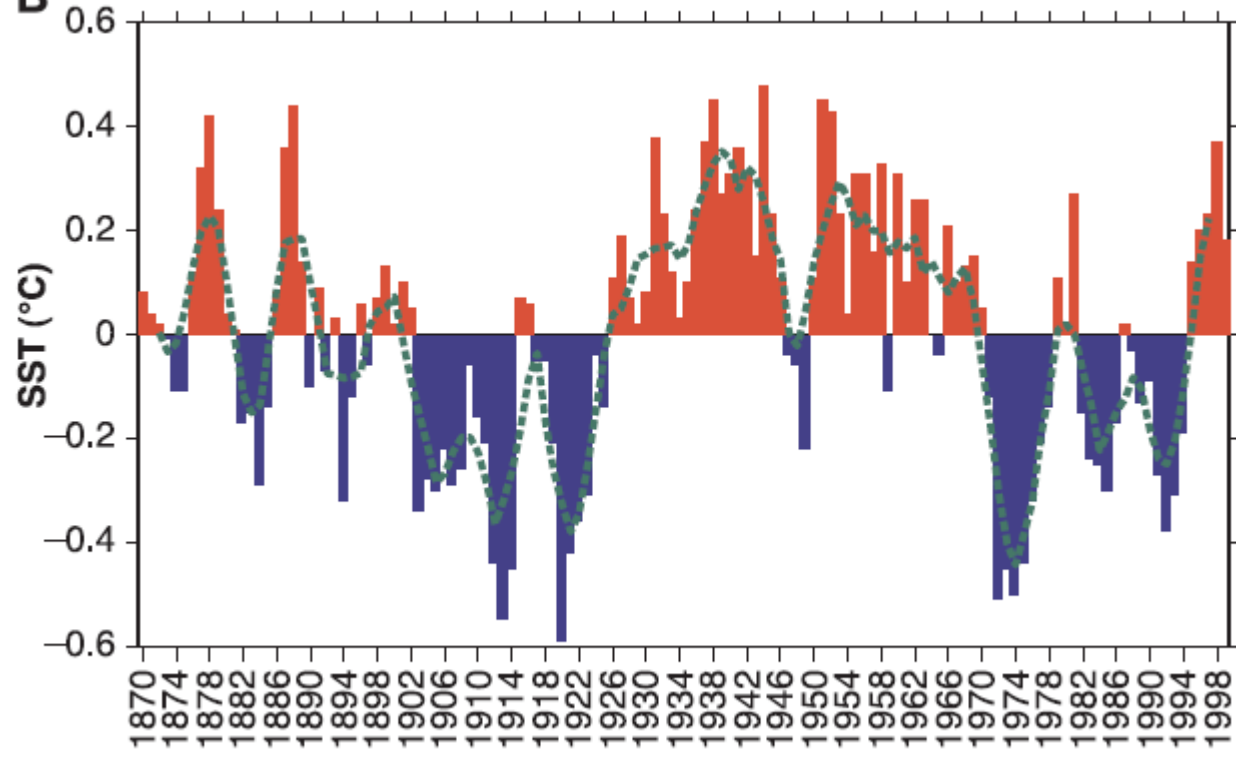
Na rysunku intensywność (PDI) huraganów współcześnie i we wczesnym plejstocenie.

Fedorov et al 2010 pokazują na wynikach modelu klimatologicznego, że zwiększone mieszanie oceanu przez huragany może doprowadzić do nieustającego El Nino. Jeśli tak to może i w świecie cieplarnianym nam to grozi?

Huragany a SST

Major Hurricanes

B



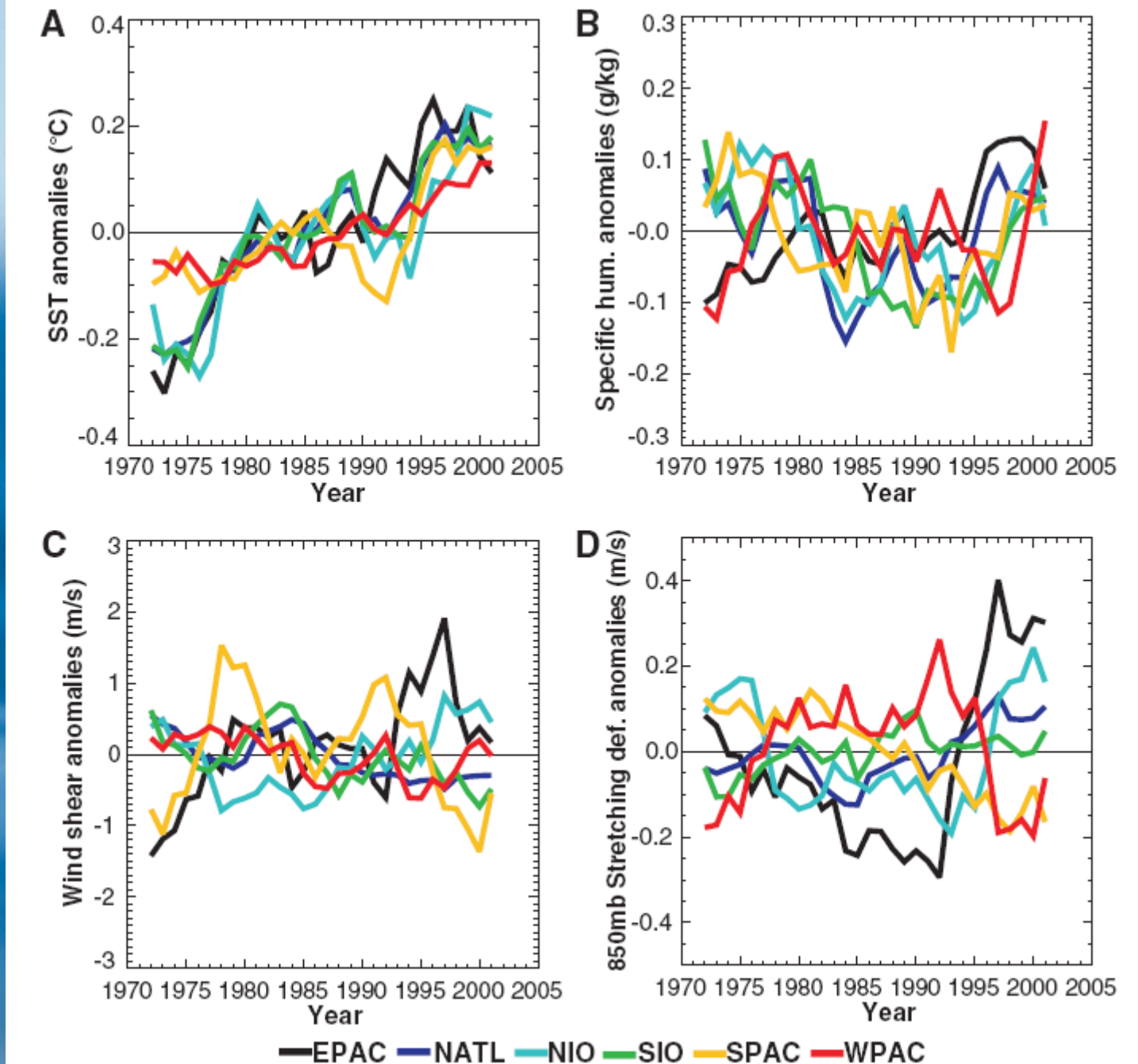
Ponieważ huragany tworzą się jedynie w wodach o temperaturze $> 28^{\circ}\text{C}$ czy ich liczna zależy od temperatury oceanu?

Ilość huraganów na Atlantyku i średnia temperatura Atlantyku północnej półkuli.

Goldenberg et al. 2001 (Science)

Huragany korelują z SST i z... niczym innym

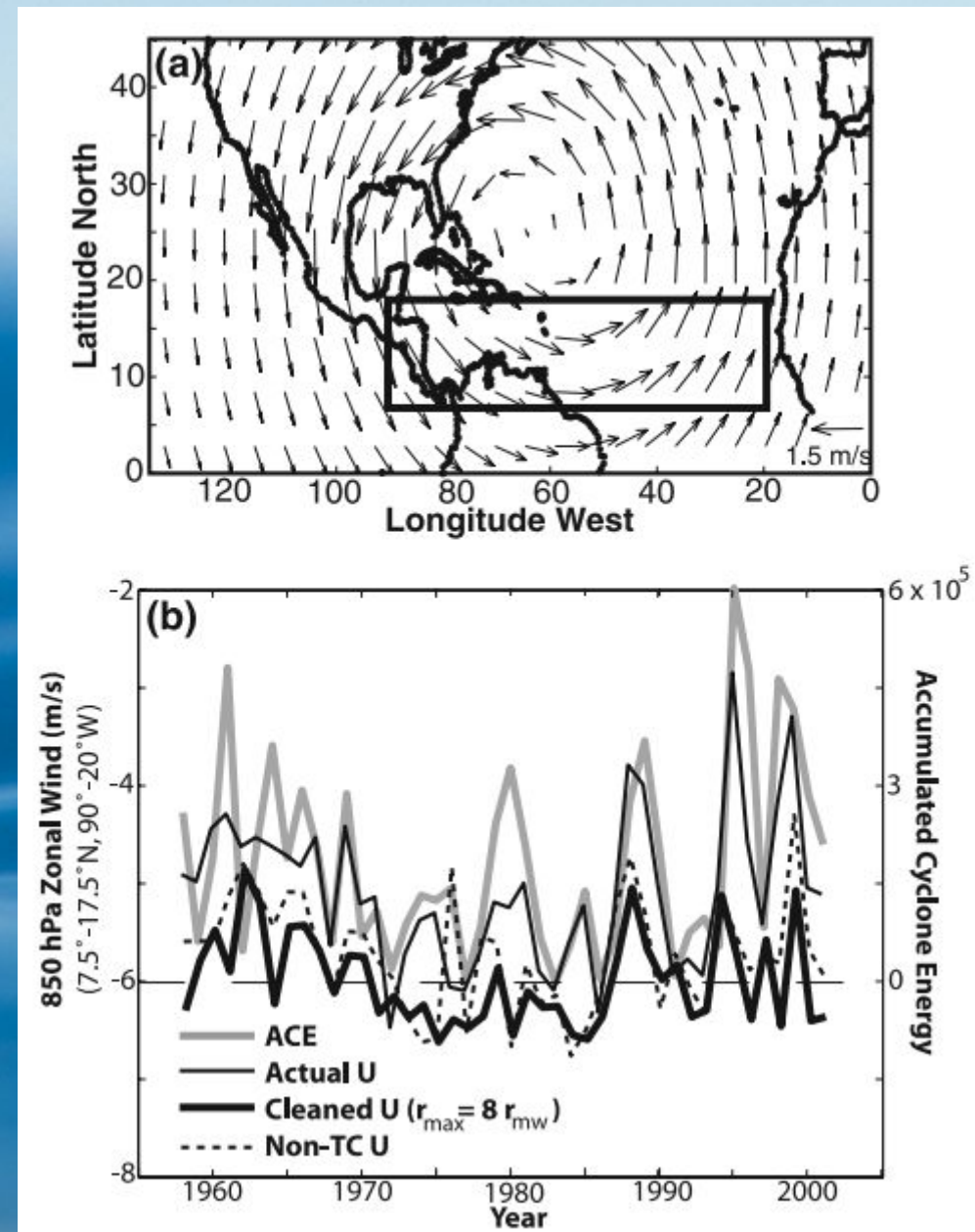
Analiza danych z różnych rejonów świata wykazuje, że ilość huraganów kategorii 4 i 5 koreluje w istotny sposób jedynie z temperaturą powierzchni wody SST (A), natomiast brak im istotnych korelacji z wilgotnością powietrza (B), gradientem pionowym (C) i poziomym (D) prędkości wiatru.



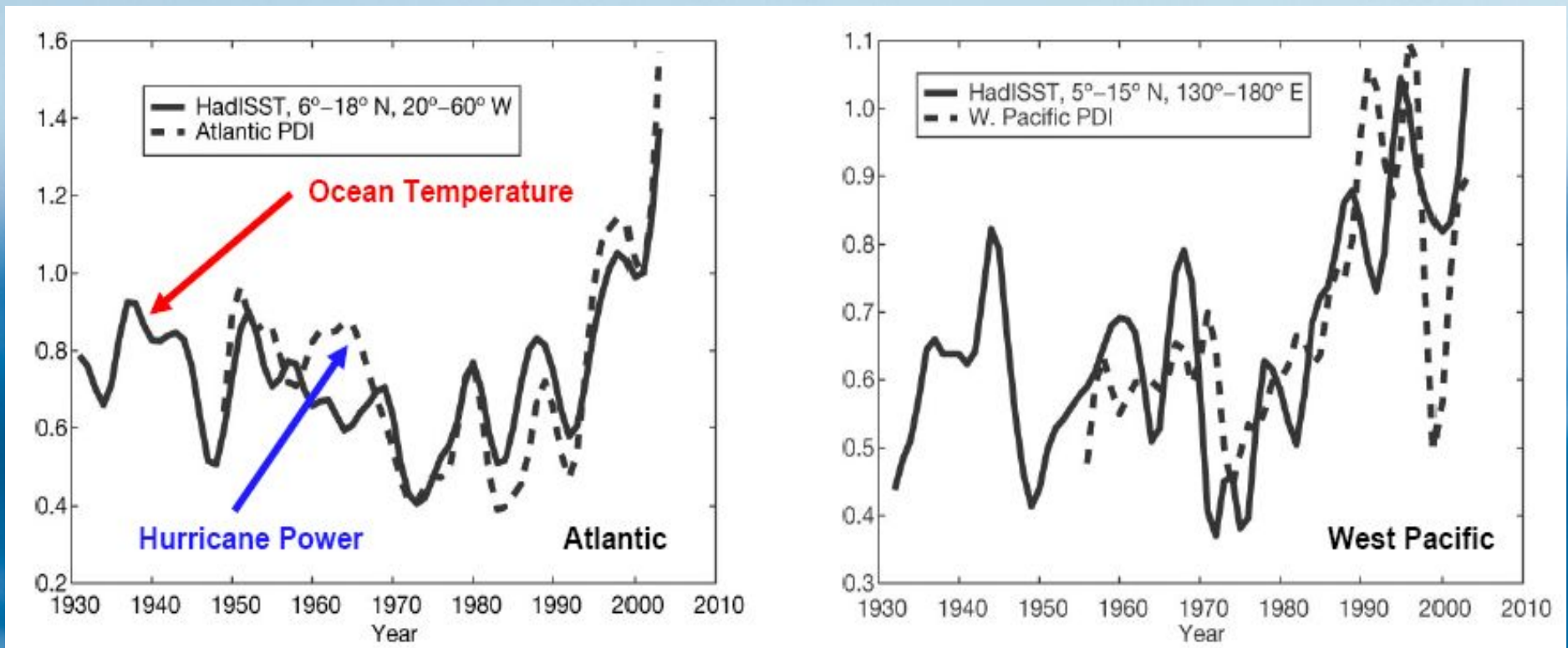
Wstęp dla meteorologów: czy anomalie wiatrów rzeczywiście wpływają na powstanie huraganów?

Cyklony wpływają na pole wiatru nad całym Północnym Atlantykiem (panel górnny dla wiatrów na poziomie 850 hPa).

Analiza tego efektu pozwoliła na zakwestionowanie długo pokutującej tezy o negatywnym wpływie anomalii wiatrów, w tym pionowego gradientu wiatru („shear”) na powstawanie huraganów. Siła huraganów w danym sezonie (ACE) koreluje się dobrze z siłą wiatrów strefowych w obszarze tworzenia huraganów (zaznaczona na mapce). Jednak po odjęciu wiatrów spowodowanych przez same huragany (“Cleaned U”) albo braniu pod uwagę wyłącznie dni bez huraganów (Non-TC U) likwiduje tę korelację pokazując, że to huragany są powodem anomalii wiatrów, a nie odwrotnie.

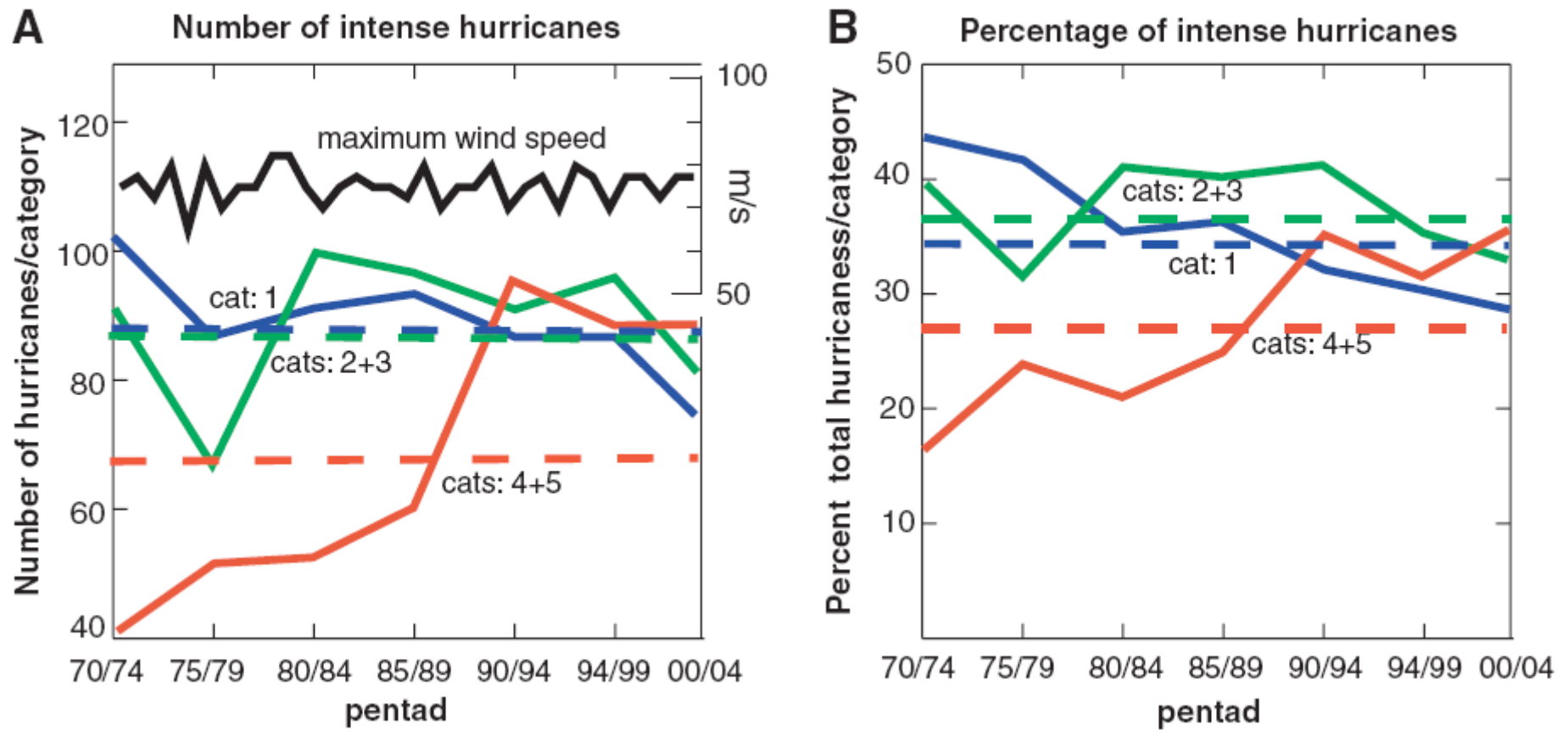


Huragany a SST: dowód wprost?

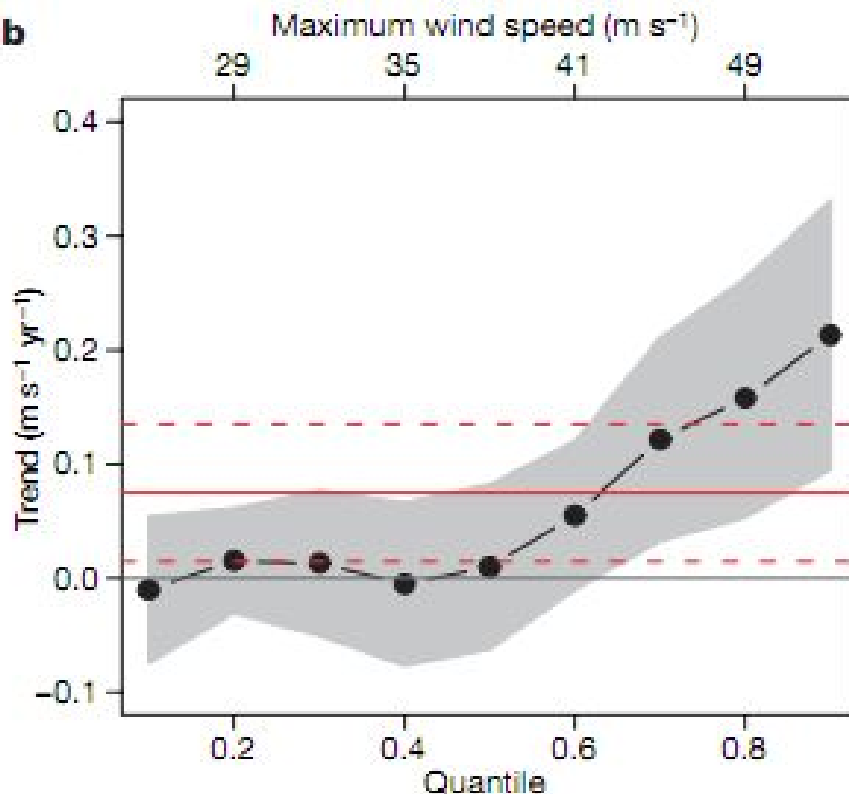
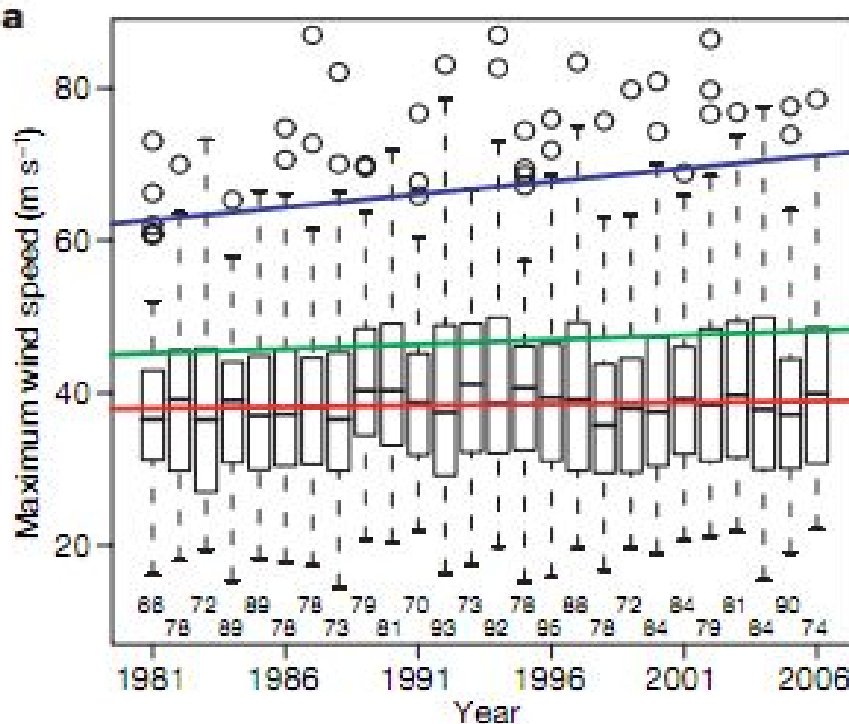


Całkowita moc huraganów w czasie danego roku oraz średnia temperatura obszaru ich generacji na Atlantyku (po lewej) i Pacyfiku (po prawej) silnie koreluje (odpowiednio $r^2=0.65$ i $r^2=0.67$).

Coraz więcej jest silnych huraganów 1/2



Wbrew modelom nie wzrasta maksymalna prędkość wiatru w huraganach. Za to coraz więcej z nich jest w pobliżu górnej granicy (kategoria 4 i 5)

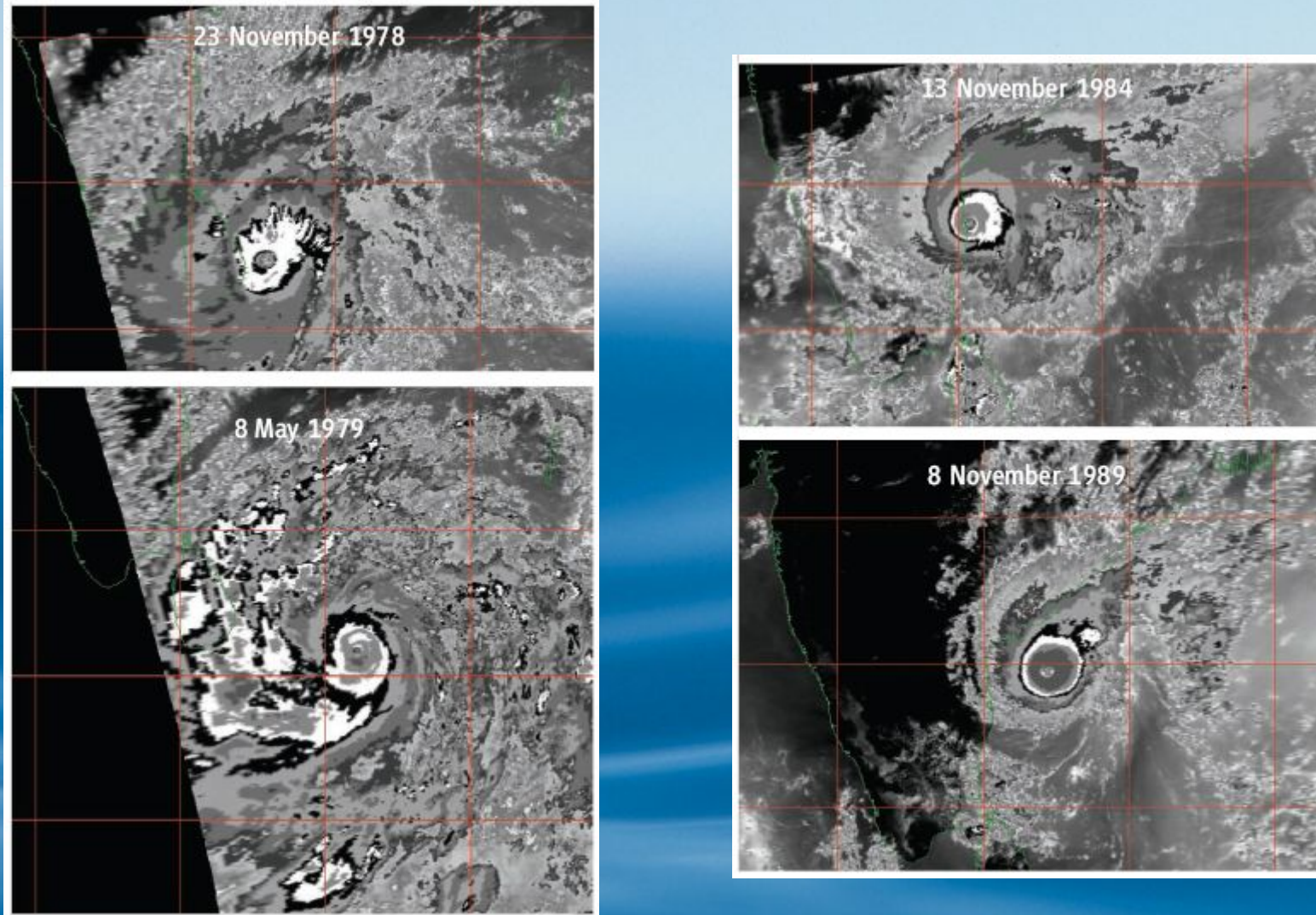


Coraz więcej jest silnych huraganów 2/2

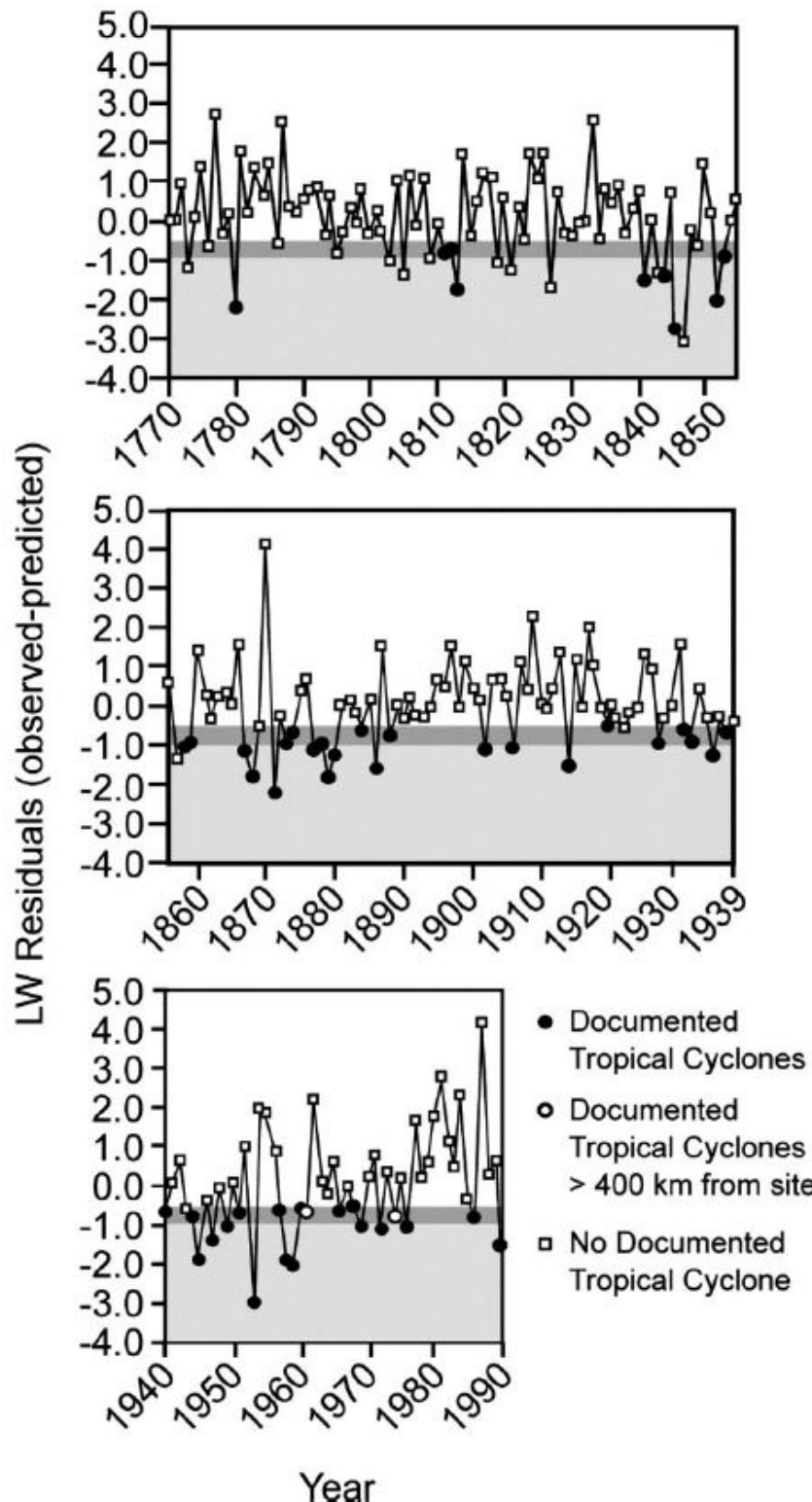
Po podzieleniu wszystkich huraganów atlantyckich na 10 “kwantyli” wg. ich maksymalnej prędkości wiatru, przedstawiono (na górze) trendy mediany (czerwony), kwantyla 0.75 (zielony) oraz 1.5 razy odstęp między kwintylami (pierwszym i ostatnim).

Na dole trendy zmian dla każdego z 10 kwintylów w m/s na rok oraz linie ufności 90%. Widać, że najistotniejsze statystycznie są zmiany dla najsilniejszych huraganów.

Ostrzeżenie: seria danych nie jest jednolita



Analiza starych zdjęć satelitarnych 1978-1989 współcześnie stosowanymi metodami ujawniła w niektórych częściach świata istnienie huraganów kategorii 4 i 5 wcześniej kwalifikowanych do niższych kategorii. Powyżej cztery przykłady z północnego Oceanu Indyjskiego. *Landsea et al. 2006 (Science)*

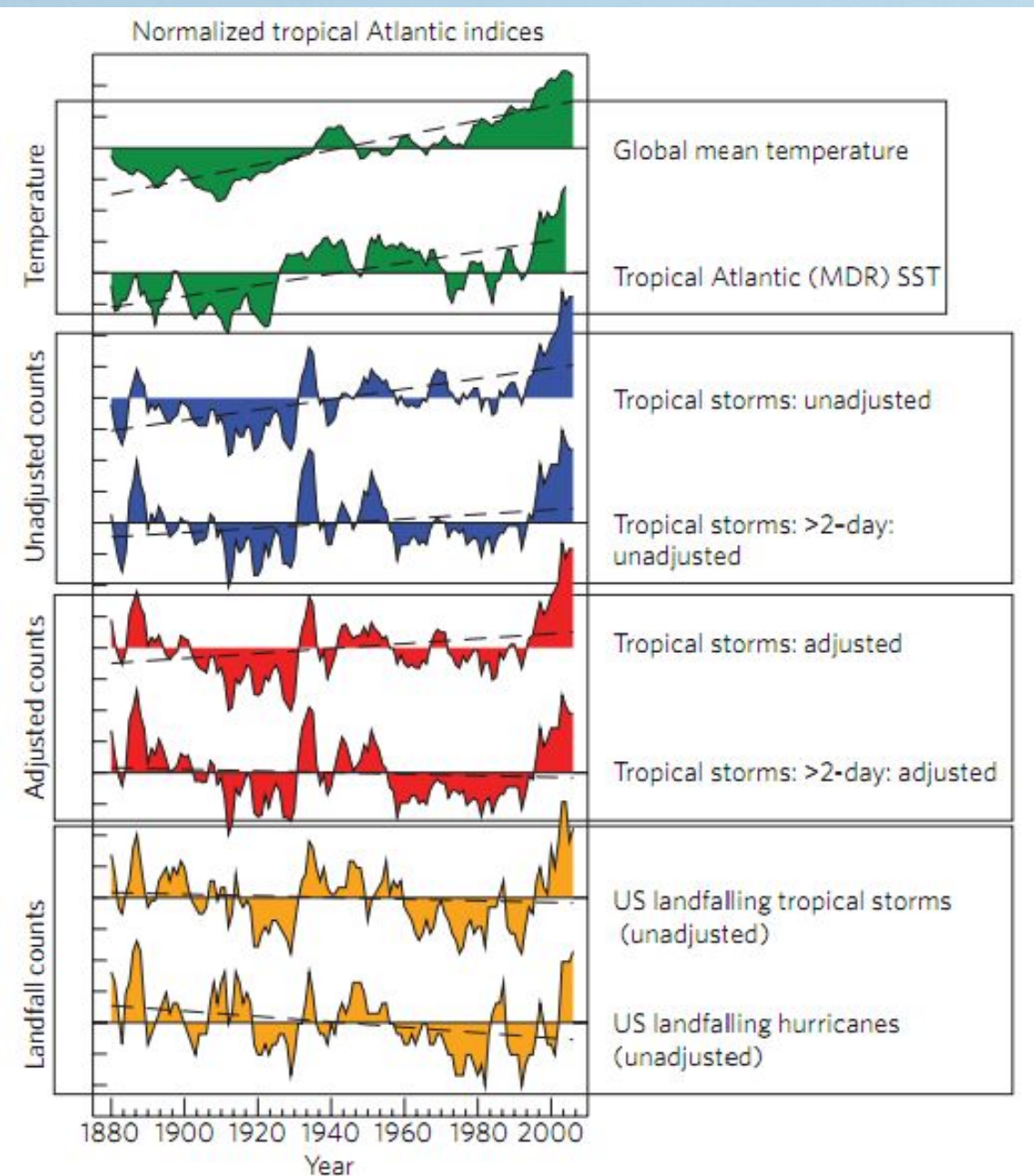


Badanie statystyk huraganów starszych niż meteorologia?

Badanie wartości stosunku izotopów tlenu dla części słońców letnio-jesiennych drzew w Georgii (po odfiltrowaniu zmienności wieloletniej) wskazuje na przejście w pobliżu huraganu (< -1).

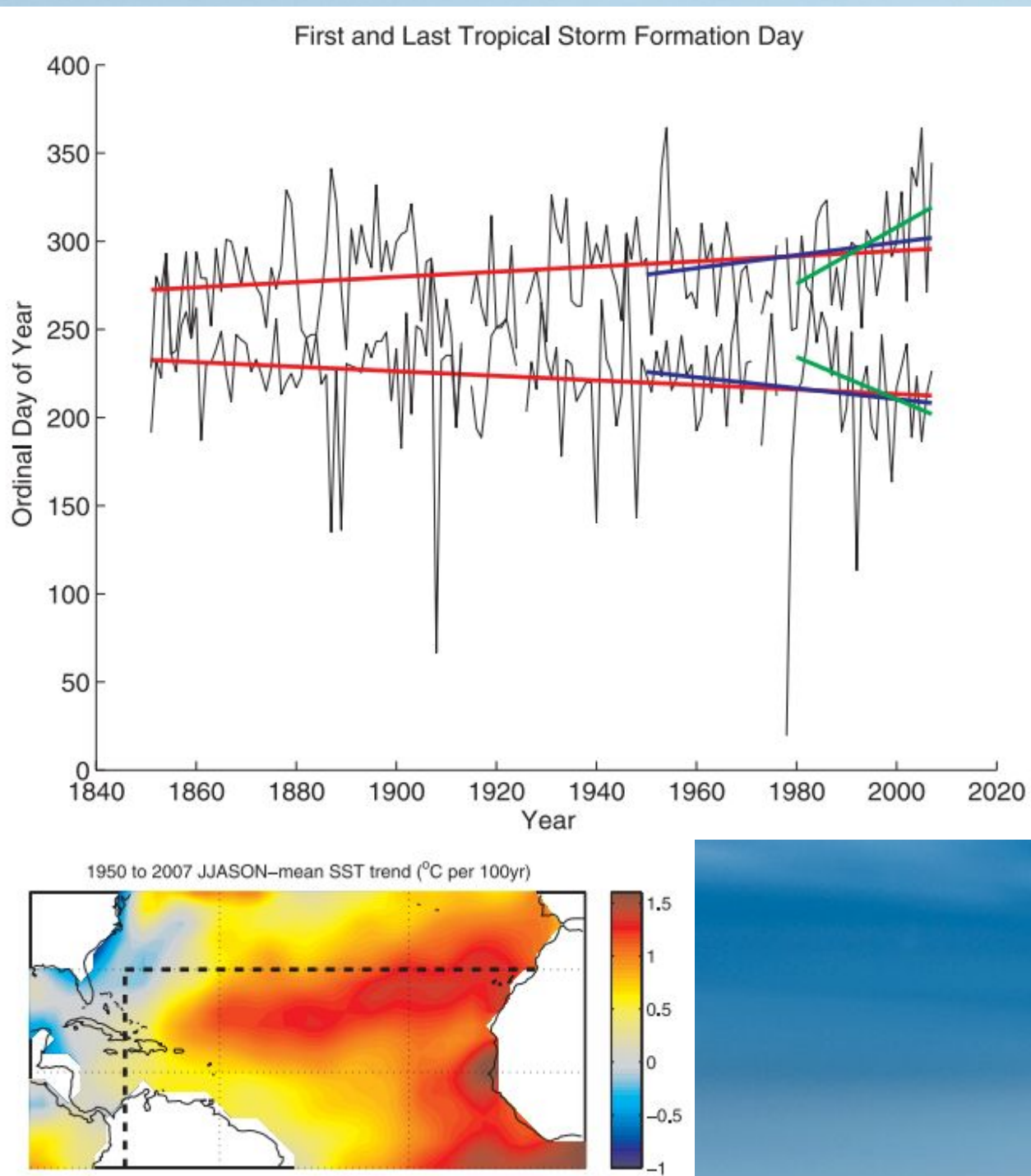
W okresie dla którego istnieją dobre dane meteorologiczne (od 1940) metoda dała tylko jedno fałszywe pozytywne zdarzenie (1943).

Huraganów jednak raczej nie przybywa



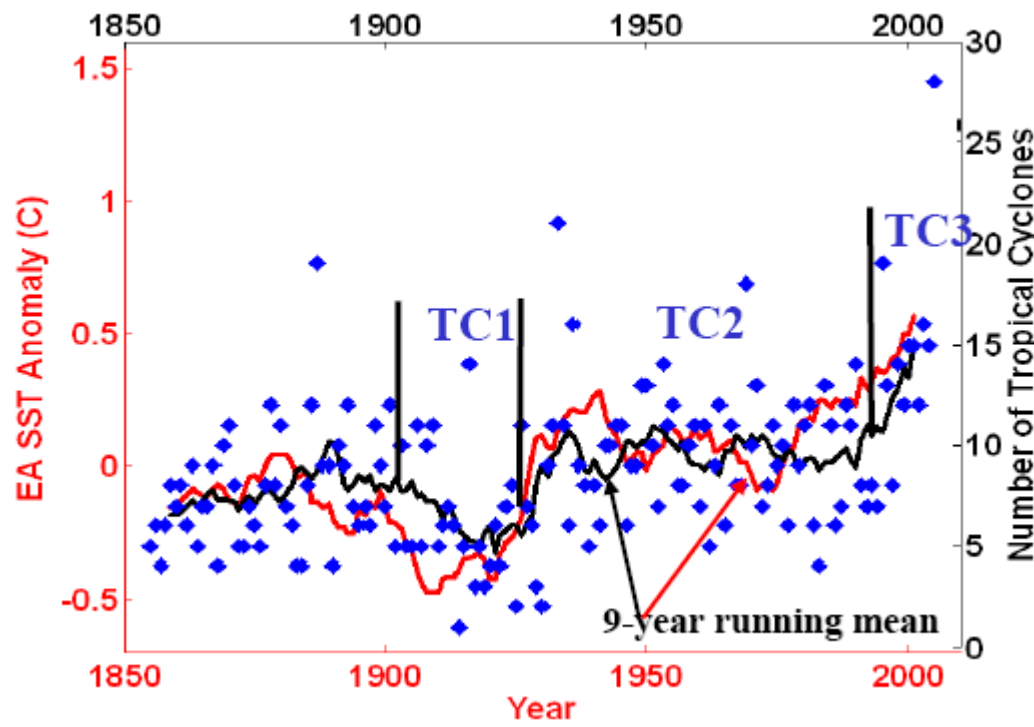
Po skorygowaniu liczby atlantyckich huraganów o współczynnik zależny od ilości obserwacji wa danym okresie (głównie ze statków w okresie “przedlotniczym”) ilości huraganów (niebieskie przed korektą, czerwone po) oraz huraganów osiągających brzeg USA (żółte) wykazują albo znacznie mniejsze trendy dodatnie (wszystkie sztormy tropikalne) albo ujemne (dłuższe niż 2 dni oraz osiągające brzegi USA).

Sezon huraganów jest coraz dłuższy



Daty utworzenia się pierwszego i ostatniego huraganu atlantyckiego na południe od 30 N i na wschód od 75 W (obszar zaznaczony na mapce).

Trendy dla: całej serii czasowej od 1851 (czerwone), w okresie patroli lotniczych od 1950 (niebieski) i danych satelitarnych od 1980 (zielone)

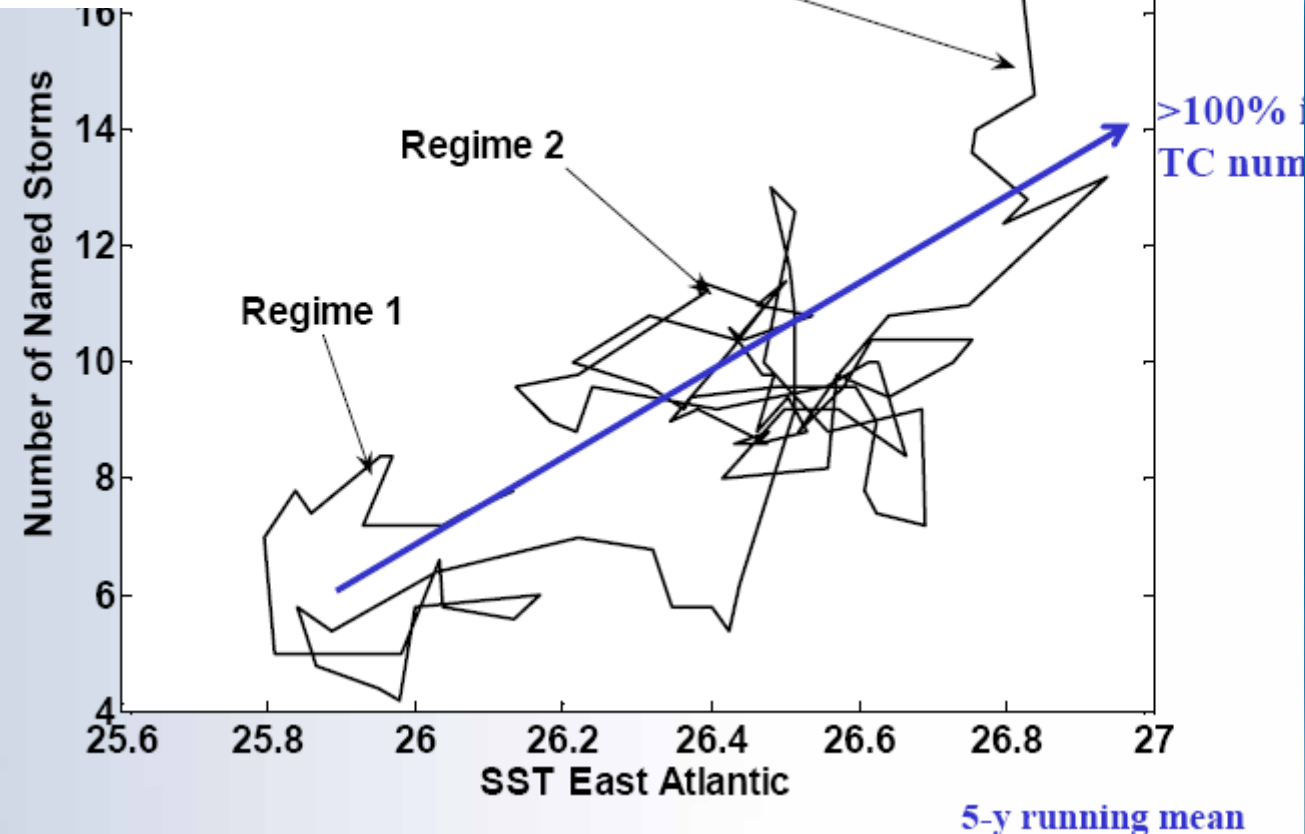


Trzy reżimy huraganów na Atlantyku?

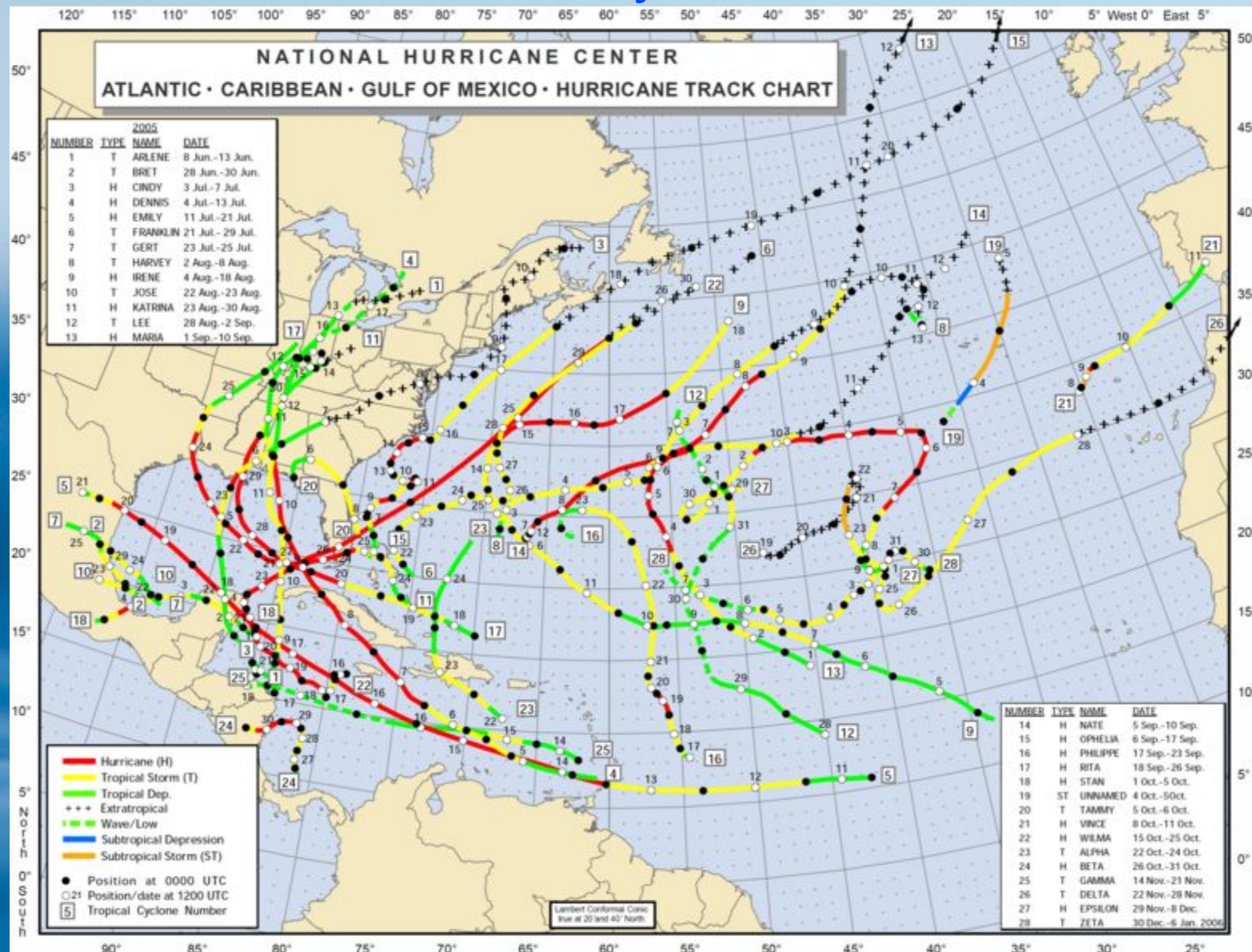
Dla Atlantyku SST i liczba huraganów są jednak dobrze udokumentowane.

Wydaje się, że ostatnie 100 lat było świadkiem już trzech reżimów klimatycznych Atlantyku z nieliniowym wzrostem ilości huraganów w miarę wzrostu temperatury powierzchni morza.

Holland 2006 (Komisja Senatu)

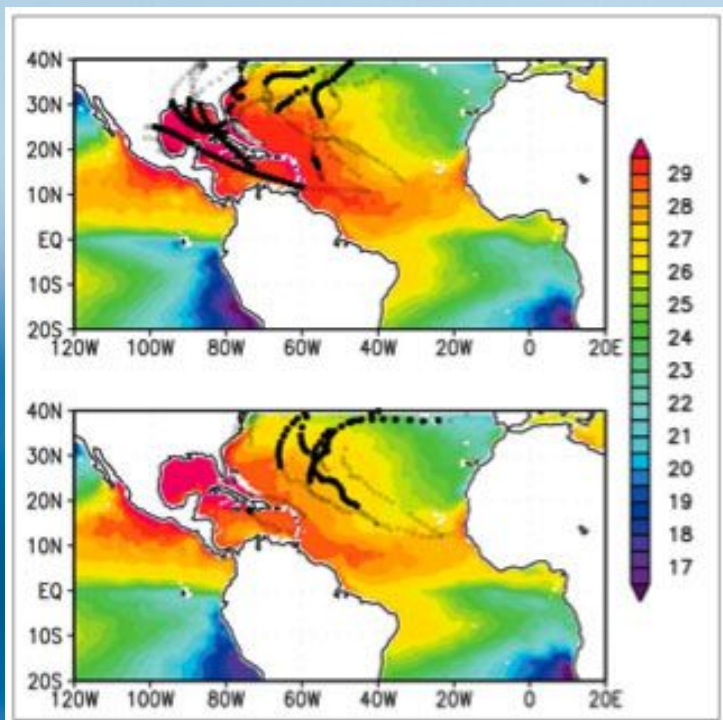


Rekordowy rok 2005



W roku 2005 na Atlantyku nazwano rekordowo wiele (26) huraganów i sztormów tropikalnych bijąc rekord z 1933 o pięć. Sezon trwał rekordowo długo (do 6 I 2006). Jeden z nazwanych sztormów dotarł do Europy.

Mało huraganów w 2006: El Niño czy Sahara?



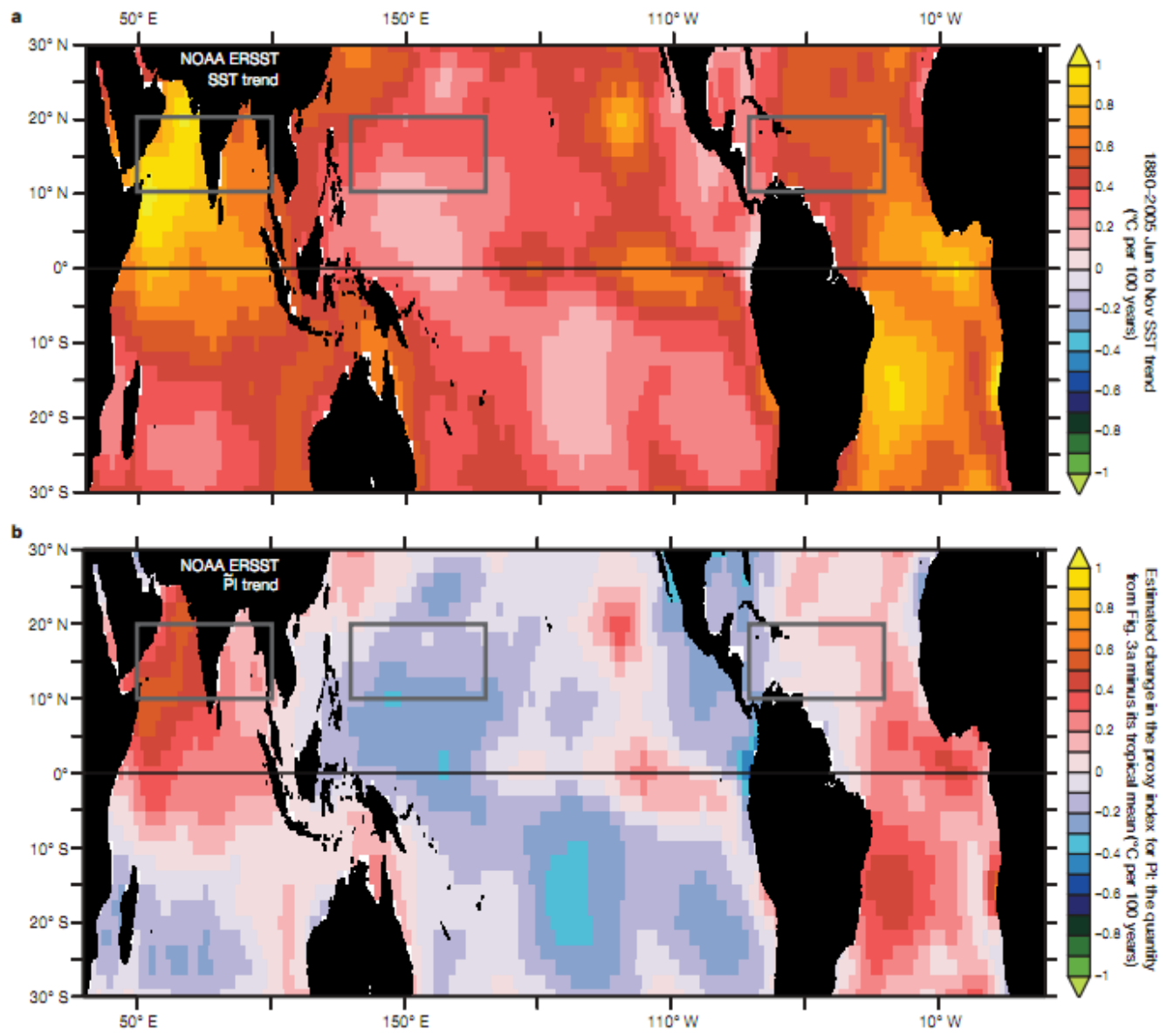
W 2005: 12 sztormów tropikalnych (1 nie nazwany) i 15 huraganów

W 2006: 4 sztormy tropikalne i 5 huraganów

Przyczyną jest mniejsza temperatura tropikalnego Atlantyku. Mogło ją spowodować trwające El Niño. Jest jeszcze jedna możliwość: burze pyłowe z Sahary jakie przeniosły pył nad Atlantyk w czerwcu i lipcu powodując oziębienie wód powierzchniowych.

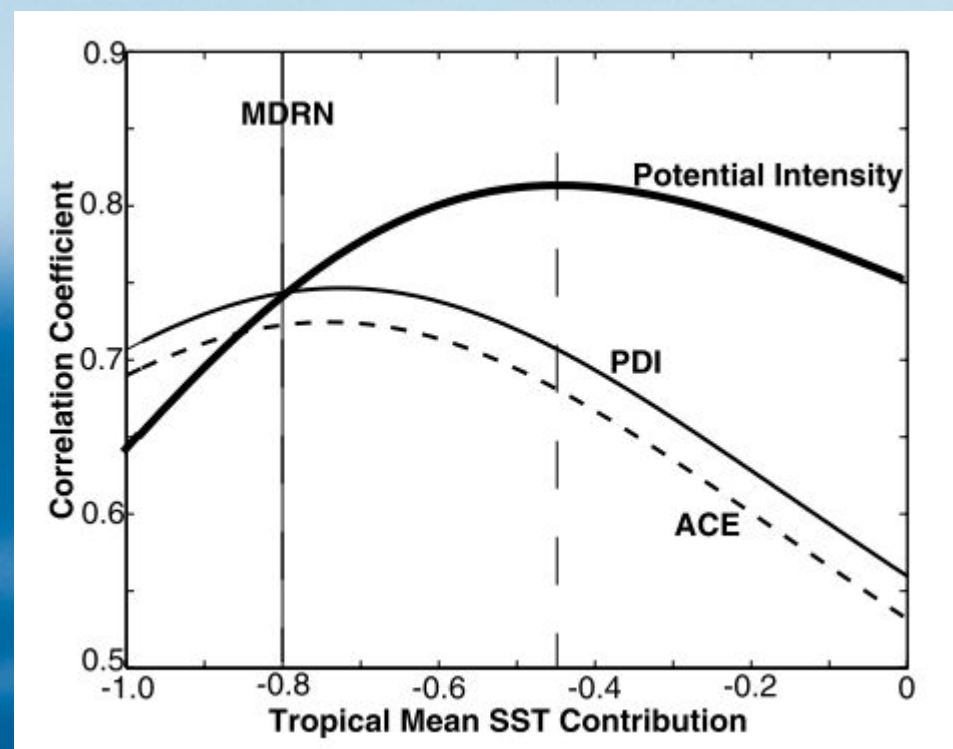
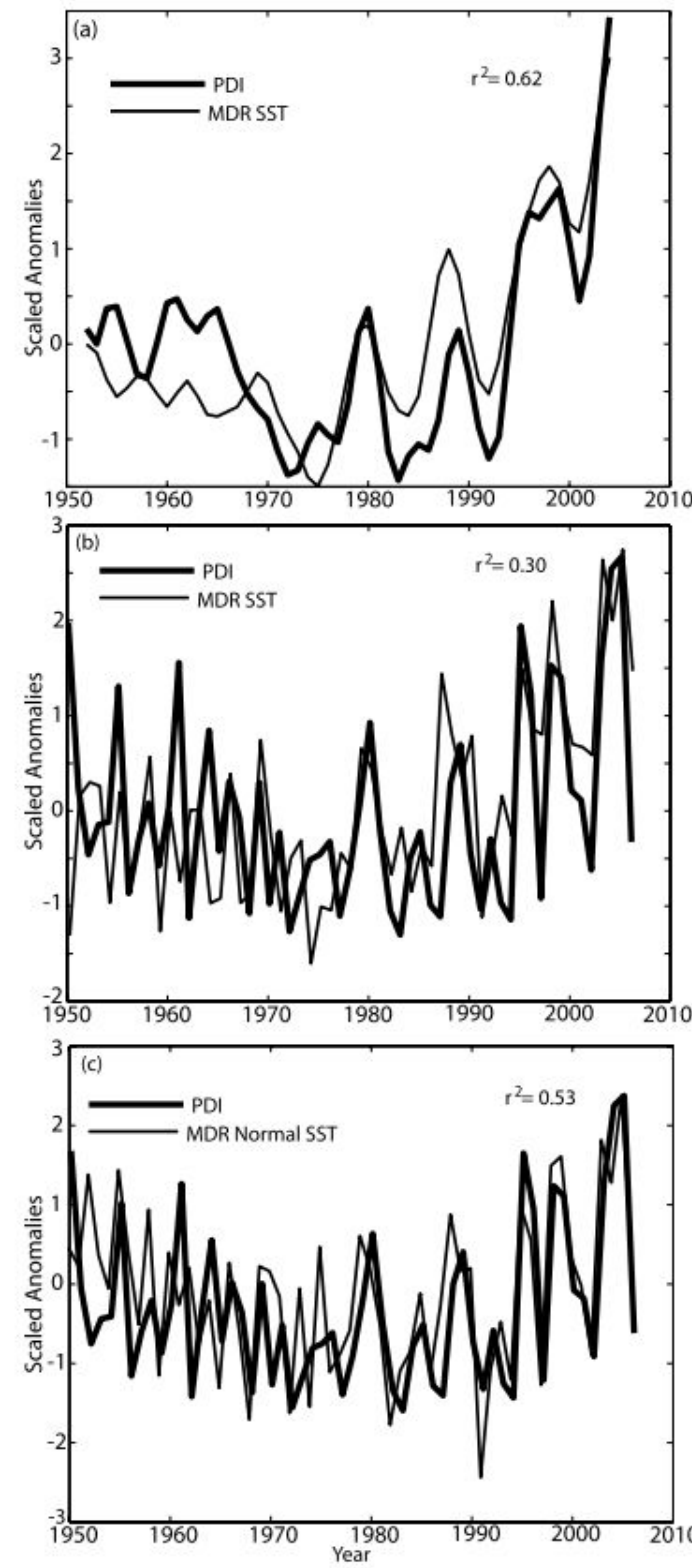
Lau & Kim 2007 (preprint)

Ale czy ilość huraganów zależy tylko od lokalnej temperatury?



Ale czy ilość huraganów (a dokładniej ich potencjalna intensywność PI) zależy nie tyle od zmian lokalnej temperatury oceanu (na górze trend zmian 1860 do 2006 w stopniach na stulecie), a raczej różnicy tych zmian i średniej dla całych tropików. Wynikać to może, z tego, że naprawdę liczy się różnica temperatur szczytu troposfery i powierzchni morza, a ta pierwsza jest praktycznie identyczna w całych tropikach (szybkie mieszanie).

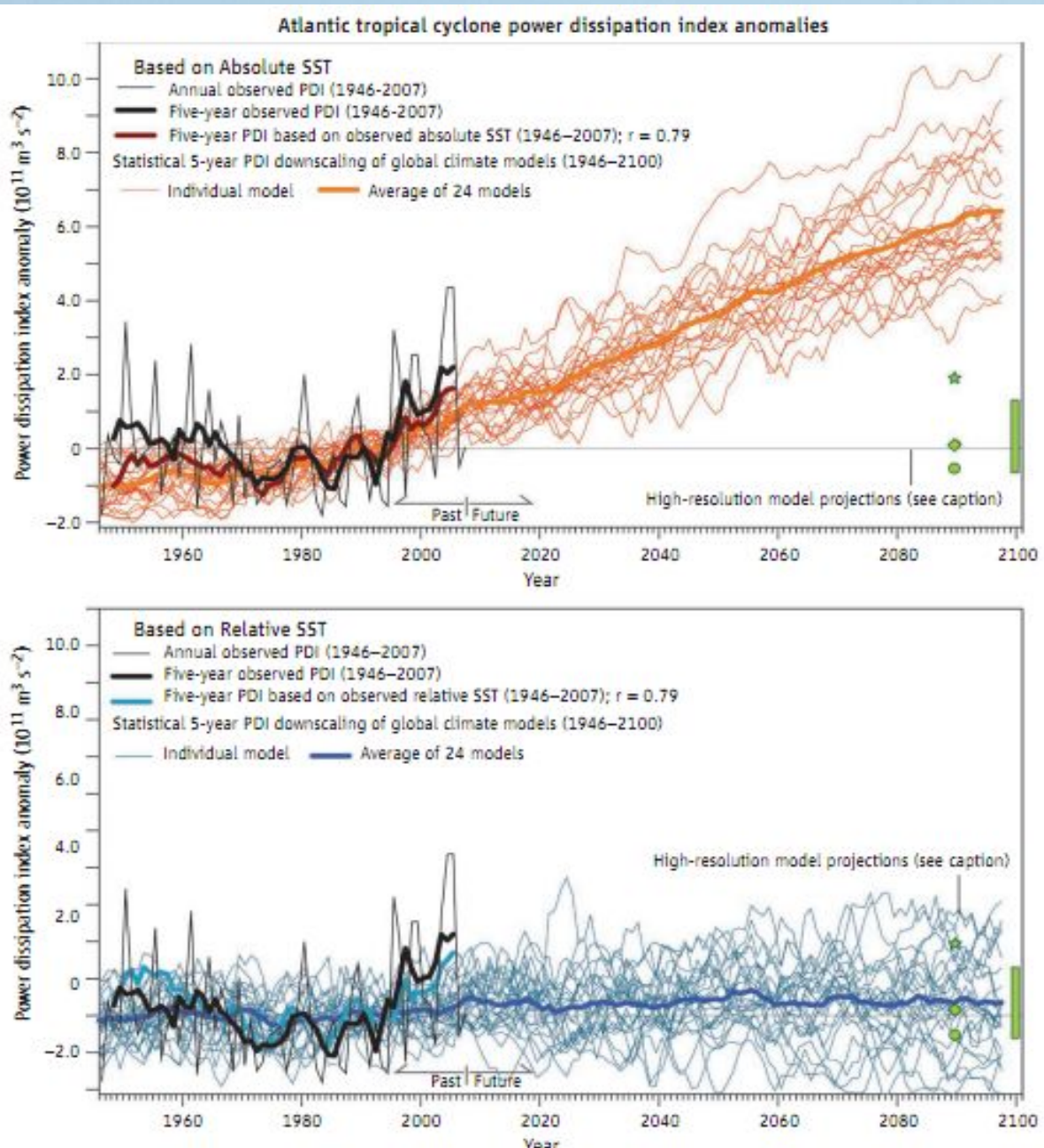
Intensywność huraganów jest rzeczywiście miarą nielokalną



Po lewej korelacje SST obszaru powstawania huraganów i ich sumarycznej energii uśrednionych filtrem 1-3-4-3-1 ($r^2=0.62$); nieuśrednionej ($r^2=0.30$) oraz nieuśrednionej różnicy w/w wartości i średniej temperatury oceanów tropikalnych ($r^2=0.53$).
Powyżej wartości korelacji indeksów potencjalnej intensywności (PI), oraz aktualnej (PDI i ACE) z wartością SST(local) – a SST(tropical) w funkcji parametru α .

Swanson 2008 (Nature)

Co z tego wynika dla przyszłości?



Prognoza intensywności huraganów atlantyckich w XXI wieku zakładając jej zależność od przewidywanych temperatur tropikalnego Atlantyku (na górze) i różnicy pomiędzy nią a temperaturą wszystkich tropikalnych oceanów (na dole). Zielone punkty są wynikami modelowania intensywności huraganów w cieplejszym świecie końca XXI wieku przy pomocy modeli o dużej rozdzielczości.

Podsumowanie 3/3

- Huragany (cyklony i tajfuny) powstają wyłącznie na oceanie o temperaturze ponad 28° C.
Istnieje znacząca korelacja między ich sumaryczną mocą a temperaturą akwenu (szczególnie silna dla Atlantyku gdzie istnieje najdłuższa seria wiarygodnych pomiarów)
- Moc huraganów nie koreluje z innymi parametrami meteorologicznymi (mimo przesłanek teoretycznych).
- Obserwuje się coraz więcej silnych huraganów zamiast przewidywanej w modelach coraz większej maksymalnej prędkości wiatru.
- Wydaje się, że zmiany intensywności huraganów na danym akwenie zależą od anomalii jego temperatury powierzchniowej w stosunku do całych tropików bardziej niż samej temperatury lokalnej. Nie wyklucza to jednak globalnego wzrostu tej intensywności w cieplejszym świecie



Trasa ewakuacji na wypadek huraganu (Miami, Floryda)

Dziękuję za uwagę



Za tydzień (20.12.2010 r.):
Aerozol: wielka niewiadoma klimatyczna

Pożary w Południowej Kalifornii, 28.10.2003,
MODIS, earthobservatory.nasa.gov

To add

Indian Ocean Dipole

- Saji_et_al_1999 - a_dipole_mode_in_tropical_Indian_Ocean
- Ummenhofer_et_al_2009 - what_causes_SE_Australia_worst_droughts ! (also ENSO)
- Behera Luo Yamagata 2008 - unusual_IOD_event_of_2007
- Webster Hoyes 2010 - ENSO--beyond_the_spring_barrier <^> !!! (also Indian Ocean Dipole)
- Izumo_et_al_2010 -
Influence_of_the_state_of_Indian_Ocean_Dipole_on_following_year_El_Nino